Оглавление

Реферат	5
Гехническое задание	6
1. Составление маршрута изготовления корпуса и определение типа производства.	7
1.1Анализ технологичности изготовления изделия	7
1.2Структура нового технологического процесса	12
2. Построение расчётной схемы и графа технологических цепей	16
3. Расчёт минимальных припусков z_{min} на обработку заготовки в диаметральном направлении	20
3.1 Определение допусков на диаметральные технологические размеры	21
4. Расчёт диаметра проката заготовки	24
4.1 Расчёт припусков на первой операции.	27
4.2 Расчёт припусков на второй операции.	32
5. Расчёт технологических размеров и минимальных припусков	40
в осевом направлении	
5.1 Определение допусков на осевые технологические размеры	40
5.2Проверка конструкторских размеров	44
6. Выбор технологического оборудования	50
7. Расчёты режимов резания	53
7.1 Расчёт режимов резания при точении	54
7.2 Расчёт режимов резания при фрезеровании шпоночных пазов	74
7.3 Расчёт режимов резания при шлифовании	77

7.4 Расчёт режима разрезания при отрезании ленточной пилой	81						
7.5 Расчёт режимов резания при сверлении центровых отверстий	81						
8. Расчёт технической нормы времени.							
8.1 Расчёт основного времени на токарных операциях	87						
8.2 Расчёт основного времени на фрезерной операции	91						
8.3 Расчёт основного времени на круглошлифовальной операции	93						
8.4 Расчёт основного времени на сверлении центровых отверстий	95						
8.5 Расчёт основного времени на отрезной операции	96						
9. Конструкторская часть	97						
10. Экономический раздел							
10.1 Калькуляция данных, общих для всех технологических процессов	99						
10.2 Предлагаемый заводу технологический процесс	102						
10.3Сравнение вариантов затрат при изменении технологического процесса	106						
10.4 Расчет экономического эффекта	108						
11.Производственная и экологическая безопасность 11.1 Общие положения 11.2 Анализ опасных и вредных производственных факторов	110 110 111						
11.3 Требования безопасности и мероприятия по их осуществлению	114						
11.4 Безопасность в чрезвычайных ситуациях	124						
11.5 Пожарная и взрывная безопасность	128						
11.6 Охрана окружающей среды	129						
Заключение	131						
Список используемой литературы	132						

Реферат

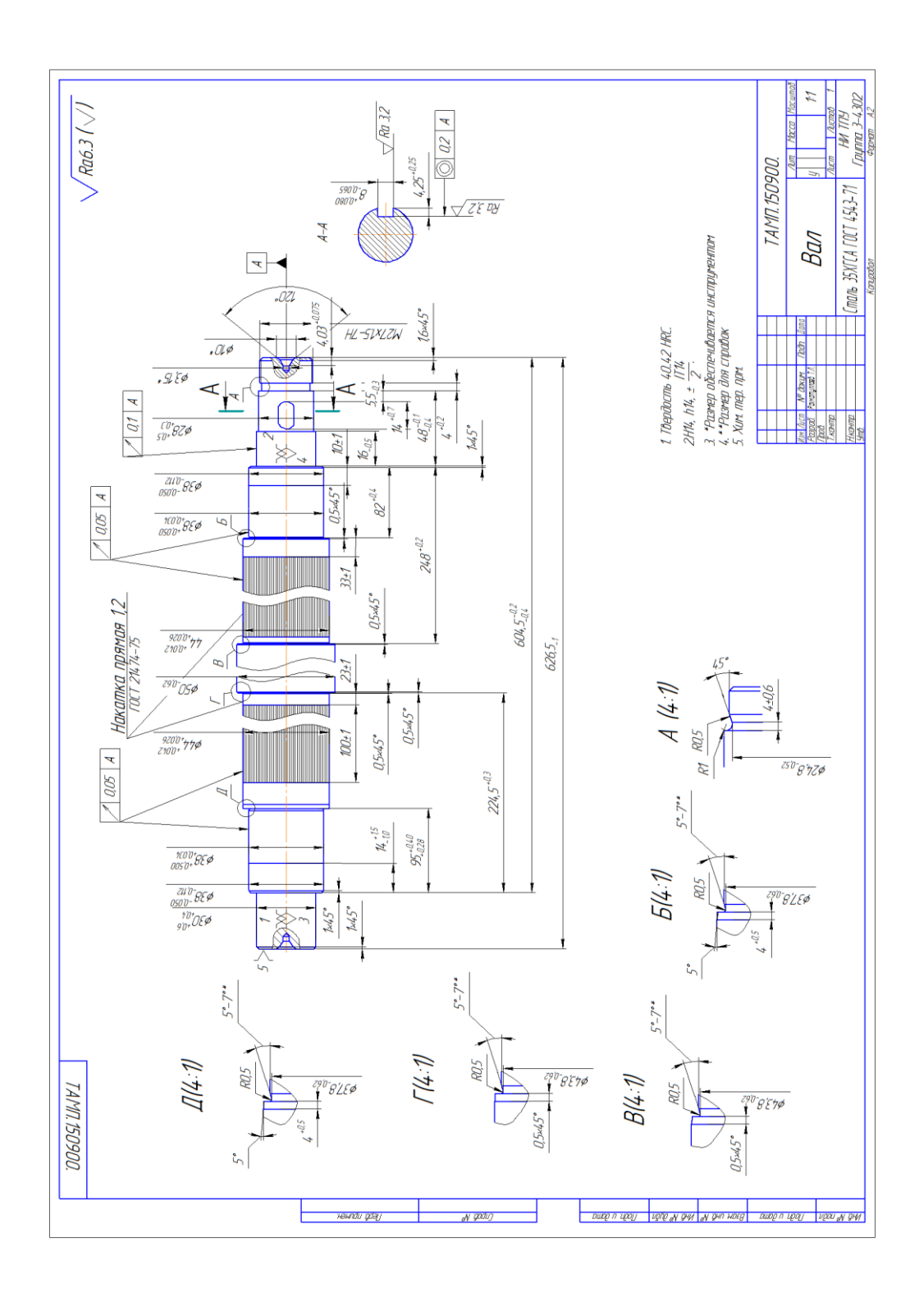
Разрабатываемый дипломный проект по дисциплине «Технология машиностроения» является неотъемлемой частью учебного процесса в Институте Кибернетики, кафедра ТАМП. Целью данной работы является разработка технологического процесса изготовления изделия – вала, по требованиям, предъявленным конструктором в виде чертежа детали. Вся работа представлена в пояснительной записке и разделена на части. В первой части производиться анализ технологичности изделия, что затем определяет маршрут обработки, по которому строиться размерная схема и граф-дерево. В расчётной части проверяется соблюдение всех конструкторских размеров, качества поверхности, по предложенной последовательности изготовления. После чего следует подбор металлорежущего оборудования и расчёт режимов резания. Принятые В проекте решения экономически обоснованы, что подтверждают расчеты экономической эффективности и представленные технико-экономические показатели проекта.

В последней части ВКР были рассмотрены вопросы экономии, произведен расчет защитного заземления, разработаны мероприятия по обеспечению безопасности жизнедеятельности.

Техническое задание

Разработать технологический процесс изготовления изделия, представленного на эскизе рис. 1.

Годовая программа выпуска изделия - 1500 шт.



1. Составление маршрута изготовления валаи определение типа производства

1.1 Анализ технологичности изготовления изделия

Вал имеет восемь ступеней, которые предстоит обработать с необходимой точностью. Изделие - вал довольно легко закрепить и тем самым обеспечить совмещение конструкторских и технологических баз в процессе обработки. По отношению длины вала к его наименьшему диаметру устанавливаем, что деталь относительно нежесткая. Свободный доступ режущего инструмента к обрабатываемым поверхностям возможен из-за простоты геометрической формы данного изделия. Таким образом, улучшение технологичности конструкции позволяет снизить себестоимость ее изготовления без ущерба для служебного назначения.

Чертёж детали соответствует всем необходимым требованиям, представлены все необходимые разрезы и сечения.

Принимая во внимание экономическую сторону вопроса о технологичности вала, стоит отметить, что материал Сталь 35ХГСА ГОСТ 4543-71, из которого изготавливается вал, относиться к группе низко средних металлов, а так же легко поддаётся обработке. На основании всего вышеизложенного можно сделать вывод, что деталь вал технологична для изготовления.

Опираясь на те факты, что требуемый выпуск продукции в год составит 1500 штук, и, что вал не является уникальной в изготовлении деталью и его размеры относительно не большие, делается вывод, что производство серийное. Однако, в пункте об определении типа производства, будет точно установлено к какому из трёх производств — мелко-, средне- или крупносерийному, относиться изготовление вала переднего.

Первоочередной этап маршрута — это выбор исходной заготовки. Для изготовления вала — деталь типа тело вращения, выгоднее и рациональнее

использовать горячекатаный стальной пруток по ГОСТ 4543-71. Материал заготовки конструкционная углеродистая Сталь 35ХГСА.

В распоряжении станочный парк, который оснащён станками с ЧПУ, необходимый режущий инструмент. В учебном проекте станки подбираются из каталога, в реальном же производствепривязываются к оборудованию, которым оснащено производство, или на основе технологии изготовления детали подбирается станочный парк и прочее оборудование.

Принимая во внимание вышеописанные условия составления маршрута, проектируем маршрут в системе КОМПАС V15.2, что добавляет проекту долю автоматизации и уменьшает время на подготовку документации и создание чертежей или эскизов. В совокупности маршрут представлен на рис.2 – 4.

Тип производства определяем по коэффициенту закрепления операций, который находим по формуле:

$$K_{3.0} = \frac{t_g}{T_{cp}},$$

где $t_{\rm B}$ – такт выпуска детали, мин.;

 T_{cp} — среднее штучно — калькуляционное время на выполнение операций технологического процесса, мин.

Такт выпуска детали определяем по формуле:

$$t_{\scriptscriptstyle g} = \frac{F_{\scriptscriptstyle z}}{N_{\scriptscriptstyle z}},$$

где F_{Γ} – годовой фонд времени работы оборудования, мин.;

 $N_{\scriptscriptstyle \Gamma}$ – годовая программа выпуска деталей.

Годовой фонд времени работы оборудования при двухсменном режиме работы по [2, стр. 22 табл. 2.1]: $F_r = 4029$ ч.

Тогда

$$t_{_{\it B}} = \frac{F_{_{\it 2}}}{N_{_{\it 2}}} = \frac{4029 \cdot 60}{1500} = 161{,}16$$
 мин;

Среднее штучно – калькуляционное время на выполнение операций технологического процесса:

$$T_{cp} = \frac{\sum_{i=1}^{n} T_{u.\kappa i}}{n},$$

где $T_{u.\kappa\,i}$ – штучно – калькуляционное время і- ой основной операции, мин.;

n – количество основных операций.

В качестве основных операций выберем 4 операции (n=4).

Штучно – калькуляционное время i- ой основной операции определяем по рекомендациям приложения 1 [1, c.147]:

$$T_{\text{III,K i}} = \varphi_{\text{K,i}} \cdot T_{\text{oi}}$$

где $\phi_{\kappa,i}$ – коэффициент i- ой основной операции, зависящий от вида станка и типа предполагаемого производства;

 $T_{o.i}$ – основное технологическое время i- ой операции, мин.

для первой и второй операции (токарной с ЧПУ) $\varphi_{\kappa.1} = \varphi_{\kappa.2} = 2,14;$

для фрезерной операции $\varphi_{\kappa,3}$ = 1,84.

для шлифовальной: $\phi_{\kappa.4}$ = 2,10.

Основное технологическое время определяем по рекомендациям приложения 1

[1, с.146], где время зависит от длины и диаметра обрабатываемой поверхности, а также от вида обработки.

Основное технологическое время первой токарной операции определяем только для наиболее продолжительных по времени переходов (подрезка торца, точение поверхности начерно и начисто по контуру (см. маршрутно-операционную карту)):

 $T_{0.1} = (0,037(D^2 - d^2) + 0,17 \cdot d \cdot l + 0,1$

1 – длина обрабатываемой поверхности, мм.

Значения вышеперечисленных переменных определяем приближенно:

$$\begin{split} &T_{0.1} = (0.037(D^{-2} - d^2) + 0.17 \cdot d \cdot 1 + 0.17 \cdot d \cdot 1 + 0.17 \cdot d \cdot 1 + 0.17 \cdot d \cdot 1) \cdot 10^{-3} = \\ &= (0.037(53^{-2} - 0^2) + 0.17 \cdot 27 \cdot 13 + 0.17 \cdot 28 \cdot 32 + 0.17 \cdot 38, 5 \cdot 82 + 0.17 \cdot 44, 5 \cdot 166) \cdot 10^{-3} = \\ &= (4 + 60 + 152 + 530 + 1213) \cdot 10^{-3} = 1.96 \, \text{мин} \end{split}$$

Штучно – калькуляционное время данной токарной операции определяем по формуле:

$$T_{\text{III.K 1}} = \varphi_{\text{K.1}} \cdot T_{\text{o.1}} = 2,14 \cdot 1.98 = 4.16$$
 мин.

Основное технологическое время второй токарной операции определяем для следующих переходов: наиболее продолжительных по времени переходов (подрезка торца, точение поверхности начерно и начисто по контуру (см. маршрутно-операционную карту)):

$$\begin{split} T_{0.2} = & (0,037(D^{-2}-d^2)+0,17\cdot d\cdot 1+0,17\cdot d\cdot 1+0,17\cdot d\cdot 1+0,17\cdot d\cdot 1)\cdot 10^{-3}\text{тогда} \\ T_{0.2} = & (0,037(D^{-2}-d^2)+0,17\cdot d\cdot 1+0,17\cdot d\cdot 1+0,17\cdot d\cdot 1+0,17\cdot d\cdot 1)\cdot 10^{-3} \\ = & (0,037(53^{-2}-0^2)+0,17\cdot 30\cdot 22+0,17\cdot 38,5\cdot 95+0,17\cdot 44,5\cdot 166)\cdot 10^{-3} = 112,2+613.7=1.98\,\text{мин} \end{split}$$

Штучно – калькуляционное время данной токарной операции:

$$T_{\text{шк2}} = \varphi_{\text{к2}} \cdot T_{\text{o2}} = 2,14 \cdot 1,97 = 4,26 \text{ мин.}$$

Основное технологическое время для третей операции фрезерование паза (см. операционную карту):

$$T_{0.3} = 0.15 \cdot d \cdot 1 \cdot i \cdot 10^{-3}$$

тогда

$$T_{0.3} = 0.15 \cdot 8 \cdot 14 \cdot 10^{-3} \cdot 2 = 0.25$$
 мин.

Штучно – калькуляционное время данной фрезерной операции, формула:

$$T_{\text{III.K 3}} = \varphi_{\text{к.3}} \cdot T_{\text{o..3}} = 2,10 \cdot 0.25 = 0.53$$
 мин.

Основное технологическое время для четвёртой операции шлифование (см. операционную карту):

$$T_{0.4} = 0.15 \cdot (d \cdot l + d \cdot l + d \cdot l)i \cdot 10^{-3}$$

тогда

$$T_{0.4} = 0.15 \cdot (38 \cdot 14 + 38 \cdot 90 + 44 \cdot 100) \cdot 2 \cdot 10^{-3} = 2.55 \text{ мин}$$

Штучно – калькуляционное время данной операции:

$$T_{\text{\tiny III.K 4}} = \varphi_{\text{\tiny K.4}} \cdot T_{\text{\tiny O.4}} = 2,10 \cdot 2.55 = 5.3$$
 мин.

Среднее штучно – калькуляционное время на выполнение операций технологического процесса определяем по формуле:

$$T_{cp}=rac{\displaystyle\sum_{i=1}^{n}T_{u.\kappa~i}}{n}=rac{T_{u.\kappa~1}+T_{u.\kappa~2}+T_{u.\kappa~3}+T_{u.\kappa~4}}{4}=$$
 $=rac{4.13+4.26+0.53+5.3}{4}=3.55\,\mathrm{MUH}.$

Тип производства определяем по формуле:

$$K_{3.0} = \frac{t_g}{T_{cp}} = \frac{161,16}{3.55} = 45$$

Так как $K_{3. o} = 45$, то в соответствии с ГОСТ 3.1108-74 тип производства мелкосерийный.

1.2. Структура изготовления нового технологического процесса

По рассчитанному типу производства составляем технологию изготовления детали вала. Технология представлена на рис. 2-4.

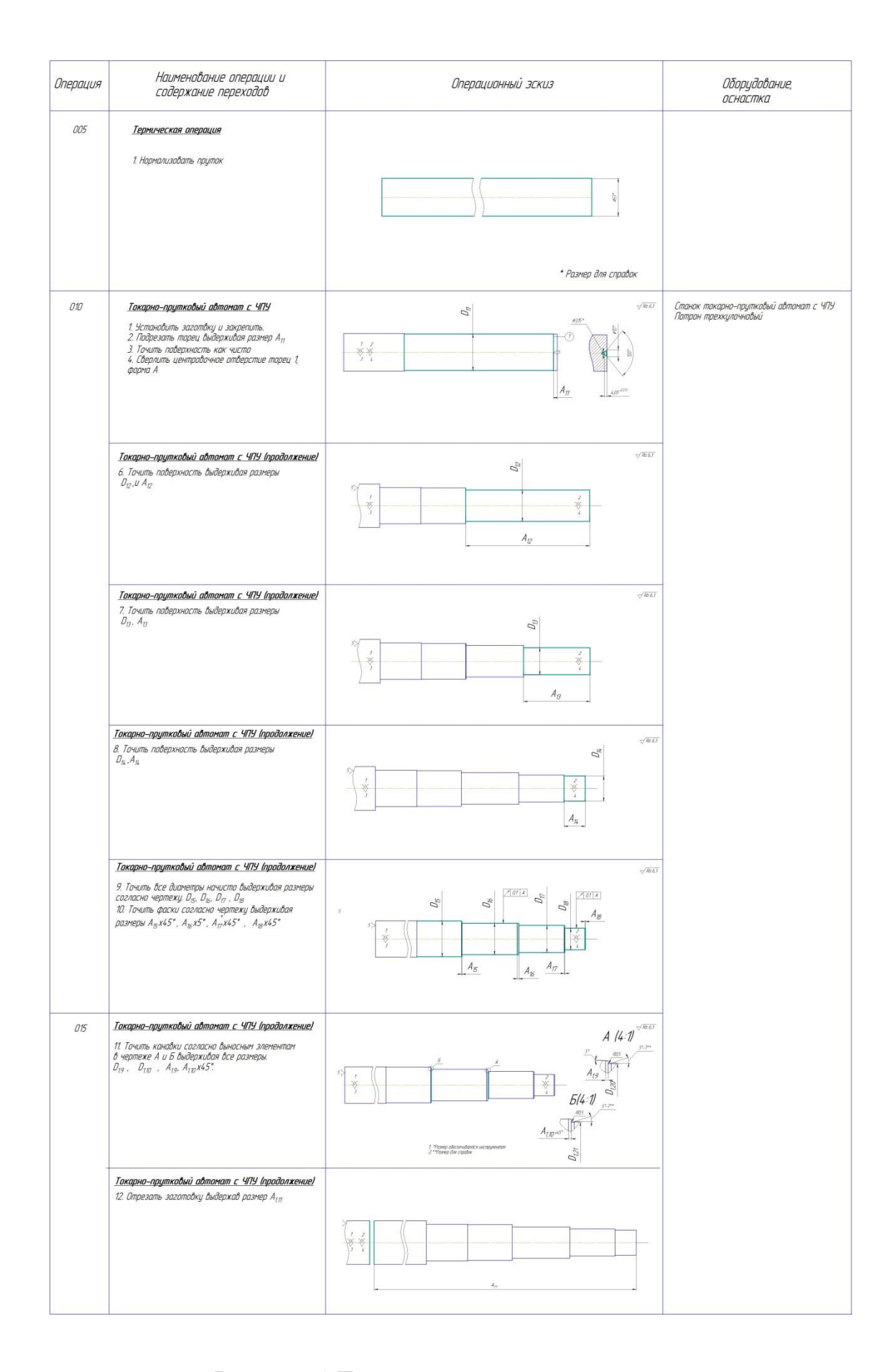


Рисунок 1 Технология изготовления вала

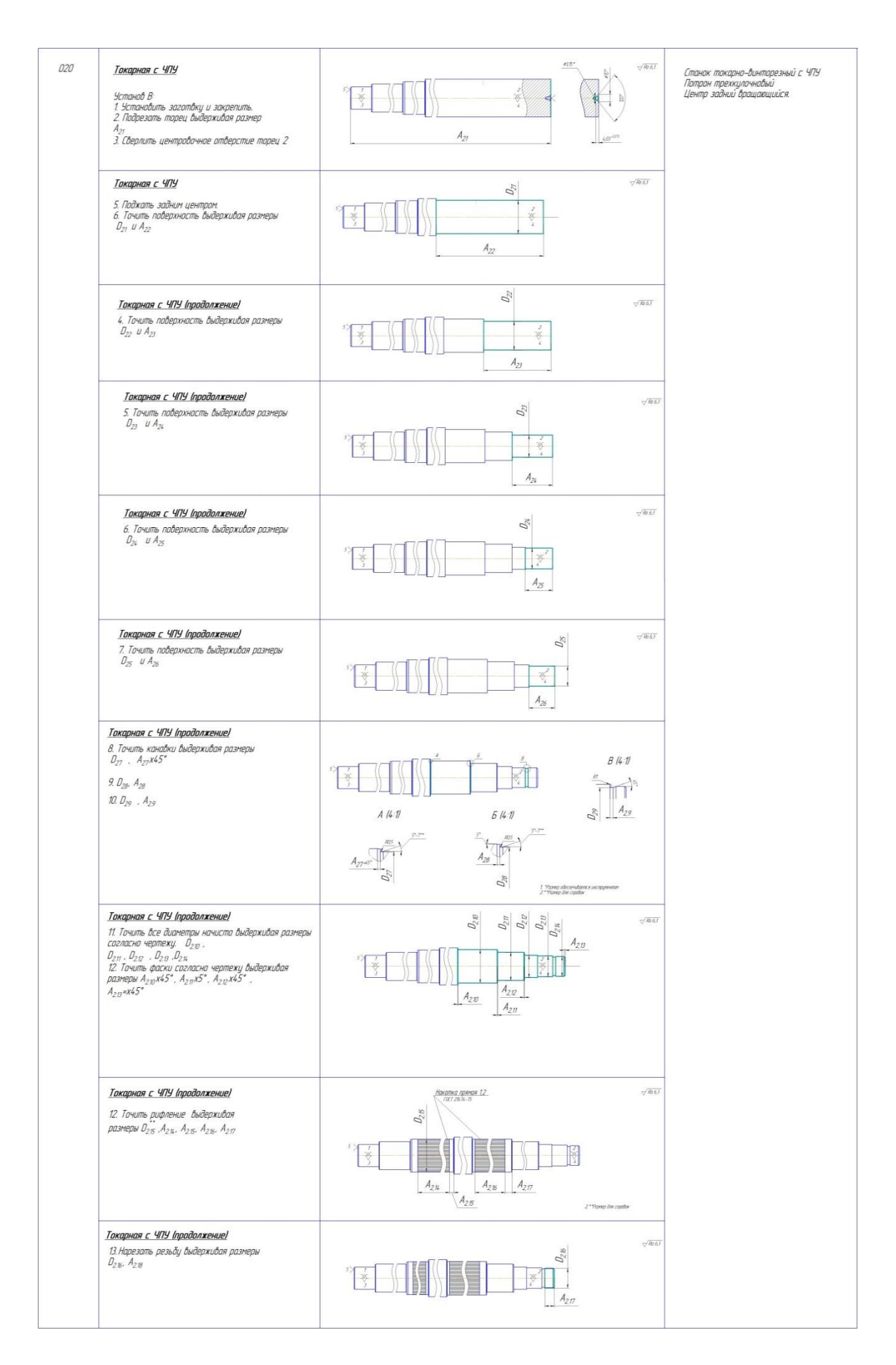


Рисунок 2Технология изготовления вала продолжение

025	Фрезерная с ЧТУ 1. Установить и закрепить. 2. Фрезеровать шпоночный паз выдерживая размеры Азг., Азг. L. h	A ₃₁ A ₃₂	<i>√86.12</i>	Станок бертикально-фрезерный с ЧТУ Тиски самоцентрурующие
030	<u>Терническая</u> 1. Колить до твердости 40.42 HRC			
035	Круглашлифовальная 1. Установить и закрепить в центрах. Установить и закрепить в центрах. 2. Шпифовать поверхности выдерхивая разнеры D_{45} , A_{15} , D_{42} , A_{12} , D_{43} , A_{12} , A_{13} , A_{13} , A_{13} , A_{13} , A_{13} , A_{13} , A_{14} , A_{15} ,	$\begin{array}{cccccccccccccccccccccccccccccccccccc$	√ <i>№12</i>	Станак кругло-шлифовальный Потрон повойкавый Центр неподвижный
040	Химика-терническая 1. Произвести химическую оксидация с промослением.			

Рисунок ЗТехнология изготовления вала продолжение

2. Построение расчётной схемы и графа технологических цепей

Расчётная схема изготовления изделия представляет собой совокупность технологических размерных цепей. Замыкающими звеньями в операционных технологических цепях являются припуски на обработку поверхностей и конструкторские размеры, непосредственно взятые с чертежа. Помимо замыкающих звеньев в технологической цепи есть составляющие звенья, которыми являются технологические размеры, получаемые на всех операциях (переходах) обработки изделия [1, стр. 21].

На основании маршрута изготовления вала, составляется расчётная схема, которая представлена на рис. 5, и содержит все осевые технологические размеры, припуски на обработку и конструкторские размеры, проверка которых будет осуществляться по ходу данной работы

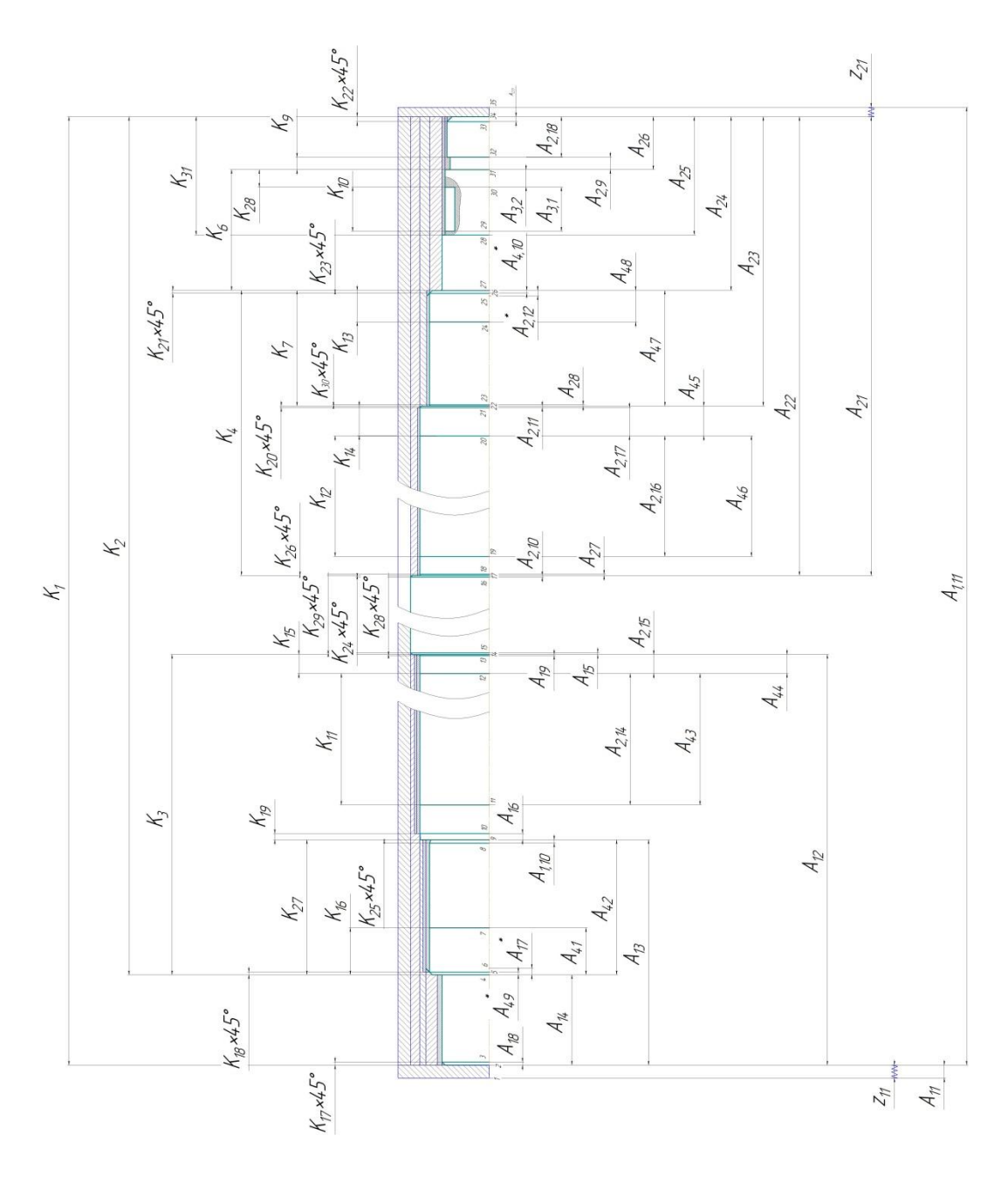


Рисунок 5. Размерная схема вала для изготовления

С целью облегчения составления размерных цепей в дальнейшем, на базе расчётной схему строиться граф-дерево. Методика построения граф-дерева подробно излагается в источнике [1, стр. 29]. Граф-дерево для расчётной схемы изготовления вала переднего представлено на рис. 6.

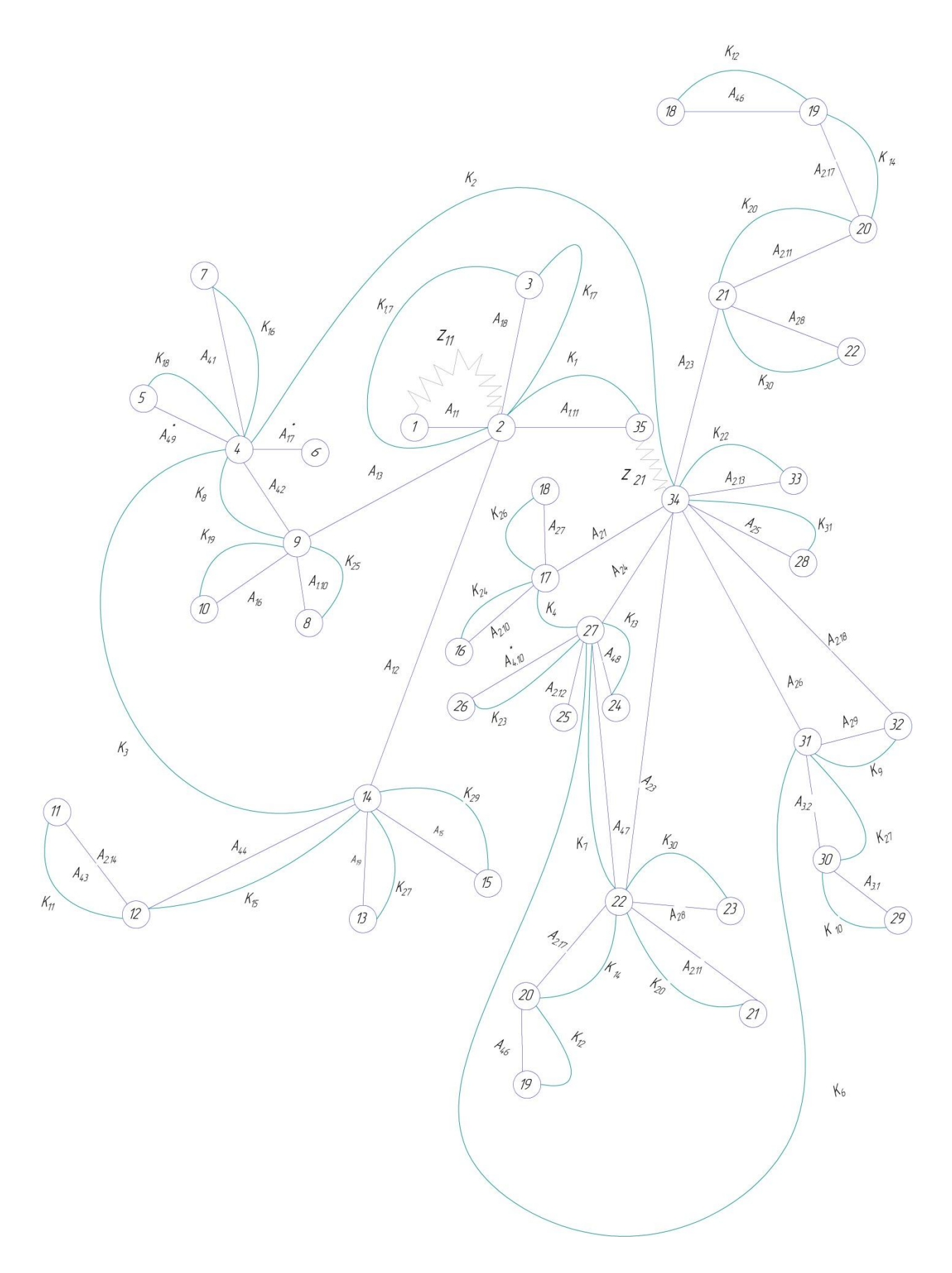


Рисунок 6 Граф технологических цепей

3. Расчёт минимальных припусков z_{min} на обработку заготовки в диаметральном направлении

Как известно из [3] минимальный припуск на обработку должен быть таким, чтобы его удаления было достаточно для обеспечения требуемой точности детали и её заданного качества поверхностного слоя.

Таким образом, минимальный припуск на обрабатываемый диаметр определяется по формуле из [1, стр. 47]:

$$2z_{i\min} = 2(Rz_{i-1} + h_{i-1} + \sqrt{\rho_{i-1}^2 + \varepsilon_{yi}^2}), (1)$$

где $z_{i\, {
m min}}$ - минимальный припуск на обработку поверхности вращения, мкм;

 Rz_{i-1} - шероховатость с предыдущего перехода, мкм;

 h_{i-1} - толщина дефектного поверхностного слоя, сформированного с предыдущего перехода, мкм;

 ho_{i-1} - суммарная погрешность формы, полученная на предшествующем переходе, мкм;

 ε_{yi} - погрешность установки заготовки на текущем переходе, мкм.

В свою очередь:

$$\rho_{i-1} = \sqrt{\rho_{Pi-1}^2 + \rho_{\Phi i-1}^2}, (2)$$

где ρ_{Pi-1}^2 - погрешность расположения обрабатываемой поверхности, возникшая на предыдущем переходе, мкм;

 $ho_{\phi_{i-1}}^{2}$ - погрешность формы обрабатываемой поверхности с предыдущего перехода.

Расчёт припуска на обработку плоскости, определяется по формуле из [1, стр. 47]:

$$z_{i \min} = Rz_{i-1} + h_{i-1} + \rho_{i-1}, (3)$$

где
$$\rho_{i-1} = \rho_{Pi-1} + \rho_{\Phi i-1}$$
.

3.1 Определение допусков на диаметральные технологические размеры Допуски на диаметральные размеры принимаются равными статистической погрешности [1, стр. 38]:

$$TD_i = \omega_{ci}$$
,

где ω_{ci} - статическая погрешность, мм.

Тогда назначаем допуски, руководствуясь [1, стр. 73 П1]:

$TD_{31} = 0.20 \text{мм}$
$TD_{21} = 0.20 \text{MM}$
$TD_{22} = 0.20 \text{мм}$
$TD_{23} = 0.20 \text{MM}$
$TD_{24} = 0.2$ мм
$TD_{25} = 0.2$ мм
$TD_{26} = 0.2$ мм
$TD_{27} = 0.20 \text{мм}$
$TD_{28} = 0.20 \text{MM}$
$TD_{29} = 0.20 \text{мм}$
$TD_{2.10} = 0.12 MM$
$TD_{2.11} = 0.12 \mathrm{MM}$
$TD_{2.12} = 0.12 \mathrm{MM}$
$TD_{2.13} = 0.12 \text{мм}$
$TD_{2.14} = 0.12 MM$
$TD_{2.15} = 0.2$ мм
$TD_{2.16} = 0.12 MM$

Допуски на шлифование выбираем из [2, стр. 64]:

$$TD_{41} = 0.016 \,\mathrm{Mm}$$
 $TD_{44} = 0.016 \,\mathrm{Mm}$

$$TD_{42} = 0.016 \,\mathrm{Mm}$$
 $TD_{45} = 0.016 \,\mathrm{Mm}$

$$TD_{43} = 0.016 \, \text{mm}$$
 $TD_{46} = 0.016 \, \text{mm}$

Расчётная схема вала с диаметральными размерами, припусками на обработку представлена на рисунках 7.1 и 7.2.

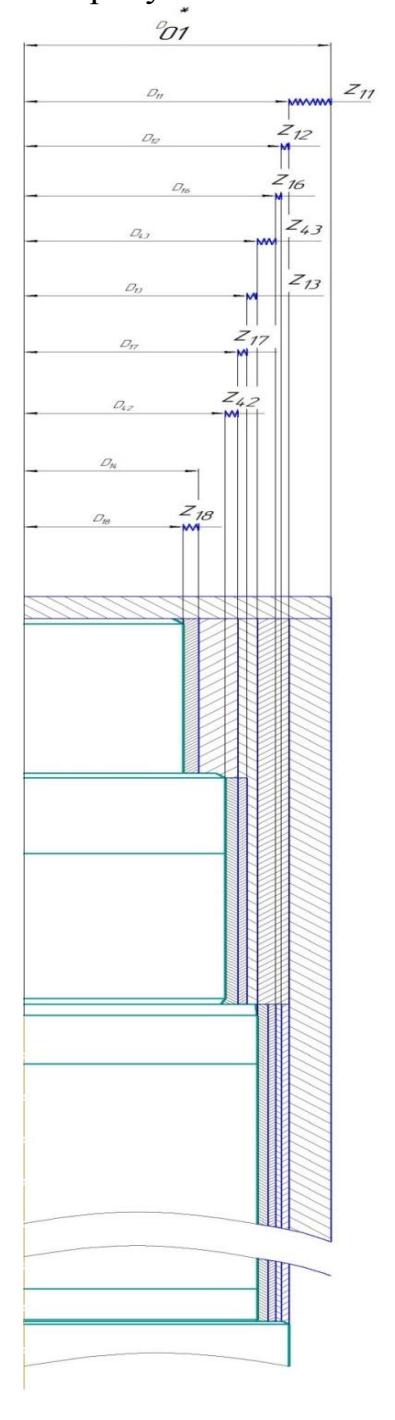


Рисунок 7.1 Размерная схема вала в диаметральном направлении левая сторона

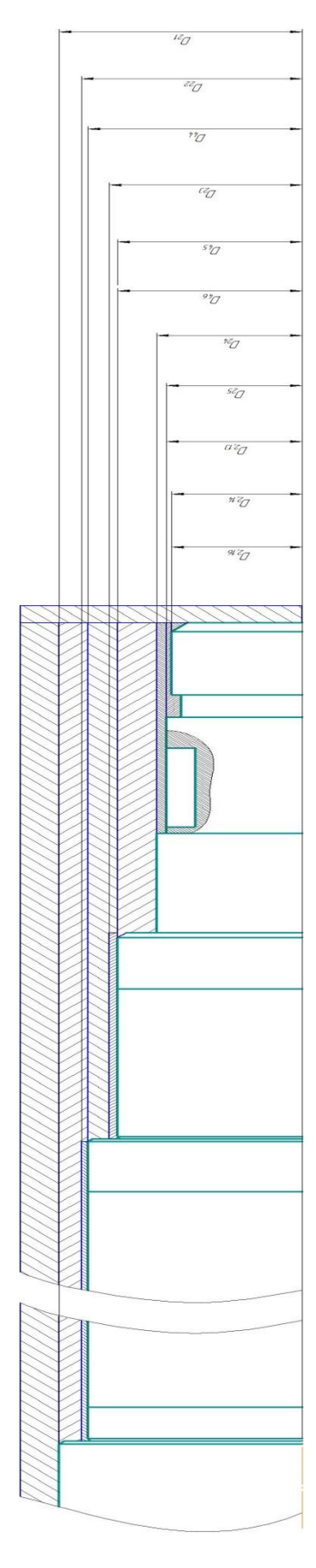


Рисунок 7.2 Размерная схема вала в диаметральном направлении правая сторона

4. Расчёт диаметра проката заготовки

Суммарное пространственное отклонение определяется только пространственным отклонением исходной заготовки (круглого проката), и может быть определено из выражения:

$$\rho_{\Phi i-1} = \Delta_k \cdot l$$
, (4)

где Δ_k - удельная кривизна заготовки, мкм/мм;

l - длина обрабатываемого участка, мм.

Величина Δ_k выбирается из [2, стр. 71]. $\Delta_k = 1$ мкм / мм , l = 350мм . Подставим выбранные значения в формулу (4):

$$\rho_{{\it \Phi}i-1} = \Delta_k \cdot l = 1 \cdot 350 = 350$$
 мкм .

Погрешность установки при черновом точении определяется только погрешностью закрепления трехкулачкового патрона [1, стр. 84]:

$$\varepsilon_{v} = 370$$
мкм.

Определим остаточное пространственное отклонение после чернового точения [2, стр. 73]:

$$\rho = k_{y} \cdot \rho_{c \tilde{a} \tilde{a}}, (5)$$

где k_y - коэффициент уточнение, $k_y = 0.04$

$$ho_{\it 3ac}$$
 = 93 . Тогда $ho=k_{\it y}\cdot
ho_{\it 3ac}$ = 0.04 · 350 = 14 мкм.

Погрешность установки при чистовом точении $\varepsilon_y = 80$ мкм.

После закалки с учётом коробления изделия для шлифовальной операции:

$$\rho_{_{\text{KOD}}} = 0.25 \cdot 240 = 60$$
 мкм.

Остальные данные о погрешности установки выбираются из [1, стр. 85] и вносятся в таблицу 1.

Таблица 1

Переходы	Элем	енты мі			
обработки		припус	ка, мкм		Минимальный
поверхности					припуск
Ø 42h14 _{-0.62}	Rz	h	ρ	\mathcal{E}	$2z_{Di\mathrm{min}}$, MKM
Ø35h6 _{-0.016}					
Заготовительная	100	125	350	-	
Черновое точение	100	75	14	370	1220
Чистовое точение	20	20	0	80	510
Шлифование	10	20	60	-	200

Теперь можно рассчитать минимальные припуски на обработку:

- под черновое точение $2z_{D01\,\mathrm{min}}=2(100+125+\sqrt{350^2+370^2})\approx 1467$ мкм. = 1,46мм ;
- под чистовое точение $2z_{D26\,\mathrm{min}} = 2(100 + 75 + \sqrt{14^2 + 80^2}) \approx 510$ мкм. = 0.51мм;
- шлифование после термообработки

$$2z_{D53\,\mathrm{min}} = 2(20 + 20 + 60) = 200\,\mbox{\it MKM}. = 0.2\,\mbox{\it MM}$$
 .

Для определения диаметра исходной заготовки, а именно круглого горячекатаного проката, необходимо рассмотреть следующую диаметральную размерную цепь $D_{01},\,D_{15},\,K_{D15},\,2z_{D01}$:

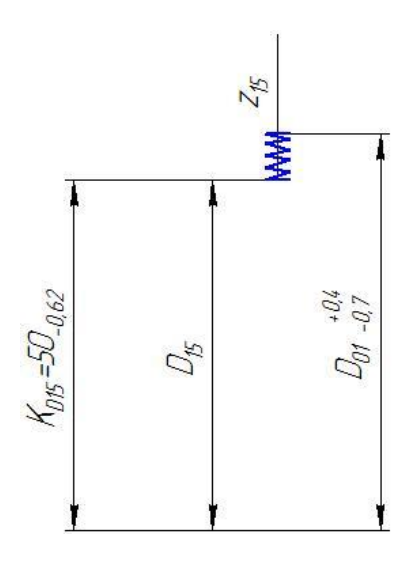


Рисунок 8 Размерная цепь для определения диаметра заготовки

Находим среднее значение припуска:

$$2z^{c}_{D01} = 2z_{D01\min} + \frac{TD_{15} + TD_{01}}{2} = 1,46 + \frac{0,2 + 1,1}{2} = 2.11$$
 мм

Рассчитаем среднее значение диаметра круглого проката при условии, что $D_{15} = K_{D15} = 50_{-0.62} \, ;$

$$D^{c}_{01} = D^{c}_{15} + 2z^{c}_{D01} = 49.69 + 2.11 = 51.8$$
mm

Вычисляем номинальный размер проката:

$$D_{01} = D^{c}_{01} - \frac{BOD_{01} + HOD_{01}}{2} = 51.8 - \frac{0.4 - 0.7}{2} = 43.95$$
mm.

Таким образом расчётное значение проката:

 $D_{01} = 51,95^{+0,4}_{-0,7}$ мм. ИзГОСТ 2590-88 выбираем прокат с фактическим диаметром $D^{\phi}_{01} = 52^{+0,4}_{-0,7}$ мм. Тогда пересчитываем значение припуска:

$$2z^{\phi}_{D01} = 52^{+0.4}_{-0.7} - 50_{-0.62} = 2^{+1.02}_{-0.7} MM$$
.

В итоге для изготовления вала переднего в качестве заготовки используется круглый горячекатаный прокат с номинальным диаметром $D^{\phi}{}_{01} = 52^{+0.4}_{-0.7}\,{}_{MM}\,.$

4.1 Расчёт припусков на первой операции.

4.1.1 Расчёт диаметральных технологических размеров для обработки шейки Ø 30 $^{+0.6}_{+0.4}$ мм

Расчёты производятся из цепи, что на рис. 5.1.

Рассмотрим размерную цепь на рис. 9:

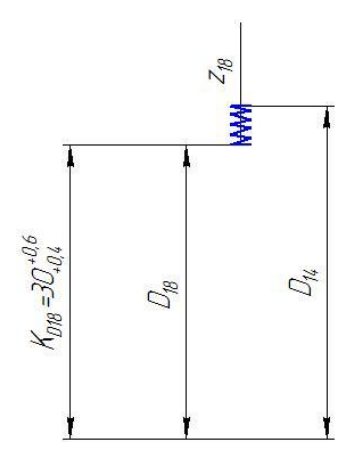


Рисунок 9Размерная цепь для шейки Ø $30_{+0.4}^{+0.6}$

Из пункта 4.2 известно, что $2z_{D18min} = 0.2$ мм

Рассмотрим на этой размерной цепи элементы D_{18} , D_{14} и z_{D18} .

Ha cxeme
$$D_{53} = K_{D53} = 30_{+0.4}^{+0.6} \, \text{MM}$$
.

Hаходим D_{14} :

$$D^{c}_{18} = D_{18} + \frac{BOD_{53} + HOD_{53}}{2} = 30 + \frac{1 - 0,016}{2} = 31,992$$
 мм.

Теперь находим:

$$2z^{c}_{D18} = 2z_{D18\,\text{min}} + \frac{TD_{18} + TD_{14}}{2} = 0.2 + \frac{0.016 + 0.12}{2} = 0,268\,\text{мм}.$$

Теперь вычисляем $D^{c}_{14} = D^{c}_{18} + 2z^{c}_{D18} = 31,992 + 0,268 = 31,26 мм$.

То есть
$$D_{14} = 31,26 \pm 0,06$$
 мм.

Из курса метрологии известно, что для размеров валов, получаемых механической обработкой, в качестве номинального размера необходимо использовать наибольший размер, тогда запишем:

$$D_{14} = 31,32_{-0.12}$$
 MM.

Теперь найдём припуск на черновое точение, который одновременно является напуском, так как образует первый ступенчатый участок вала:

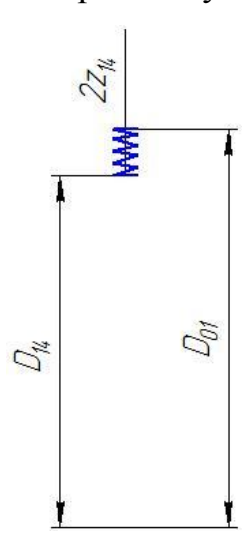


Рисунок10. Размерная цепь для нахождения припуска на черновую обработку

Рассмотрим расчётную цепь на рис. 10, в частности элементы D^{ϕ}_{01} , $2z_{D14}$ и D_{21} .

Решая обратную задачу этой размерной цепи в результате имеем, что:

$$2z_{D14} = D^{\phi}{}_{01} - D_{14} = 52^{+0.4}_{-0.7} - 31,32_{-0.2} = 20.68^{+0.6}_{-0.7}$$
 mm

Напуск при черновом точении можноудалитьза5 прохода, с целью достижения заданных параметров.

4.1.2 Расчёт диаметральных технологических размеров для обработки шейки Ø $38^{-0.05}_{-0.112}$ мм и $38^{+0.5}_{+0.024}$ мм

Величина Δ_k выбирается из [2, стр. 71]. $\Delta_k = 1$ мкм / мм , l = 117 мм . Подставим выбранные значения в формулу:

$$\rho_{\Phi_{l-1}} = \Delta_k \cdot l = 1 \cdot 117 = 117 \text{ MKM}$$
.

Погрешность установки при черновом точении определяется только погрешностью закрепления трехкулачкового патрона [1, стр. 84]:

$$\varepsilon_{v} = 370$$
мкм.

Определим остаточное пространственное отклонение после чернового точения [2, стр. 73]:

$$\rho = k_y \cdot \rho_{3az}$$

где k_y - коэффициент уточнение, $k_y = 0.04$

$$ho_{\it 3ac} = 76$$
 . Тогда $ho = k_{\it y} \cdot
ho_{\it 3ac} = 0.04 \cdot 117 = 4,68$ мкм.

Погрешность установки при чистовом точении $\varepsilon_y = 80$ мкм.

После закалки с учётом коробления изделия для шлифовальной операции:

$$\rho_{_{KOP}} = 0.25 \cdot 240 = 60 \, \text{MKM}$$
 .

Остальные данные о погрешности установки выбираются из [1, стр. 85] и вносятся в таблицу 2.

Таблица 2

Переходы	Эле	ементы м	Минимальн		
обработки		припу	ый припуск		
поверхности	ъ	1			$2z_{Di\min}$,
Ø 38 ^{+0.5} мм	Rz	h	ρ	ε	МКМ
Черновое					
точение Ø 39 _{-0.2}	100	125	117	-	1220

Черновое	100	75	4.68	370	1220
точение	100	73	4.00	370	1220
Чистовое	20	20	0	80	510
точение	20	20	U	00	310
Шлифование	10	20	60	-	200

Теперь можно рассчитать минимальные припуски на обработку:

• под черновое точение

$$2z_{D13 \text{ min}} = 2(100 + 125 + \sqrt{117^2 + 370^2}) \approx 1220 \text{ MKM.} = 1,22 \text{ MM};$$

- под чистовое точение $2z_{D25\min} = 2(100 + 75 + \sqrt{3^2 + 80^2}) \approx 510$ мкм. = 0.51мм;
- шлифование после термообработки

$$2z_{D52\min} = 2(20 + 20 + 60) = 200$$
 мкм. = 0.2мм.

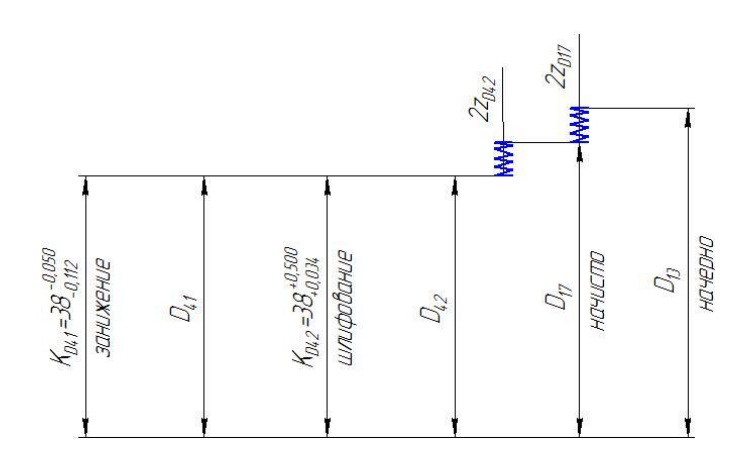


Рисунок 11 Размерная цепь для шейки Ø38f7

Известно, что $2z_{D42\min}=0.2$ мм , $2z_{D41\min}=0.2$ мм и $2z_{D17\min}=0.51$ мм

Рассмотрим на этой размерной цепи элементы $D_{41},\ D_{42},\ D_{17}$ и $z_{D42},\ z_{D17}$,

Ha cxeме
$$D_{42}=K_{D42}=38^{+0.5}_{+0.024}\,{\rm MM}$$
 И $D_{41}=K_{D41}=38^{-0.05}_{-0112}\,{\rm MM}$

Hаходим D_{17} :

$$D^{c}_{42} = D_{42} + \frac{BOD_{42} + HOD_{42}}{2} = 38 + \frac{+0.5 + 0.024}{2} = 38,262$$
MM.

Теперь находим:

$$2z^{c}_{D42} = 2z_{D42\min} + \frac{TD_{42} + TD_{17}}{2} = 0.2 + \frac{0.016 + 0.12}{2} = 0,268$$
 мм.

Теперь вычисляем $D^{c}_{17} = D^{c}_{17} + 2z^{c}_{D17} = 38,262 + 0,268 = 38,53 \text{ мм}$.

To есть
$$D_{25} = 38,53 \pm 0,06$$
 мм

Далее вычисляется по аналогичному алгоритму размер D_{13} :

$$2z^{c}_{D17} = 2z_{D17\,\text{min}} + \frac{TD_{13} + TD_{17}}{2} = 0.53 + \frac{0.20 + 0.12}{2} = 0,69$$
мм.

Теперь вычисляем $D^{c}_{13} = D^{c}_{17} + 2z^{c}_{D17} = 38,53 + 0,69 = 39,22 \text{ мм}$.

To есть $D_{22} = 39,22 \pm 0.1$ мм $= 39,3 \pm 0.1$ мм.

Запишем:

$$D_{17} = 38,3_{-0.12}$$
 мм. И $D_{13} = 39_{-0.2}$ мм.

Теперь найдём припуск на черновое точение, который одновременно является напуском, так как образует второй ступенчатый участок вала:

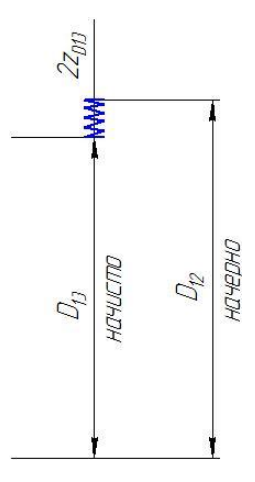


Рисунок 2Размерная цепь для нахождения припуска на черновую обработку

Рассмотрим расчётную цепь на рис. 12, в частности элементы D_{13} , $2z_{D13}$ и D_{12} . Решая обратную задачу этой размерной цепи в результате имеем, что:

$$2z_{D14} = D_{12} - D_{13} = 45_{-0.2} - 39_{-0.2} = 6 \pm 0.2$$
 мм

Напуск при черновом точении можноудалитьза 1 проход, с целью достижения заданных параметров.

4.2Расчёт припусков на второй токарной операции

4.2.1 Расчёт диаметральных технологических размеров для обработки шейки Ø $28_{-0.62}$ мм

Величина Δ_k выбирается из [2, стр. 71]. $\Delta_k = 1$ мкм / мм , l = 14мм . Подставим выбранные значения в формулу:

$$ho_{arphi_{l-1}} = \Delta_k \cdot l = 1 \cdot 14 = 14$$
 мкм .

Погрешность установки при черновом точении определяется только погрешностью закрепления трехкулачкового патрона [1, стр. 84]:

$$\varepsilon_{v} = 370$$
мкм.

Определим остаточное пространственное отклонение после чернового точения [2, стр. 73]:

$$\rho = k_y \cdot \rho_{3az},$$

где k_y - коэффициент уточнение, $k_y = 0.04$

$$ho_{\it 3ac} = 46$$
 . Тогда $ho = k_{\it y} \cdot
ho_{\it 3ac} = 0.04 \cdot 14 = 0.56$ мкм.

Погрешность установки при чистовом точении $\varepsilon_{y} = 80$ мкм.

После закалки с учётом коробления изделия для шлифовальной операции: $\rho_{_{\!\scriptscriptstyle K\!O\!P}} = 0,\!25\cdot 240 = 60\,\text{мкм} \ .$

Остальные данные о погрешности установки выбираются из [1, стр. 85] и вносятся в таблицу 3.

Таблица 3

Переходы	Эле	ементы м	Минимальн		
обработки		припу	ска, мкм	I	ый припуск
поверхности	Rz	h	0	a	$2z_{Di\min}$,
Ø 28 _{-0.62} мм	KZ	11	ρ	ε	МКМ
Черновое точение Ø 29 _{-0.62} мм	100	125	14	-	1190
Черновое точение	100	75	0.56	370	1190
Чистовое точение	20	20	0	80	510
Шлифование	10	20	60	-	200

Теперь можно рассчитать минимальные припуски на обработку:

• под черновое точение

$$2z_{D23 \text{ min}} = 2(100 + 125 + \sqrt{14^2 + 370^2}) \approx 1190 \text{ мкм.} = 1,19 \text{ мм};$$

- под чистовое точение $2z_{D25 \mathrm{min}} = 2(100 + 75 + \sqrt{2^2 + 80^2}) \approx 510$ мкм. = 0.51мм;
- шлифование после термообработки

$$2z_{D51\min} = 2(20 + 20 + 60) = 200 \,\text{мкм.} = 0.2 \,\text{мм}$$
.

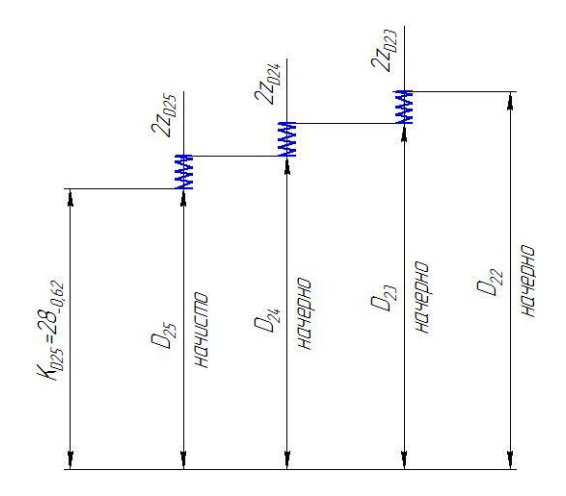


Рисунок 3Размерная цепь для шейки Ø28_{-0.62}

Известно, что $2z_{D25\min} = 0.2$ мм и $2z_{D24\min} = 0.51$ мм

Рассмотрим на этой размерной цепи элементы D_{25} , D_{24} и z_{D25} .

Ha cxeme $D_{25} = K_{D25} = 28_{-0.62} \,\text{MM}$.

Hаходим D_{24} :

$$D^{c}_{25} = D_{25} + \frac{BOD_{25} + HOD_{25}}{2} = 28 + \frac{0 - 0.62}{2} = 28.31$$
 мм.

Теперь находим:

$$2z^{c}_{D25} = 2z_{D25\,\text{min}} + \frac{TD_{25} + TD_{24}}{2} = 0.2 + \frac{0.016 + 0.12}{2} = 0,268\,\text{мм}.$$

Теперь вычисляем $D^{c}_{24} = D^{c}_{25} + 2z^{c}_{D25} = 28,31 + 0,268 = 28,578$ мм.

To есть
$$D_{24} = 28,578 \pm 0,06$$
 мм $= 28,6 \pm 0,06$ мм

Далее вычисляется по аналогичному алгоритму размер D_{23} :

$$2z^{c}_{D24} = 2z_{D24\min} + \frac{TD_{23} + TD_{24}}{2} = 0.51 + \frac{0.20 + 0.12}{2} = 0,67$$
 мм.

Теперь вычисляем $D^{c}_{23} = D^{c}_{24} + 2z^{c}_{D24} = 28,578 + 0,67 = 29,248$ мм.

To есть $D_{23} = 29,248 \pm 0.1$ мм = 29 ± 0.1 мм.

Запишем:

$$D_{24} = 29_{-0.12}$$
 мм. И $D_{23} = 31_{-0.2}$ мм.

Теперь найдём припуск на черновое точение, который одновременно является напуском, так как образует третий ступенчатый участок вала:

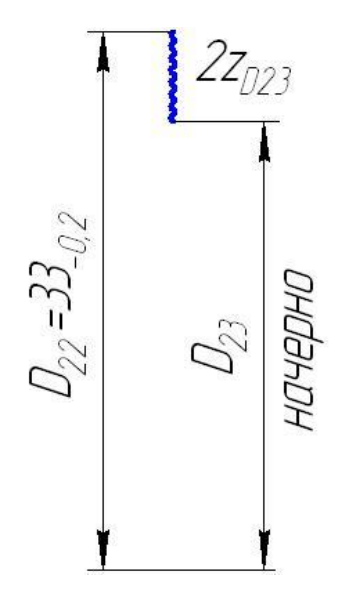


Рисунок 14Размерная цепь для нахождения припуска на черновую обработку

Рассмотрим расчётную цепь на рис. 13, в частности элементы D_{22} , $2z_{D23}$ и D_{23} .

Решая обратную задачу этой размерной цепи в результате имеем, что:

$$2z_{{\scriptscriptstyle D23}} = D_{{\scriptscriptstyle 22}} - D_{{\scriptscriptstyle 23}} = 39_{{\scriptscriptstyle -0.2}} - 31_{{\scriptscriptstyle -0.2}} = 8 \pm 0.2$$
мм

Напуск при черновом точении можноудалитьза 2 проход, с целью достижения заданных параметров.

Расчёты производятся из схемы, что на рис. 5.2. В результате расчётов минимальных припусков на обработку была полностью сформирована ступенчатая поверхность вала, получаемая на первой токарной операции.

Суммарное пространственное отклонение определяется только пространственным отклонением исходной заготовки (круглого проката), и может быть определено из выражения:

$$\rho_{\Phi i-1} = \Delta_k \cdot l ,$$

где Δ_k - удельная кривизна заготовки, мкм/мм;

l - длина обрабатываемого участка, мм.

Величина Δ_k выбирается из [2, стр. 71]. $\Delta_k = 1$ мкм / мм , l = 144 мм . Подставим выбранные значения в формулу (4):

$$ho_{{\it D}i-1} = \Delta_k \cdot l = 1 \cdot 144 = 144$$
 мкм .

Погрешность установки при черновом точении с зажимом в трёхкулачковом патроне по чистовой поверхности определяется по [1, стр. 84]:

$$\varepsilon_{y} = 40$$
мкм.

Определим остаточное пространственное отклонение после чернового точения [2, стр. 73]:

$$\rho = k_y \cdot \rho_{3az}$$
, (5)

где k_y - коэффициент уточнение, $k_y = 0.04$

$$ho_{\scriptscriptstyle 3ac} =$$
 144 . Тогда $ho = k_{\scriptscriptstyle y} \cdot
ho_{\scriptscriptstyle 3ac} = 0.04 \cdot 144 = 5,76$ мкм.

Погрешность установки при чистовом точении уменьшается до $\varepsilon_{\,y} = 20 {\it мкм}.$

После закалки с учётом коробления для шлифовальной операции:

$$\rho_{\kappa op} = 0.25 \cdot 240 = 60$$
 мкм

Остальные данные о погрешности установки выбираются из [1, стр. 85] и вносятся в таблицу 4.

Таблица 4

Переходы	Эле	ементы м	Минимальн		
обработки		припу			
поверхности Ø 39 _{-0.62}	Rz	h	ρ	€	ый припуск $z_{Di \min}$, мкм
Черновое точение Ø 39 h14 _{-0.62} мм	100	125	144	-	1120
Черновое	100	75	5,76	40	1120

точение					
Чистовое	20	20	0	20	200
точение	20	20		20	200
Шлифование	10	20	60	-	100

Теперь можно рассчитать минимальные припуски на обработку:

• под черновое точение

$$2z_{D21 \, \text{min}} = 2(100 + 125 + \sqrt{144^2 + 370^2}) \approx 1120 \, \text{мкм.} = 1{,}12 \, \text{мм};$$

- под чистовое точение $2z_{D22\mathrm{min}} = 2(100 + 75 + \sqrt{4^2 + 20^2}) \approx 200$ мкм. = 0.2мм;
- шлифование после термообработки

$$2z_{D53\,\mathrm{min}} = 2(20 + 20 + 60) = 100\,\mathrm{MKM.} = 0.1\mathrm{MM}$$
 .

4.2.2 Расчёт диаметральных технологических размеров для обработки шейки Ø $38^{+0.5}_{+0.024}$ мм

Рассмотрим размерную цепь на рис. 15:

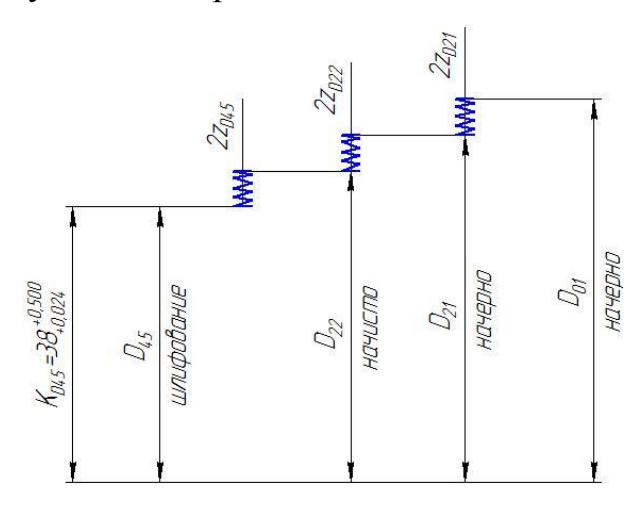


Рисунок 5Размерная цепь для шейки Ø38

Из пункта 4.4 известно, что $2z_{D45\,\mathrm{min}}=0.1$ мм и $2z_{D22\,\mathrm{min}}.=0.2$ мм

Рассмотрим на этой размерной цепи элементы D_{45} , D_{22} и $2z_{D45}$.

Ha cxeme $D_{45} = K_{D45} = 38^{+0.5}_{+0.024} \text{ MM}$.

Hаходим D_{22} :

$$D^{c}_{22} = D_{22} + \frac{BOD_{22} + HOD_{22}}{2} = 38 + \frac{0.5 + 0.024}{2} = 38,262$$
мм .

Теперь находим:

$$2z^{c}_{D45} = 2z_{D45\,\text{min}} + \frac{TD_{45} + TD_{22}}{2} = 0.1 + \frac{0,262 + 0.12}{2} = 0,29\,\text{lmm}.$$

Теперь вычисляем $D^{c}_{22} = D^{c}_{45} + 2z^{c}_{D45} = 38,262 + 0,291 = 38,553$ мм.

То есть
$$D_{22} = 38,553 \pm 0,06$$
 мм. $= 39 \pm 0,06$ мм

Из курса метрологии известно, что для размеров валов, получаемых механической обработкой, в качестве номинального размера необходимо использовать наибольший размер, тогда запишем:

$$D_{22} = 39_{-0.12} \,\text{MM}.$$

Теперь найдём припуск на черновое точение, который одновременно является напуском, так как образует первый ступенчатый участок вала:

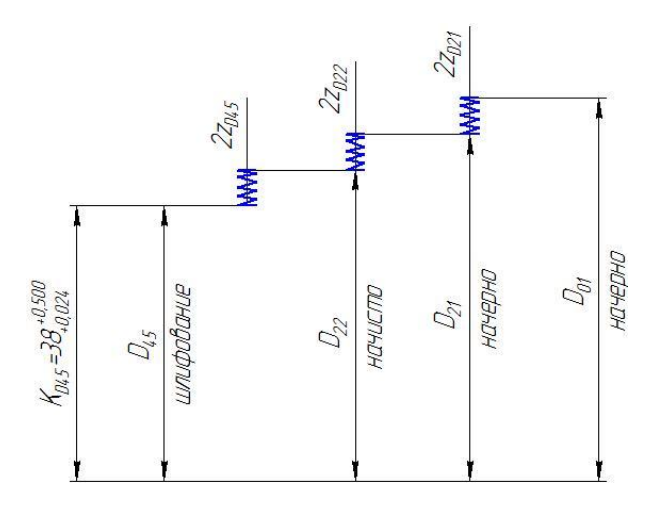


Рисунок 16Размерная цепь для нахождения припуска на черновую обработку

Рассмотрим расчётную цепь на рис. 16, в частности элементы $D_{21},\ 2z_{D21}$ и $D_{01}.$ Решая обратную задачу этой размерной цепи в результате имеем, что:

$$2z_{D21} = D_{01} - D_{21} = 52_{-0.62} - 45_{-0..62} = 7_{-0.62}$$
 мм

Напуск при черновом точении можноудалитьза 2 проход, с целью достижения заданных параметров.

В результате расчётов минимальных припусков на обработку была полностью сформирована ступенчатая поверхность вала, получаемая на второй токарной операции.

Таким образом рассчитаны все диаметральные технологические размеры, минимальные припуски на обработку радиальных размеров.

5 Расчёт технологических размеров и минимальных припусков в осевом направлении

В данном разделе расчёты производятся по схеме, что на рис. 5 и графа – рис. 6.

5.1Определение допусков на осевые технологические размеры Допуски на осевые технологические размеры принимаются равными из [1, стр. 38]:

$$TA_i = \omega_{ci} + \rho_{e,i-1} + \varepsilon_{vi}$$

где ω_{ci} - статическая погрешность, мм;

 $ho_{{}_{\hat{e}.i-1}}$ - пространственное отклонение измерительной (технологической) базы, мм.

Параметр ρ_u зависит от вида исходной заготовки и будет включен в допуск на размер A_{11} , так как при поджиме по торцу заготовки неизбежно возникает пространственное отклонение, вызванное неплоской поверхностью, с которой соприкасается упор станка. Из источника

[1, стр. 81 П3] $\rho^{ompeg}{}_u = 0.30$ мм. На первой токарной операции, когда происходит подрезка торца, в трёхкулачковом патроне ещё не обработанная поверхность так же имеет пространственное (после отрезки на предыдущей операции) отклонение и, поэтому, это отклонение $\rho^{movenue}{}_u = 0.30$ мм должно быть включено в допуск на технологический размер. Допуски на технологические размеры в осевом направлении по [1, стр. 73 П1] с учётом статической погрешности:

Заготовительная операция:

$$TA_{11} = \omega_{11} + \rho_{11} + \varepsilon_{11} = 1 + 0.30 + 0 = 1,30$$
mm

Подрезка торца на первой токарной операции:

$$TA_{21} = \omega_{21} + \rho_{11} = 0.20 + 0.30 = 0.5$$
mm

Таблица 7

1-
Вторая токарная операция.
$TA_{21} = 0.5$ мм
$TA_{22} = 0.12 \text{ MM}$
$TA_{23} = 0.12 \text{мм}$
$TA_{24} = 0.12 \text{мм}$
$TA_{25} = 0.12 \text{MM}$
$TA_{26} = 0.12 \text{мм}$
$TA_{27} = 0.12 x45^{\circ} MM$
$TA_{28} = 0.12 \text{мм}$
$TA_{29} = 0.12 \text{мм}$
$TA_{2,10} = 0.12x45^{\circ}$ мм
$TA_{2.11} = 0.12 \times 45^{\circ}$ мм
$TA_{2.12} = 0.12 x45^{\circ} MM$
$TA_{2.13} = 0.12 x45^{\circ} MM$
$TA_{2.14} = 0.12 \text{MM}$
$TA_{2.15} = 0.12 \text{ MM}$
$TA_{2.16} = 0.12 \text{MM}$
$TA_{2.17} = 0.12 \text{MM}$
$TA_{2.18} = 0.12 \text{MM}$

На последующих переходах допуски на технологические размеры в осевом направлении будут без пространственного отклонения, то есть равняются только статистической погрешности. По маршруту обработки все значения допусков на выдерживаемые технологически размеры, получаемые на второй токарной операции, занесены для удобства в таблицу 7.

Таблица 8

Первая токарная операция.
$TA_{12} = 0.21$ мм
$TA_{13} = 0.12 \text{MM}$
$TA_{14} = 0.12 \text{MM}$
$TA_{15} \times 45^{\circ} = 0.12 \mathrm{MM}$
$TA_{16}x45^{\circ} = 0.12 \text{ MM}$
$TA_{17} \times 45^{\circ} = 0.12 \text{мм}$
$TA_{18} \times 45^{\circ} = 0.12 \text{мм}$
$TA_{19} = 0.12 \text{MM}$
$TA_{1.10} \times 45^{\circ} = 0.12 \text{MM}$
$TA_{1.11} = 0.12 \text{мм}$

На первой токарной операции после переустановки, заготовка зажимается в кулачках с упором в задний центр. На предшествующей операции была произведена чистовая контурная обработка ступеней вала, то есть закрепление происходит по обработанной начисто поверхности,поэтому пространственное отклонение в допуске на технологический размер будет составлять.Поверхность имеет незначительное отклонение.

Численные значения допусков на технологические размеры, получаемы на второй токарной операции, сведены для наглядности в

табл. 8.

Последовательно по маршруту обработки назначены допуски на всех операциях обработки вала:

Фрезерная операция:

 $TA_{41} = 0.1$ мм допуск на технологический размер получения шпоночного паза 1.

$$TA^*_{25} = 0.1$$
мм настроечный размер 1.

 $TA_{25} = 0.1$ мм допуск на технологический размер получения шпоночного паза 1

Шлифовальная операция:

Допуск на настроечный размер при шлифовании торца $TA_{41} = 0.016\,\text{мм}$

Допуск на технологический размер $^{TA_{41}}$ для получения фаски на первом переходе, получаемый на шлифовании, равен половине допуска на припуск при шлифовании. Иными словами:

$$TA_{D41} = Tz_{D41} / 2$$
.

В свою очередь значение припуска из пункта 4.4.3:

 $z_{{\scriptscriptstyle D41}} = D_{17} - D_{41} = 38_{+0.3}^{+0.5} - 38_{0.112}^{0.05} = 0_{0,25}^{+0.38}\,{}_{\mathit{MM}}.\ \Phi$ актически допуск $Tz_{{\scriptscriptstyle D51}} = 0.63\,{}_{\mathit{MM}}$ Тогда

$$TA_{D41} = Tz_{D41} / 2 = 0.63 / 2 = 0.315 \,\mathrm{MM}$$

Из пункта 4.4.3 и по маршруту обработки при $D_{41}=D_{46}$, значения припусков тоже равны $z_{D46}=z_{D41}=0^{+0.38}_{+0.25}$. Следовательно, допуск на технологически размер:

$$TA_{D46} = Tz_{D46} / 2 = 0.63 / 2 = 0.315 \text{ MM}$$
.

Допуск на технологический размер от новой обработанной поверхности для шлифования второго торца:

$$TA_{46} = 0.315 \,\text{мм}$$

5.2Проверка конструкторских размеров

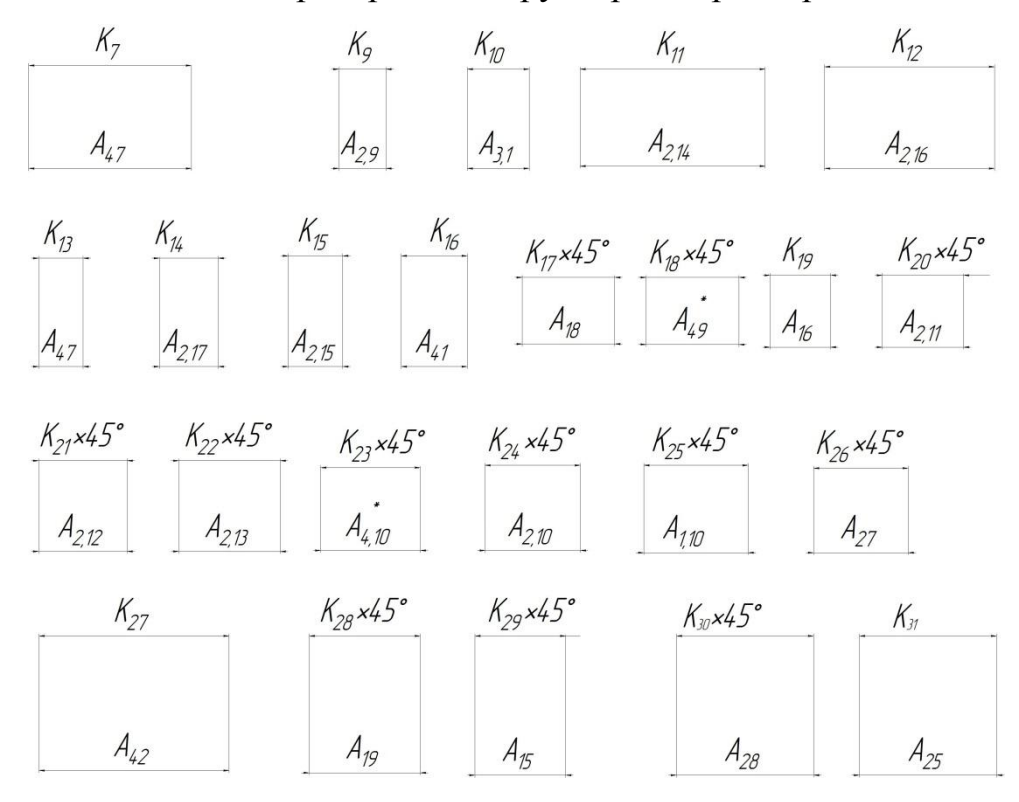


Рисунок 17 Технологические размерные цепи, формирующие конструкторские размеры.

Проверки подлежит конструкторский ОтекпД каждый размер. составляются размерные цепи, по которым производиться проверки выдерживаемых конструкторских размеров. На рис. 17 представлены все технологические размерные цепи. Число составляющих звеньев, как видно из рис. 20, в преобладающем большинстве не превышает двух, исключением является размерная цепь 326, в которой три технологических размера. Поэтому расчёт конструкторских размеров производиться методом максимума-минимума. Для размерной цепи №32 применим вероятностный метод.

С целью проверки обеспечения заданной точности конструкторских размеров произведена проверка методом максимума-минимума конструкторских размеров для цепей №32, соответственно:

$$TK_3 = A_{12} - A_{14} = 0.3 > 0.05 = 0.30 - 0.25$$
; $TK_4 = A_{22} - A_{24} = 0.4 > 0.05 = 0.30 - 0.25$

Проверим допуск на конструкторский размер вероятностным метод из цепи №32:

$$TK_3 = 0.3 > 0.22 = \sqrt{0.3^2 - 0.25^2} = \sqrt{(TA_{12})^2 - (TA_{14})^{2^2}}$$

 $TK_4 = 0.3 > 0.22 = \sqrt{0.3^2 - 0.25^2} = \sqrt{(TA_{22})^2 - (TA_{24})^{2^2}}$

$$TK_6 = 0.5 > 0.45 = \sqrt{0.5^2 - 0.2^2} = \sqrt{(TA_{24})^2 - (TA_{26})^{2^2}}$$

Конструкторские размеры, выдерживаемые непосредственно записаны ниже:

Цепь №1. $K_7 = A_{47} = 100^{+1}_{-1}$ мм .Цепь №3. $K_9 = A_{29} = 4 \pm 0.6$ мм .

Цепь №5. $K_{10} = A_{2.14} = 100 \pm 0.1$ мм .Цепь №8. $K_{11} = A_{31} = 14^{0.7}$ мм .

Цепь №10. $K_{12}=A_{2.16}=100\pm0.1$ мм .Цепь №12. $K_{12}=A_{41}=36_{-0.62}$ мм .

Цепь №13. $K_{13} = A_{48} = 33 \pm 1$ мм .Цепь №14. $K_{14} = A_{2.17} = 24 \pm 0.1$ мм .

Цепь №15 $K_{15}=A_{2.15}=23\pm0.1$ мм .Цепь №16. $K_{16}=A_{41}=14^{+1.5}_{-1}$ мм .

Цепь №17. $K_{17} = A_{18} = 1 \times 45$ °мм Цепь №18. $K_{18} = A^*_{49} = 1 \times 45$ °мм

Цепь №19. $K_{19} = A_{16} = 2 \times 5^{\circ}$ мм Цепь №20. $K_{20} = A_{211} = 2 \times 5^{\circ}$ мм

Цепь №21. $K_{21} = A_{2..12} = 1 \times 45^{\circ}$ им Цепь №22. $K_{22} = A_{2..13} = 1,6 \times 45^{\circ}$ им

Цепь №23. $K_{23} = A_{4.10}^* = 1 \times 45^\circ MM$ Цепь №24. $K_{24} = A_{2..10} = 0.5 \times 45^\circ MM$

Цепь №25. $K_{25} = A_{1.10} = 0.5 \times 45^{\circ}$ ми Цепь №26. $K_{26} = A_{2..7} = 0.5 \times 45^{\circ}$ ми

Цепь №27. $K_{27} = A_{42} = 90^{+0.4}_{+0.28}$ мм Цепь №28. $K_{28} = A_{19} = 4^{+0.5}$ мм

Цепь №29. $K_{29} = A_{15} = 0.5 \times 45^{\circ}$ мм Цепь №30. $K_{30} = A_{2..8} = 4^{+0.5}$ мм

Цепь №31. $K_{31} = A_{2.5} = 46_{-0.2} \, \text{мм}$

Для нахождения K_2 , K_1 где замыкается более 3 звеньев, находим промежуточной на диаметре 50 мм конструкторский размер

 $K^{**}=67^{-0.8}_{+0.7}$ мм из размерной цепи. $K^*=A^*=K_1-K_2=22^{-0.8}_{-0.4}$, далее

$$K^{**} = K_1 - K_3 - K^* = 67^{+0.8}_{+0.7}, K^{**} = A^{**} = 67^{+0.8}_{+0.7}$$

$$K_1 = A_{12} + A_{21} + A^{**} = 626,5_{-1.0}, \quad K_2 = A_{12} + A_{21} + A^{**} - A^* = 604,5_{-0.4}^{-0.2}$$

Анализируя полученные результаты проверки конструкторских размеров можно сделать вывод, что допуски на технологические размеры

можно увеличить, то есть сделать грубее, при этом сэкономить на точной наладке и подналадке станка. В рассматриваемом учебном проекте производить замену допусков не следует, а в реальном производстве, на месте, такую замену сделать необходимо. Коррекция значений допусков предусматривает их повышение, по сравнению с текущими, минимум на 70%, а в некоторых случаях и на 200%.

5.3 Расчёт минимальных припусков на обработку

Припуск на обработку плоскости вычисляется по формуле из [1, стр. 47]:

$$z_{i \min} = Rz_{i-1} + h_{i-1} + \rho_{i-1}$$
.

Значения шероховатости и величины дефектного слоя выбираются из [1, стр. 80] и заносятся в

таб. 9.

Таблица 9.

Технологические	Параметры минимального припуска			Значение		
	R7	h		минимального		
переходы	K_{i-1}	Rz_{i-1} h_{i-1} $ ho_{i-1}$	$ ho_{i-1}$	припуска, мкм		
	Обработка торца с припуском z_{21}					
Заготовительная						
Отрезка в $p-p A_{11}$	-	-	-	-		
Подрезка торца	30	40	50	7120		
в А ₂₁	30	40	30	z _{min21} =120		
Обработка ступенчатых поверхностей вала на первой токарной						
операции с припусками z_{26} , z_{27} , z_{28} .						
Чистовой точение						
торца на	80	75	50	z _{min28} =205		
Ø35h6 _B p-p A ₂₈				16		

При шлифовании шеек вала, на которых имеются фаски, минимальный припуск в осевом направлении:

$$z_{\min D41} = 2z_{\min D41} / 2 = 0.1 / 2 = 0.05$$
 мм

$$z_{\min D46} = 2z_{\min D46} / 2 = 0.1 / 2 = 0.05 \,\text{MM}$$

Производим расчёт оставшихся технологических размеров: Из технологической цепи, находим размер A_{D42} :

 $A_{D42\,\mathrm{min}} = z_{D42\,\mathrm{min}} = 0.05\,\mathrm{MM}$, так как равны минимальные значения припуска на обработку и технологический размер, то удаление минимального припуска будет обеспечиваться. Затем найдём максимальное значение технологического размера A_{D42} :

$$A_{D42\,\mathrm{max}} = z_{D42\,\mathrm{min}} + TA_{D42} = 0.05 + 0.107 = 0.112\,\mathrm{MM}$$
 .

Рассчитаем среднее значение технологического размера:

$$A^c_{D42} = \frac{A_{D42\,\mathrm{min}} + A_{D42\,\mathrm{max}}}{2} = \frac{0.05 + 0.112}{2} = 0.08\,\mathrm{1}$$
 m.

Расчет производиться аналогично для следующих технологических размеров:

$$A_{D44\,\mathrm{min}} = z_{\mathrm{min}D44} = 2z_{\mathrm{min}D44} = 0.05\,\mathrm{mm}$$

$$A_{D42\,\mathrm{min}} = z_{\mathrm{min}D42} = 2z_{\mathrm{min}D42} = 0.05\,\mathrm{mm}$$

$$A_{D43\,\mathrm{min}} = z_{\mathrm{min}D43} = 2z_{\mathrm{min}D43} = 0.05\,\mathrm{mm}$$

$$A_{D45\,\mathrm{min}} = z_{\mathrm{min}D45} = 2z_{\mathrm{min}D45} = 0.05\,\mathrm{mm}$$

Последовательно рассмотрим размерные цепи для нахождения всех технологических размеров рис. 20. При расчёте числовых значений технологических размеров воспользуемся методом средних значений, при котором в цепи известны предельные значения составляющих звеньев и допуск на замыкающее (искомое) звено. Размера, не относящиеся ни к размерам валов, ни к отверстиям, записываются в виде $A_{ij} = A^c{}_{ij} \pm \frac{TA_{ij}}{2}$.

Рассмотрим рис. 21, из которого по средним значениям составляющих звеньев и минимальному припуску на обработку рассчитаем номинальные и предельные значения технологических размеров.

Размерный анализ на этом закончен. Все осевые технологические размеры для удобства чтения и идентификации сведены в табл.10.

Таблица 10

		Номинальное
Обозначение технологического размера на размерной схеме	Среднее значение технологического размера	значение и
		предельные
		отклонения
		технологического
		размера
A ₁₁	5.65	5 ^{+1.3}
A_{12}	246,65	246,5+0.3
A_{13}	117,34	117 ^{+0.4} _{∓0.28}
A_{14}	22,25	22 ^{+0.3} _{+0.2}
A_{15}	0.5	0.5 x45 ⁰
A_{16}	2	2 x45 ⁰
A^*_{17}	1,113	1,113 x45 ⁰
A_{18}	1	1 x45 ⁰
A_{19}	4.25	4+0.5
$A_{1.10}$	0.5	0.5x45 ⁰
A _{1.11}	629,5	360-1.0
A_{21}	626	625,5 _{-1.0}
A_{22}	310,15	310+0.3
A_{23}	143,75	$144^{-0.1}_{-0.4}$
A_{24}	61,75	$62^{-0.1}_{-0.4}$
A_{25}	45.98	46 _{-0.2}
A_{26}	13.98	14 _{-0.2}
A_{27}	0.5	0.5 x45 ⁰

A_{28}	4,25	4 ^{+0.5}
A_{29}	4	4±0,6
A_{210}	0.5	0.5 x45 ⁰
A _{2.11}	2	2 x5 ⁰
$A^*_{2.12}$	1,113	1,113x45 ⁰
$A_{2.13}$	1	1 x45 ⁰
$A_{2.14}$	100	100±0.1
$A_{2.15}$	23	23±0.1
A ₂₁₆	100	100±0.1
$A_{2.17,}$	24	24±0.1
$A_{2.18}$	19	19±0.2
A_{31}	14,35	14 ^{+0.7}
A_{32}	5.35	5.5 _{-0.3}
A_{41}	14,0025	14 ^{+,15} _{-1.0}
A_{42}	90,34	90+0.4
A_{43}	100	100+1.0
A_{44}	23	23+1.0
A_{45}	10	10+1.0
A_{46}	82,2	82 ^{+0.4}
A_{47}	100	100+1.0
A_{48}	33	33+1.0
A^* 49	1	1 x45 ⁰
A^* 4.10	1	1 x45 ⁰

6 Выбор технологического оборудования

Металлообрабатывающее оборудование выбирается из источника [4]. Станки должны обеспечивать заданное качество при обработки деталей, точность изготовления, иметь достаточную производительность. Предложенный маршрут обработки подразумевает в рамках данной разрабатываемой технологии использование станков с ЧПУ, что в достаточной степени автоматизирует изготовление детали. Оборудование выбрано из [4]. Инструмент выбран из [6].

Для отрезной операции:

Ленточно-отрезной станок по металлу PMS 250 ANS

Характеристики:

Размер заготовки пакетов, мм	150-250 x 100-150
Размер полотна, мм	3505 x 0,9 x 27
Скорость пилы, м/мин	22-75
Мин.остаток заготовки, мм	50
Мин.остаток заготовки(пакет.резка)), мм 170
Мин.ход тисков, мм	10
Подача заготовки, шаг, мм	400
Привод полотна, кВт	2,2
Масса, кг	1430 / 1570

Для токарной операции:

Токарный станок с ЧПУ модели 160НТ

Характеристики:

Наибольший диаметр обработки, мм	200
Наибольшая длина обработки, мм	120
Наибольший диаметр прутка, мм	50

Диапазон частот вращения шпинделя (бесступенчатое регулирование),

об/мин 5...5000

Предельные рабочие подачи, мм/мин. 1...15000

Дискретность рабочих перемещений, мм 0,001

Мощность привода главного движения, кВт 14

Для фрезерной операции назначен фрезерный станок с ЧПУ.

Фрезерный станок с ЧПУ модели КМ-80

Характеристики:

Размер рабочей поверхности стола, мм 305х1270

Наибольшее перемещение стола, мм

продольное 800

поперечное 500

вертикальное(установочное) 500

Частота вращения шпинделя, мин⁻¹ 50-6000

Пределы подач стола, мм/мин

продольной и поперечной 1-10000

вертикальной 1-10000

Мощность двигателя главного привода, кВт 5,5

Масса, кг 2200

Для круглошлифовальной операции, назначим из [5]:

Круглошлифовальный станок модели 3М175

Характеристики:

Размеры устанавливаемой заготовки, тах, мм:

- диаметр / длина400/2800

Размеры шлифования, тах, мм:

- диаметр / длина400/2520

Масса устанавливаемой заготовки, тах, мм 1000-15

2800 Длина перемещения стола, тах, мм 210 Высота центров над столом, мм Класс точности по ГОСТ 8 П Конус в шпинделе передней и пиноли задней бабок по ГОСТ 25557 Морзе 6 Конец шлифовального шпинделя по ГОСТ 2323 (конусность 1:5), мм: 100h11 - номинальный диаметр 110f7 - диаметр опорных шеек Размеры шлифовального круга, тах, мм: - диаметр наружный / внутренний 750/305 80 - высота Частота вращения шпинделя шлифовальной бабки, мин-1 1270 Частота вращения заготовки (регулир-ся бесступенчато), мин-1: 180 - наибольшая 20 - наименьшая 50 Окружная скорость шлифовального круга, м/с Угол поворота верхнего стола, тах, градус: 2/4 - по час.стрелке/против час. стрелки Точность цилиндрических поверхностей образца, мкм: 1 -круглость в центрах 1,6 -круглость в патроне Шероховатость обработанных поверхностей образцов-изделий, Ra, 0.16 -цилиндрической наружной

Суммарная мощность эл/двигателей, кВт

26,19;

7 Расчёты режимов резания

К основным рабочим характеристикам, напрямую влияющим на процесс получения поверхностного слоя детали в процессе удаления слоя материала путём резания, относятся скорость резания, подача (заготовки или инструмента) и глубина резания. Все остальные характеристики, так или иначе, вытекают из описанных выше. В данном учебном проекте рассчитываются следующие величины: скорость резания, подача, силы, возникающие при резании и требуемая мощность для выполнения операции резания, а для фрезерования и шлифования – крутящий момент на шпинделе станка.

На некоторых переходах производиться снятие припуска за несколько этот факт поэтому следует учесть. Настройка режущего обработку производиться инструмента на ПО среднему значению фактического припуска. Методика расчетов представлена в источнике [6, стр. 261-300]. Логичнее будет начать рассматривать последовательно каждый переход, двигаясь от принятого размера проката заготовки на токарной операции.

Далее в пояснительной записке изложен последовательный расчёт режимов резания для двух токарных операций. Там, где удаление напуска происходит за несколько проходов, напуск разбивается на проходы и расчёт производиться на черновой операции для более грубого значения припуска. Для удобства чтения расчёт режимов резания разделён по блокам: в первом блоке подсчитываются режимы резания для черновой обработки, потом на чистовом проходе контурного точения, далее по маршруту обрабатываются шпоночные пазы и завершать расчёты будут параметры резания при шлифовании. последнем пункте будет произведён расчёт ДЛЯ заготовительной операции.

7.1 Расчёт режимов резания при точении

Инструмент для черновой обработки: резец проходной с квадратной пластиной по ГОСТ 24247-80. Материал и параметры режущей части Т15К6 $\varphi = 90^{\circ}$, $\gamma = 10^{\circ}$, $\lambda = 0^{\circ}$, $\alpha = 10^{\circ}$, r = 1.0 мм.

Инструмент для чистовой обработки: проходной с ромбической пластиной по ГОСТ 24247-80. Материал и параметры режущей части Т15К6 $\varphi = 90^{\circ}$, $\gamma = 10^{\circ}$, $\lambda = 0^{\circ}$, $\alpha = 10^{\circ}$, r = 1.0 мм.

Скорость резания при наружном точении из [6, стр. 265]:

$$\upsilon = \frac{C_{\upsilon}}{T^m t^x s^y} K_{\upsilon}, \text{ м/мин (1)}$$

где C_{υ} , m, x, y - коэффициенты из [6, 269 табл. 17];

T - период стойкости инструмента, мин; для токарных операций T=20*мин*;

t - глубина резания, мм;

s - подача, мм/об.

 K_{υ} - произведение коэффициентов, то есть

$$K_{\scriptscriptstyle U} = K_{\scriptscriptstyle M \scriptscriptstyle U} K_{n \scriptscriptstyle U} K_{u \scriptscriptstyle U} \ (2);$$

 $K_{m\nu}$ - коэффициент, учитывающий материал заготовки из [6, стр. 261-263 табл. 1-4];

 $K_{n\upsilon}$ - коэффициент, учитывающий состояние поверхности из [6, стр. 263 табл. 5];

 K_{uv} - коэффициент, учитывающий материал инструмента из [6, стр. 263 табл. 6].

Из [6, стр. 261-263 табл. 1-6]:

$$K_{MU} = K_{\Gamma} \left(\frac{750}{\sigma_B}\right)^{n_U}$$
, (3)

где σ_{R} - предел выносливости материала, МПа;

 K_{Γ} - коэффициент, характеризующий группу обрабатываемости из [6, стр. 262 табл. 2];

 n_{υ} - показатель степени для группы обрабатываемости материалов из [6, стр. 262 табл. 2].

Силу резания принято раскладывать на составляющие силы, направленные по осям координат станка (тангенциальную P_z , радиальную P_y и осевую P_x). В данной работе будет рассчитана сила P_z , с дальнейшей целью определения затрачиваемой мощности N. Сила резания рассчитывается по формуле из [6, стр. 271]:

$$P_z = 10C_p t^x s^y v^n K_p, H (4)$$

где C_p - постоянный коэффициент;

 K_p - поправочный коэффициент, который находиться как:

$$K_p = K_{Mp} K_{qp} K_{pp} K_{\lambda p} K_{rp}, (5)$$

Коэффициент K_{rp} не учитывается, так как обработка происходит твёрдым сплавом. Численные значения коэффициентов, входящих в формулу (5),

даны в[6, стр. 264-265, 275]. $K_{mp} = \left(\frac{\sigma_{e}}{750}\right)^{n}$. При обработке конструкционной

стали твёрдым сплавом
$$n=0.75$$
, то есть $K_{mp}=\left(\frac{\sigma_{\scriptscriptstyle \mathcal{B}}}{750}\right)^n=\left(\frac{690}{750}\right)^{0.75}=0.94$.

Мощность резания рассчитывается по формуле из [6, стр. 271]:

$$N = \frac{P_z \upsilon}{1020 \cdot 60}$$
, кВт (6).

7.1.1 Расчёт режимов резания на черновых переходах токарных операций

а) Точение заготовки с проката до диаметра Ø 50 h14 $_{-0.62}$ мм напроход по маршруту операция 010, переход 3.

Здесь удаление напуска происходит за один проход, после чего не предусматривается чистовая обработка данного участка. Напуск на

обработку из пункта 4.2 $2z^{\phi}_{D01} = 2^{+1,02}_{-0,7}$ мм , где $z^{\phi}_{D01} = 1^{+0,51}_{-0,35}$ мм и $z^{c}_{D01} = 1,08$ мм , фактически $t = z^{c}_{D01} = 1,08$ мм

По рекомендациям из [6, стр. 266 табл. 11] подача s = 0.9 мм/oб. Инструментальный материал резца Т15К6, назначим по [6, 269 табл. 17] в зависимости от подачи:

$$C_D = 340 \ m = 0.20 \ x = 0.15 \ y = 0.45$$

 $\sigma_B = 690 M\Pi a$ для Стали 45;

 K_{Γ} = 1,0 для материала резца из твёрдого сплава;

$$n_{v} = 1.0$$

Подставим в (3):

$$K_{MU} = K_{\Gamma} \left(\frac{750}{\sigma_B}\right)^{n_U} = 1.0 \left(\frac{750}{690}\right)^{1.0} = 1.087$$
.

Назначаем коэффициенты:

 $K_{n\nu}$ = 1.0 без корки;

$$K_{uv} = 1.0$$

Подставляем в формулу (2): $K_{\mathcal{O}} = K_{\mathcal{M}\mathcal{O}} K_{\mathcal{H}\mathcal{O}} K_{\mathcal{U}\mathcal{O}} = 1.087 \cdot 1.0 \cdot 1.0 = 1.087$.

Подставляем в (1):

$$\upsilon = \frac{C_{\upsilon}}{T^m t^x s^y} K_{\upsilon} = \frac{340}{20^{0.20} \cdot 1.08^{0.15} \cdot 0.9^{0.45}} 1.087 = \frac{340}{1.82 \cdot 1.01 \cdot 0.95} 1.087 = 211.64 \, \text{м/мин} \; .$$

Необходимая частота вращения шпинделя:

$$n = \frac{1000 \cdot v}{\pi \cdot d}, (4)$$

где d - обрабатываемый диаметра заготовки, мм.

Все значения найдены, подставляем в (4):

$$n = \frac{1000 \cdot \upsilon}{\pi \cdot d} = \frac{1000 \cdot 211.64}{3.14 \cdot 52} = 1531 \text{мин}^{-1}$$

Так как станок имеет бесступенчатое регулирование скоростей, топринимаем фактическое число оборотов:

$$n = 1530 \ мин^{-1}$$

Тогда действительная скорость резания с учётом $n = 1530 \text{ мин}^{-1}$:

$$\upsilon = \frac{\pi \cdot d \cdot n}{1000} = \frac{3.14 \cdot 52 \cdot 1530}{1000} = 211.38 \text{m/muh}.$$

Назначим коэффициенты и рассчитаем поправочный коэффициент K_p :

$$K_p = 0.94 \cdot 1.0 \cdot 1.0 \cdot 1.0 = 0.94$$
.

Найдём силу резания, подставив значения в:

$$P_z = 10C_p t^x s^y v^n K_p = 10 \cdot 300 \cdot 1.08^{1.0} \cdot 0.9^{0.75} \cdot 211.38^{-0.15} \cdot 0.94 = 3240 \cdot 0.92 \cdot 0.45 = 1341H$$

Тогда мощность, необходимая на черновое точение:

$$N = \frac{P_z \upsilon}{1020 \cdot 60} = \frac{1341 \cdot 211,38}{61200} = 4,63 \kappa Bm.$$

Выбранный в разделе 6 токарный станок обеспечит необходимую мощность.

б) Черновое точение ступени вала на диаметре Ø 44,1 $^{-0.08}_{-0.24}$ мм по маршруту операция 010, переход 6.

Здесь удаление напуска производиться за 1 проход, после чего будет произведено чистовое точение и шлифование. Напуск на обработку из пункта 4.3.1:

$$2z_{D12}=5^{+0.6}_{-0.7}\,{\rm MM}$$
 , $z_{D12}=2.5^{+0.3}_{-0.35}\,{\rm MM}$ И $z^c{}_{D12}=2.525{\rm MM}$, фактически $t=z^c{}_{D12}=2.525{\rm MM}$

По рекомендациям из [6, стр. 266 табл. 11] подача s = 0.8 мм/об. Инструментальный материал резца Т15К6, назначим по [6, 269 табл. 17] в зависимости от подачи:

$$C_{v} = 340 \ m = 0.20 \ x = 0.15 \ y = 0.45$$

 $\sigma_B = 690 \, M\Pi a \,$ для Стали 45;

 $K_{\Gamma} = 1,0\,$ для материала резца из твёрдого сплава;

$$n_{\scriptscriptstyle \mathcal{V}} = 1.0$$

Подставим в (3):

$$K_{MU} = K_{\Gamma} \left(\frac{750}{\sigma_B}\right)^{n_U} = 1.0 \left(\frac{750}{690}\right)^{1.0} = 1.087$$
.

Назначаем коэффициенты:

 $K_{n\nu} = 1.0$ без корки;

$$K_{uv} = 1.0$$

Подставляем в формулу (2): $K_{\upsilon} = K_{M\upsilon} K_{n\upsilon} K_{u\upsilon} = 1.087 \cdot 1.0 \cdot 1.0 = 1.087$.

Подставляем в (1):

$$\upsilon = \frac{C_{\upsilon}}{T^m t^x s^y} K_{\upsilon} = \frac{340}{20^{0.20} \cdot 4.925^{0.15} \cdot 0.8^{0.45}} 1.087 = \frac{340}{1.82 \cdot 1.23 \cdot 0.90} 1.087 = 182.53 \text{m/muh.}$$

Все значения найдены, подставляем в (4):

$$n = \frac{1000 \cdot \upsilon}{\pi \cdot d} = \frac{1000 \cdot 182.53}{3.14 \cdot 45} = 1384 \text{мин}^{-1}$$

Так как станок имеет бесступенчатое регулирование скоростей, то принимаем фактическое число оборотов:

Тогда действительная скорость резания с учётом $n = 1380 \, \text{мин}^{-1}$:

$$\upsilon = \frac{\pi \cdot d \cdot n}{1000} = \frac{3.14 \cdot 45 \cdot 1380}{1000} = 182 \text{M} / \text{MUH}.$$

Назначим коэффициенты и рассчитаем поправочный коэффициент K_p :

$$K_p = 0.94 \cdot 1.0 \cdot 1.0 \cdot 1.0 = 0.94$$
.

Найдём силу резания, подставив значения в:

$$P_z = 10C_p t^x s^y \upsilon^n K_p = 10 \cdot 300 \cdot 4.925^{1.0} \cdot 0.8^{0.75} \cdot 182^{-0.15} \cdot 0.94 = 11775 \cdot 0.85 \cdot 0.46 = 4604H.$$

Тогда мощность, необходимая на черновое точение:

$$N = \frac{P_z \upsilon}{1020.60} = \frac{4604.182}{61200} = 13.69 \kappa Bm.$$

Выбранный в разделе 6 токарный станок обеспечит необходимую мощность.

в) Черновое точение ступени вала на диаметре Ø $38_{+0.3}^{+0.5}$ мм по маршруту операция 010, переход 7.

Здесь удаление напуска производиться за 1 проход, после чего будет произведена чистовое точение и шлифование. Напуск на обработку из пункта 4.3.2:

 $2z_{D13}=9\pm0.2$ мм , $z_{D13}=31.5\pm0.1$ мм и $z^c_{D13}=3$ мм , что фактически $t=z_{D13}=3$ мм .

По рекомендациям из [6, стр. 266 табл. 11] подача s = 0.5 мм/об. Инструментальный материал резца Т15К6, назначим по [6, 269 табл. 17] в зависимости от подачи:

$$C_D = 310 \ m = 0.20 \ x = 0.15 \ y = 0.35$$

 $\sigma_R = 690 M\Pi a$ для Стали 45;

 $K_{\Gamma} = 1,0$ для материала резца из твёрдого сплава;

 $n_{ij} = 1.0$

Подставим в (3):

$$K_{MU} = K_{\Gamma} \left(\frac{750}{\sigma_B}\right)^{n_U} = 1.0 \left(\frac{750}{690}\right)^{1.0} = 1.087$$
.

Назначаем коэффициенты:

 $K_{n\nu} = 1.0$ без корки;

$$K_{uv} = 1.0$$

Подставляем в формулу (2): $K_{\mathcal{D}} = K_{\mathcal{M}\mathcal{D}} K_{\mathcal{N}\mathcal{D}} K_{\mathcal{U}\mathcal{D}} = 1.087 \cdot 1.0 \cdot 1.0 = 1.087$.

Подставляем в (1):

$$\upsilon = \frac{C_{\upsilon}}{T^m t^x s^y} K_{\upsilon} = \frac{310}{20^{0.20} \cdot 3^{0.15} \cdot 0.5^{0.35}} 1.087 = \frac{310}{1.82 \cdot 1.06 \cdot 0.78} 1.087 = 223.9 \text{м/мин}.$$

Все значения найдены, подставляем в (4):

$$n = \frac{1000 \cdot \upsilon}{\pi \cdot d} = \frac{1000 \cdot 223.9}{3.14 \cdot 39} = 2037 \text{MuH}^{-1}$$

Так как станок имеет бесступенчатое регулирование скоростей, то принимаем фактическое число оборотов:

$$n = 2030 \$$
мин $^{-1}$

Тогда действительная скорость резания с учётом $n = 2030 \text{ мин}^{-1}$:

$$\upsilon = \frac{\pi \cdot d \cdot n}{1000} = \frac{3.14 \cdot 39 \cdot 2030}{1000} = 223.1 \text{м/мин}.$$

Назначим коэффициенты и рассчитаем поправочный коэффициент K_p :

$$K_p = 0.94 \cdot 1.0 \cdot 1.0 \cdot 1.0 = 0.94$$
.

Найдём силу резания, подставив значения в:

$$P_z = 10C_p t^x s^y v^n K_p = 10 \cdot 300 \cdot 3^{1.0} \cdot 0.5^{0.75} \cdot 223.1^{-0.15} \cdot 0.94 = 4500 \cdot 0.59 \cdot 0.44 = 1168H.$$

Тогда мощность, необходимая на черновое точение:

$$N = \frac{P_z \upsilon}{1020.60} = \frac{1168.223.1}{61200} = 4.25 \kappa Bm.$$

г) Черновое точение ступени вала на диаметре $Ø30^{+0.6}_{+0.4}$ мм по маршруту операция 010, переход 8.

Здесь удаление напуска производиться за 1 проход, после чего будет произведено чистовое точение и шлифование. Напуск на обработку из пункта 4.3.3:

$$2z_{D14}=8\pm0.2$$
ми , $z_{D14}=4\pm0.1$ ми и $z^{c}_{D14}=4$ мм , фактически $t=z^{c}_{D14}=4$ мм

По рекомендациям из [6, стр. 266 табл. 11] подача s = 0.5 мм/oб. Инструментальный материал резца Т15К6, назначим по [6, 269 табл. 17] в зависимости от подачи:

$$C_{\mathcal{V}} = 310 \ m = 0.20 \ x = 0.15 \ y = 0.35$$

 $\sigma_B = 690 M\Pi a$ для Стали 45;

 $K_{\Gamma} = 1,0$ для материала резца из твёрдого сплава;

$$n_U = 1.0$$

Подставим в (3):

$$K_{MU} = K_{\Gamma} \left(\frac{750}{\sigma_B}\right)^{n_U} = 1.0 \left(\frac{750}{690}\right)^{1.0} = 1.087$$
.

Назначаем коэффициенты:

 $K_{n\nu}$ = 1.0 без корки;

$$K_{uv} = 1.0$$

Подставляем в формулу (2): $K_{\upsilon} = K_{M\upsilon} K_{n\upsilon} K_{u\upsilon} = 1.087 \cdot 1.0 \cdot 1.0 = 1.087$.

Подставляем в (1):

$$\upsilon = \frac{C_{\upsilon}}{T^m t^x s^y} K_{\upsilon} = \frac{310}{20^{0.20} \cdot 4^{0.15} \cdot 0.5^{0.35}} 1.087 = \frac{310}{1.82 \cdot 0.99 \cdot 0.78} 1.087 = 239.2 \text{M/Muh} \,.$$

Все значения найдены, подставляем в (4):

$$n = \frac{1000 \cdot \upsilon}{\pi \cdot d} = \frac{1000 \cdot 239.2}{3.14 \cdot 31} = 2380 \text{мин}^{-1}$$

Назначим коэффициенты и рассчитаем поправочный коэффициент K_p :

$$K_p = 0.94 \cdot 1.0 \cdot 1.0 \cdot 1.0 = 0.94$$
.

Найдём силу резания, подставив значения в:

$$P_z = 10C_p t^x s^y \upsilon^n K_p = 10 \cdot 300 \cdot 4^{1.0} \cdot 0.5^{0.75} \cdot 239.2^{-0.15} \cdot 0.94 = 2850 \cdot 0.59 \cdot 0.44 = 740H.$$

Тогда мощность, необходимая на черновое точение:

$$N = \frac{P_z \upsilon}{1020.60} = \frac{740.239.2}{61200} = 2.89 \kappa Bm.$$

Выбранный в разделе 6 токарный станок обеспечит необходимую мощность.

Вторая токарная операция:

д) Черновое точение ступени вала на диаметре Ø 44, $1^{-0.08}_{-0.24}$ мм по маршруту операция 010, переход 6.

Здесь удаление напуска производиться за 1 проход, после чего будет произведено чистовое точение и шлифование. Напуск на обработку из пункта 4.3.1:

$$2z_{D12}=5^{+0.6}_{-0.7}\,{\rm MM}$$
 , $z_{D12}=2.5^{+0.3}_{-0.35}\,{\rm MM}$ и $z^c{}_{D12}=2.525{\rm MM}$, фактически $t=z^c{}_{D12}=2.525{\rm MM}$

По рекомендациям из [6, стр. 266 табл. 11] подача s = 0.8 мм/oб. Инструментальный материал резца Т15К6, назначим по [6, 269 табл. 17] в зависимости от подачи:

$$C_{v} = 340 \ m = 0.20 \ x = 0.15 \ y = 0.45$$

 σ_B = 690 *МПа* для Стали 45;

 $K_{\Gamma} = 1,0\,$ для материала резца из твёрдого сплава;

$$n_{\scriptscriptstyle \mathcal{V}}=1.0$$

Подставим в (3):

$$K_{MU} = K_{\Gamma} \left(\frac{750}{\sigma_B}\right)^{n_U} = 1.0 \left(\frac{750}{690}\right)^{1.0} = 1.087$$
.

Назначаем коэффициенты:

 $K_{n\nu} = 1.0$ без корки;

$$K_{uv} = 1.0$$

Подставляем в формулу (2): $K_{\upsilon} = K_{M\upsilon} K_{n\upsilon} K_{u\upsilon} = 1.087 \cdot 1.0 \cdot 1.0 = 1.087$.

 Π одставляем в (1):

$$\upsilon = \frac{C_{\upsilon}}{T^m t^x s^y} K_{\upsilon} = \frac{340}{20^{0.20} \cdot 4.925^{0.15} \cdot 0.8^{0.45}} 1.087 = \frac{340}{1.82 \cdot 1.23 \cdot 0.90} 1.087 = 182.53 \text{m/muh.}$$

Все значения найдены, подставляем в (4):

$$n = \frac{1000 \cdot \upsilon}{\pi \cdot d} = \frac{1000 \cdot 182.53}{3.14 \cdot 45} = 1384 \text{MuH}^{-1}$$

Так как станок имеет бесступенчатое регулирование скоростей, то принимаем фактическое число оборотов:

$$n = 1380 \text{ MuH}^{-1}$$

Тогда действительная скорость резания с учётом $n = 1380 \text{ мин}^{-1}$:

$$\upsilon = \frac{\pi \cdot d \cdot n}{1000} = \frac{3.14 \cdot 45 \cdot 1380}{1000} = 182 \text{M} / \text{MUH}.$$

Назначим коэффициенты и рассчитаем поправочный коэффициент K_p :

$$K_p = 0.94 \cdot 1.0 \cdot 1.0 \cdot 1.0 = 0.94$$
.

Найдём силу резания, подставив значения в:

$$P_z = 10C_p t^x s^y \upsilon^n K_p = 10 \cdot 300 \cdot 4.925^{1.0} \cdot 0.8^{0.75} \cdot 182^{-0.15} \cdot 0.94 = 11775 \cdot 0.85 \cdot 0.46 = 4604H.$$

Тогда мощность, необходимая на черновое точение:

$$N = \frac{P_z \upsilon}{1020.60} = \frac{4604.182}{61200} = 13.69 \kappa Bm.$$

Выбранный в разделе 6 токарный станок обеспечит необходимую мощность.

е) Черновое точение ступени вала на диаметре Ø $38_{+0.3}^{+0.5}$ мм по маршруту операция 2 0, переход 4.

Здесь удаление напуска производиться за 1 проход, после чего будет произведена чистовое точение и шлифование. Напуск на обработку из пункта 4.3.2:

$$2z_{D13}=9\pm0.2$$
мм , $z_{D13}=31.5\pm0.1$ мм и $z^{c}_{D13}=3$ мм , что фактически $t=z_{D13}=3$ мм .

По рекомендациям из [6, стр. 266 табл. 11] подача s = 0.5 мм/об. Инструментальный материал резца Т15К6, назначим по [6, 269 табл. 17] в зависимости от подачи:

$$C_D = 310 \ m = 0.20 \ x = 0.15 \ y = 0.35$$

 $\sigma_B = 690 M\Pi a$ для Стали 45;

 K_{Γ} = 1,0 для материала резца из твёрдого сплава;

$$n_{\rm D} = 1.0$$

Подставим в (3):

$$K_{MU} = K_{\Gamma} \left(\frac{750}{\sigma_B}\right)^{n_U} = 1.0 \left(\frac{750}{690}\right)^{1.0} = 1.087$$
.

Назначаем коэффициенты:

 $K_{n\nu}$ = 1.0 без корки;

$$K_{uv} = 1.0$$

Подставляем в формулу (2): $K_{\upsilon} = K_{M\upsilon} K_{n\upsilon} K_{u\upsilon} = 1.087 \cdot 1.0 \cdot 1.0 = 1.087$.

Подставляем в (1):

$$\upsilon = \frac{C_{\upsilon}}{T^m t^x s^y} K_{\upsilon} = \frac{310}{20^{0.20} \cdot 3^{0.15} \cdot 0.5^{0.35}} 1.087 = \frac{310}{1.82 \cdot 1.06 \cdot 0.78} 1.087 = 223.9 \text{м/ мин} \,.$$

Все значения найдены, подставляем в (4):

$$n = \frac{1000 \cdot \upsilon}{\pi \cdot d} = \frac{1000 \cdot 223.9}{3.14 \cdot 39} = 2037 \text{мин}^{-1}$$

Так как станок имеет бесступенчатое регулирование скоростей, то принимаем фактическое число оборотов:

$$n = 2030 \$$
мин $^{-1}$

Тогда действительная скорость резания с учётом $n = 2030 \text{ мин}^{-1}$:

$$\upsilon = \frac{\pi \cdot d \cdot n}{1000} = \frac{3.14 \cdot 39 \cdot 2030}{1000} = 223.1 \text{м/ мин}.$$

Назначим коэффициенты и рассчитаем поправочный коэффициент K_p :

$$K_p = 0.94 \cdot 1.0 \cdot 1.0 \cdot 1.0 = 0.94$$
.

Найдём силу резания, подставив значения в:

$$P_z = 10C_p t^x s^y v^n K_p = 10 \cdot 300 \cdot 3^{1.0} \cdot 0.5^{0.75} \cdot 223.1^{-0.15} \cdot 0.94 = 4500 \cdot 0.59 \cdot 0.44 = 1168H.$$

Тогда мощность, необходимая на черновое точение:

$$N = \frac{P_z \upsilon}{1020.60} = \frac{1168.223.1}{61200} = 4.25 \kappa Bm.$$

Выбранный в разделе 6 токарный станок обеспечит необходимую мощность.

ж) Черновое точение ступени вала на диаметре Ø $30^{+0.6}_{+0.4}$ мм по маршруту операция 010, переход 8.

Здесь удаление напуска производиться за 1 проход, после чего будет произведено чистовое точение и шлифование. Напуск на обработку из пункта 4.3.3:

$$2z_{_{D14}}=8\pm0.2$$
мм , $z_{_{D14}}=4\pm0.1$ мм и $z^{c}{_{D14}}=4$ мм , фактически $t=z^{c}{_{D14}}=4$ мм

По рекомендациям из [6, стр. 266 табл. 11] подача s = 0.5 мм/об. Инструментальный материал резца Т15К6, назначим по [6, 269 табл. 17] в зависимости от подачи:

$$C_D = 310 \ m = 0.20 \ x = 0.15 \ y = 0.35$$

 $\sigma_R = 690 M\Pi a$ для Стали 45;

 $K_{\Gamma} = 1,0$ для материала резца из твёрдого сплава;

$$n_D = 1.0$$

Подставим в (3):

$$K_{MU} = K_{\Gamma} \left(\frac{750}{\sigma_B}\right)^{n_U} = 1.0 \left(\frac{750}{690}\right)^{1.0} = 1.087$$
.

Назначаем коэффициенты:

 $K_{n\nu} = 1.0$ без корки;

$$K_{uv} = 1.0$$

Подставляем в формулу (2): $K_D = K_{MD} K_{ND} K_{UD} = 1.087 \cdot 1.0 \cdot 1.0 = 1.087$.

Подставляем в (1):

$$\upsilon = \frac{C_{\upsilon}}{T^m t^x s^y} K_{\upsilon} = \frac{310}{20^{0.20} \cdot 4^{0.15} \cdot 0.5^{0.35}} 1.087 = \frac{310}{1.82 \cdot 0.99 \cdot 0.78} 1.087 = 239.2 \text{м/ мин} .$$

Все значения найдены, подставляем в (4):

$$n = \frac{1000 \cdot \upsilon}{\pi \cdot d} = \frac{1000 \cdot 239.2}{3.14 \cdot 31} = 2380 \text{мин}^{-1}$$

Назначим коэффициенты и рассчитаем поправочный коэффициент K_p :

$$K_p = 0.94 \cdot 1.0 \cdot 1.0 \cdot 1.0 = 0.94$$
.

Найдём силу резания, подставив значения в:

$$P_z = 10C_p t^x s^y \upsilon^n K_p = 10 \cdot 300 \cdot 4^{1.0} \cdot 0.5^{0.75} \cdot 239.2^{-0.15} \cdot 0.94 = 2850 \cdot 0.59 \cdot 0.44 = 740H.$$

Тогда мощность, необходимая на черновое точение:

$$N = \frac{P_z \upsilon}{1020.60} = \frac{740.239.2}{61200} = 2.89 \kappa Bm.$$

Выбранный в разделе 6 токарный станок обеспечит необходимую мощность.

Выбранный в разделе 6 токарный станок обеспечит необходимую мощность.

Так как обработка будет производиться по заранее подготовленной программе в автоматическом режиме, то изменения в значениях скоростей, подач и глубин резания вносятся непосредственно в программный код управляющей программы, с учётом тех рекомендаций, что рассчитаны и изложены выше.

7.1.2 Расчёт режимов резания на чистовых переходах токарных операций

Кардинальное отличие чистовой обработки от черновой заключается в ряде особенностей, которые необходимо учитывать при расчёте режимов резания. Подача выбирается значительно меньше по величине, с целью обеспечения требуемого качества обрабатываемой поверхности после чистового точения, а вот скорость резания наоборот повышают. Алгоритм расчётов аналогичен последовательности расчетов режимов резания как при черновом точении.

Так как происходит чистовая контурная обработка на токарном станке с ЧПУ, то на каждой обрабатываемой ступени вала по программе можно менять значение частоты вращения заготовки и подачи инструмента, Технологу программисту следует учитывать тот факт, что при переходе на точении следующей ступени и увеличении скорости вращения шпинделя, инструменту необходимо задать временную остановку, пока станок не разгонится до нужной частотывращения, а потом производить точение по программе. По чертежу детали задано, ЧТО наименьшее шероховатости Ra=0,8. Из [6, стр. 268 табл. 14] будет выбраться значение подачи для достижения требуемой шероховатости.

а) Чистовое точение ступени вала на диаметре $Ø30_{+0.4}^{+0.6}$ мм по маршруту операция 010, переход 9, 020 переход 11.

Здесь удаление напуска производиться за 1 проход, после чего будет произведено шлифование. Напуск на обработку из пункта 4.3.1:

 $2z^{c}_{D18} = 0.67$ мм, фактически на сторону $t = z^{c}_{D18} = z^{c}_{D2.12} = 0.335$ мм.

По рекомендациям из [6, стр. 268 табл. 14] для шероховатости Ra=0,8 и радиуса при вершине резца r=1,0 мм подача s=0.12мм/об. Инструментальный материал резца T15К6, назначим по [6, 269 табл. 17] в зависимости от подачи:

$$C_{U} = 420 \ m = 0.20 \ x = 0.15 \ y = 0.10$$

 $\sigma_B = 690 \, M\Pi a \,$ для Стали 45;

 K_{Γ} = 1,0 для материала резца из твёрдого сплава;

$$n_{v} = 1.0$$

Подставим в (3):

$$K_{MU} = K_{\Gamma} \left(\frac{750}{\sigma_{R}}\right)^{n_{U}} = 1.0 \left(\frac{750}{690}\right)^{1.0} = 1.087$$
.

Назначаем коэффициенты:

 $K_{n\nu} = 1.0$ без корки;

$$K_{uv} = 1.0$$

Подставляем в формулу (2): $K_D = K_{MD}K_{ND}K_{UD} = 1.087 \cdot 1.0 \cdot 1.0 = 1.087$.

Подставляем в (1):

$$\upsilon = \frac{C_{\upsilon}}{T^m t^x s^y} K_{\upsilon} = \frac{420}{20^{0.20} \cdot 0.335^{0.15} \cdot 0.12^{0.10}} 1.087 = \frac{420}{1.82 \cdot 0.85 \cdot 0.81} 1.087 = 364 \, \text{м/мин} \; .$$

Все значения найдены, подставляем в (4):

$$n = \frac{1000 \cdot \upsilon}{\pi \cdot d} = \frac{1000 \cdot 364}{3.14 \cdot 30} = 3312 \text{MuH}^{-1}$$

Так как станок имеет бесступенчатое регулирование скоростей, то принимаем фактическое число оборотов:

$$n = 3310 \text{ mum}^{-1}$$

Тогда действительная скорость резания с учётом $n = 3310 \text{ мин}^{-1}$:

$$\upsilon = \frac{\pi \cdot d \cdot n}{1000} = \frac{3.14 \cdot 35 \cdot 3310}{1000} = 363 \text{м/мин}.$$

Назначим коэффициенты и рассчитаем поправочный коэффициент K_p :

$$K_p = 0.94 \cdot 0.89 \cdot 1.0 \cdot 1.0 = 0.84$$
.

Найдём силу резания, подставив значения в:

$$P_z = 10C_p t^x s^y v^n K_p = 10 \cdot 300 \cdot 0.335^{1.0} \cdot 0.12^{0.75} \cdot 363^{-0.15} \cdot 0.84 = 994.7 \cdot 0.20 \cdot 0.41 = 77H.$$

Тогда мощность, необходимая на чистовое точение:

$$N = \frac{P_z \upsilon}{1020.60} = \frac{77.363}{61200} = 0.46 \kappa Bm.$$

6) Чистовое точение ступени вала на диаметре Ø $38_{+0.3}^{+0.5}$ мм по маршруту операция 010, переход 9, 020 переход 11.

Здесь удаление напуска производиться за 1 проход, после чего будет произведено шлифование. Напуск на обработку из пункта 4.3.2:

 $2z^c_{D17} = 0.67$ мм, фактически $t = z^c_{D17} = 0.335$ мм. Значение припуска на обработку на данной ступени численно равно $z^c_{D17} = z^c_{D2.11} = 0.335$ мм, поэтому при прочих равных условиях таких, как геометрические параметры резца, значения режимов резания будут неизменны, поэтому режимы идентичные из предыдущего подпункта, но с учётом изменения обрабатываемого диаметра:

Число оборотов $n = 3620 \text{ мин}^{-1}$;

Фактическая скорость резания $\upsilon = 363 \text{м/мин}$;

Сила резания $P_z = 77 H$;

Мощность $N = 0.46 \kappa Bm$.

в) Чистовое точение ступени вала на диаметре Ø $44,1^{-0.08}_{-0.24}$ мм по маршруту операция 010, переход 9, 020 переход 11.

Здесь удаление напуска производиться за 1 проход, после чего будет произведено шлифование. Напуск на обработку из пункта 4.3.3:

 $2z^c{}_{D16}=0.67$ мм, фактически $t=z^c{}_{D16}=0.335$ мм. Значение припуска на обработку на данной ступени численно равно $z^c{}_{D16}=z^c{}_{D16}=z^c{}_{D2.10}=0.335$ мм, поэтому при прочих равных условиях таких, как геометрические параметры резца, значения режимов резания будут неизменны, поэтому режимы идентичные из предыдущего подпункта, но с учётом изменения обрабатываемого диаметра:

Число оборотов $n = 3860 \, \text{мин}^{-1}$;

Фактическая скорость резания $\upsilon = 363 \text{м/мин}$;

Сила резания $P_z = 77 H$;

Мощность $N = 0.46 \kappa Bm$.

 Γ) Чистовое точение ступени вала на диаметре Ø 50h14 $_{-0.62}$ мм по маршруту операция 010, переход 9.,

Здесь удаление напуска производиться за 1 проход, после чего будет произведено шлифование. Напуск на обработку из пункта 4.4.1:

 $2z^{c}_{D15} = 0.36$ мм, фактически на сторону $t = z^{c}_{D15} = 0.18$ мм.

По рекомендациям из [6, стр. 268 табл. 14] для шероховатости Ra=0,8 и радиуса при вершине резца r=1,0 мм подача s=0.12мм/об. Инструментальный материал резца T15K6, назначим по [6, 269 табл. 17] в зависимости от подачи:

$$C_{v} = 420 \ m = 0.20 \ x = 0.15 \ y = 0.10$$

 $\sigma_R = 690 M\Pi a$ для Стали 45;

 $K_{\Gamma} = 1,0$ для материала резца из твёрдого сплава;

$$n_{v} = 1.0$$

Подставим в (3):

$$K_{MU} = K_{\Gamma} \left(\frac{750}{\sigma_B}\right)^{n_U} = 1.0 \left(\frac{750}{690}\right)^{1.0} = 1.087$$
.

Назначаем коэффициенты:

 $K_{n\nu} = 1.0$ без корки;

$$K_{uv} = 1.0$$

Подставляем в формулу (2): $K_{\mathcal{O}} = K_{\mathcal{M}\mathcal{O}} K_{\mathcal{H}\mathcal{O}} K_{\mathcal{U}\mathcal{O}} = 1.087 \cdot 1.0 \cdot 1.0 = 1.087$.

Подставляем в (1):

$$\upsilon = \frac{C_{\upsilon}}{T^m t^x s^y} K_{\upsilon} = \frac{420}{20^{0.20} \cdot 0.18^{0.15} \cdot 0.12^{0.10}} 1.087 = \frac{420}{1.82 \cdot 0.77 \cdot 0.81} 1.087 = 402 \, \text{м/ мин} \ .$$

Все значения найдены, подставляем в (4):

$$n = \frac{1000 \cdot \upsilon}{\pi \cdot d} = \frac{1000 \cdot 402}{3.14 \cdot 50} = 3657 \text{mu}^{-1}$$

Так как станок имеет бесступенчатое регулирование скоростей, то принимаем фактическое число оборотов:

$$n = 3650 \text{ мин}^{-1}$$

Тогда действительная скорость резания с учётом $n = 3650 \text{ мин}^{-1}$:

$$\upsilon = \frac{\pi \cdot d \cdot n}{1000} = \frac{3.14 \cdot 50 \cdot 3650}{1000} = 801 \text{M} / \text{MUH}.$$

Назначим коэффициенты и рассчитаем поправочный коэффициент K_p :

$$K_p = 0.94 \cdot 0.89 \cdot 1.0 \cdot 1.0 = 0.84$$
.

Найдём силу резания, подставив значения в:

$$P_z = 10C_p t^x s^y v^n K_p = 10 \cdot 300 \cdot 0.18^{1.0} \cdot 0.12^{0.75} \cdot 401^{-0.15} \cdot 0.84 = 453.6 \cdot 0.20 \cdot 0.41 = 370H.$$

Тогда мощность, необходимая на черновое точение:

$$N = \frac{P_z \upsilon}{1020 \cdot 60} = \frac{370 \cdot 801}{61200} = 1.24 \kappa Bm.$$

 $д^{\ }$ Чистовое точение ступени вала на диаметре $Ø\,28^{+0.3}_{+0.5}\, MM$ по маршруту операция 020, переход 11.

Здесь удаление напуска производиться за 1 проход, после чего будет произведено шлифование. Напуск на обработку из пункта 4.4.2:

 $2z^c_{D2.13} = 0.36$ мм, фактически $t = z^c_{D2.13} = 0.18$ мм. Значение припуска на обработку на данной ступени численно равно $z^c_{D2.13} = 0.18$ мм, поэтому при прочих равных условиях таких, как геометрические параметры резца, значения режимов резания будут неизменны, поэтому режимы идентичные из предыдущего подпункта, но с учётом изменения обрабатываемого диаметра:

Частота вращения $n = 4000 \, \text{мин}^{-1}$;

Фактическая скорость резания $\upsilon = 401_{M}/_{MUH}$;

Сила резания $P_z = 77 H$;

Мощность $N = 0.46 \kappa Bm$.

 e^{1}) Чистовое точение ступени вала на диаметре Ø 26,85 $_{-0.26}$ мм по маршруту операция 020, переход 11.

Здесь удаление напуска производиться за 1 проход, после чего будет произведено шлифование. Напуск на обработку из пункта 4.4.3:

 $2z^c_{D2.14} = 0.36$ мм, фактически $t = z^c_{D2.14} = 0.18$ мм. Значение припуска на обработку на данной ступени численно равно $z^c_{D2.14} = z^c_{D2.14} = 0.18$ мм, поэтому при прочих равных условиях таких, как геометрические параметры резца, значения режимов резания будут неизменны, поэтому режимы идентичные из предыдущего подпункта, но с учётом изменения обрабатываемого диаметра:

Число оборотов $n = 4270 \text{ мин}^{-1}$;

Фактическая скорость резания $\upsilon = 401_M / MuH$;

Сила резания $P_z = 77H$;

Мощность $N = 0.46 \kappa Bm$.

Точение фасок будет производиться токарным резцом с углов в плане 45^0 после того, как произведена чистовая обработка. Частота вращения заготовки принимается равной последней частоте вращения с контурной чистовой обработки.

Из расчётов следует, то, что контурная обработка по программе на станке с ЧПУ будет производиться по полученным расчётным данным. Есть два пути решении при создании программы контурного точения: в одном из них в листе кода программы в ручную прописываются все численные значения чисел оборотов шпинделя с заготовкой, что увеличивает время на написание управляющей программы, а во втором случае лишь указывается необходимая скорость резания, а в данном случае он постоянная на каждом из участке, и математический аппарат модуля программы при постоянной скорости резания автоматически подгоняет под нужное число оборотов станок.

7.1.3Расчёт режимов резания при подрезке торцев

На первой и на второй токарных операциях происходит подрезка торцев, с целью последующего сверления центровых отверстий. Центровые отверстия нужны прежде всего для обеспечения надёжной установки заготовке на станке, т.к. при одностороннем зажатии в кулачковом патроне неизбежно вал будет испытывать значительное по величине напряжения от создаваемого момента от силы резания (схема нагружения вала без поджатия центром подобна балке с одностороннем защемлением), что отрицательно скажется на точности обработки изделия.

Расчёт режимов резания для подрезки торцев производиться по рекомендациям из [7, стр. 237, 242-244 табл. 26, 36-37].

Глубина резания на отрезании первого торца $t = z^c_{11} = 1.02$ мм. Назначим подачу исходя из рекомендуемых данных по [7, стр. 237 табл. 26] s = 0.30мм/об.

Скорость резания по[7, стр. 240]:

$$\upsilon = \upsilon_T \cdot K_{\upsilon}, M / MuH(7)$$

где v_T - табличное значение скорости резания, м/мин;

$$K_{U} = K_{UM} K_{UU} K_{U\varphi} K_{Um} K_{UDHC} K_{\varphi n} K_{Uo}, (8)$$

здесь K_{UM} - коэффициент обрабатываемости материала заготовки;

 K_{vu} - коэффициент, учитывающий свойства материала инструмента;

 $K_{\upsilon\varphi}$ - коэффициент, учитывающий влияние угла в плане;

 $K_{\it vm}$ - коэффициент, учитывающий вид обработки, $K_{\it v3}$ для поперечного точения;

 $K_{\nu\!s\!s\!s}$ - коэффициент, учитывающий жёсткость технологической системы;

 $K_{\it on}$ - коэффициент, учитывающий состояние обрабатываемой поверхности;

 K_{vo} - коэффициент, учитывающий влияние СОЖ.

Из [7, стр. 243 табл. 36] при значении подачи $s = 0.30_{MM}/oб$ и глубине резания $t = 1.02_{MM}$ выбираем $\upsilon_T = 242_M/muH$. Все необходимые коэффициенты выбираются из [7, стр. 244 табл. 37] и подставляем в формулу (8):

$$K_{\mathcal{U}} = K_{\mathcal{UM}} K_{\mathcal{UU}} K_{\mathcal{U}\varphi} K_{\mathcal{UM}} K_{\mathcal{UMC}} K_{\varphi n} K_{\mathcal{U}} = 1.0 \cdot 1.0 \cdot 1.0 \cdot 0.5 \cdot 0.53 \cdot 1.0 \cdot 0.8 = 0.212$$

Учитывая всё вышеизложенное, подставляем в форуму (7):

$$\upsilon = \upsilon_T \cdot K_\upsilon = 242 \cdot 0.212 = 51$$
м/ мин .

Тогда частота вращения заготовки:

$$n = \frac{1000 \cdot \upsilon}{\pi \cdot d} = \frac{1000 \cdot 51}{3.14 \cdot 52} = 370 \text{мин}^{-1}.$$

Найдём силу резания, подставив значения в:

$$P_z = 10C_p t^x s^y \upsilon^n K_p = 10 \cdot 300 \cdot 1,02^{1.0} \cdot 0.30^{0.75} \cdot 51^{-0.15} \cdot 0.84 = 2570 \cdot 0.41 \cdot 0.55 = 580H.$$

Тогда мощность, необходимая на черновое точение:

$$N = \frac{P_z \upsilon}{1020 \cdot 60} = \frac{580 \cdot 51}{61200} = 0.48 \kappa Bm.$$

Глубина резания на отрезании второго торца $t = z^c_{31} = 1.125$ мм. Назначим подачу исходя из рекомендуемых данных по [7, стр. 237 табл. 26] s = 0.30мм/об.

Скорость резания по [7, стр. 240]:

$$\upsilon = \upsilon_T \cdot K_{\upsilon}, M / MuH(7)$$

где v_T - табличное значение скорости резания, м/мин;

$$K_{U} = K_{UM} K_{UU} K_{U\varphi} K_{Um} K_{UDH} K_{\varphi n} K_{Uo}, (8)$$

здесь K_{DM} - коэффициент обрабатываемости материала заготовки;

 $K_{\upsilon u}$ - коэффициент, учитывающий свойства материала инструмента;

 $K_{\upsilon\varphi}$ - коэффициент, учитывающий влияние угла в плане;

 $K_{\it vm}$ - коэффициент, учитывающий вид обработки, $\hat{E}_{\it v1}$ для поперечного точения;

 $K_{\varphi n}$ - коэффициент, учитывающий состояние обрабатываемой поверхности;

 $K_{\upsilon o}$ - коэффициент, учитывающий влияние СОЖ.

Из [7, стр. 243 табл. 36] при значении подачи $s = 0.30_{MM}/oб$ и глубине резания $t = 1.125_{MM}$ выбираем $\upsilon_T = 242_{M}/MuH$. Все необходимые коэффициенты выбираются из [7, стр. 244 табл. 37] и подставляем в формулу (8):

$$\hat{E}_{v} = \hat{E}_{vi} \; \hat{E}_{ve} \hat{E}_{ve} \hat{E}_{vo} \hat{E}_{ve} \; \hat{E}_{ve} \; \hat{E}_{vi} \; \hat{E}_{vi} = 1.0 \cdot 1.0 \cdot 1.0 \cdot 1.45 \cdot 0.53 \cdot 1.0 \cdot 0.8 = 0.61$$

Учитывая всё вышеизложенное, подставляем в форуму (7):

$$\upsilon = \upsilon_{\scriptscriptstyle T} \cdot K_{\scriptscriptstyle \upsilon} = 242 \cdot 0.61 = 150 \, \text{м/}$$
 мин .

Тогда частота вращения заготовки:

$$n = \frac{1000 \cdot \upsilon}{\pi \cdot d} = \frac{1000 \cdot 150}{3.14 \cdot 52} = 1085 \text{MuH}^{-1}.$$

Найдём силу резания, подставив значения в:

$$P_z = 10C_p t^x s^y \upsilon^n K_p = 10 \cdot 300 \cdot 1,02^{1.0} \cdot 0.30^{0.75} \cdot 150^{-0.15} \cdot 0.84 = 2570 \cdot 0.47 \cdot 0.55 = 600H.$$

Тогда мощность, необходимая на черновое точение:

$$N = \frac{P_z \upsilon}{1020 \cdot 60} = \frac{600 \cdot 150}{61200} = 1.47 \kappa Bm.$$

Фактически одинаковые режимы резания при обработке торцев, исключении составляют только значения глубины резания и то не значительно.

На токарной операции 010 переходе 15 производиться точение канавок канавочным резцом. При ширине канавки в 3 мм изменяется подача на s = 0.12 мм/of при той же скорости резания, что и при чистовом точении. Аналогично и для токарной операции 020 переход 8 значение подачи s = 0.12 мм/of, а скорость неизменна после чистового точения.

Стоит отметить тот факт, что при контурной обработки часть припуска будет сниматься с торцев ступеней вала. Изменять режимы обработки не рационально, поэтому при контурной обработке торцев на чистовой токарной операции частота вращения заготовки та же, что и при продольном точении. Важно здесь снять нужный слой припуска, чтобы в дальнейшем выполнить шлифование до нужных размеров окончательно.

7.2Расчёт режимов резания при фрезеровании шпоночных пазов

Инструмент для фрезерования: фреза шпоночная по ГОСТ 9140-78 с $z=2,\ D=8{\it mm}$.

Материал режущей части Р6М5.

Конфигурация обрабатываемой поверхности и вид оборудования определяют тип применяемой фрезы. То есть размеры фрезы определяются

размерами обрабатываемой заготовки (получаемого профиля) и глубиной срезаемого слоя. Все расчёты и выбор коэффициентов будут производиться по [6, стр. 282-292.]. Формирование шпоночного паза будет производиться по схеме с маятниковой подачей. По заданию стойкость фрезы T = 60*мин*.

Скорость резания, или она же окружная скорость фрезы:

$$\upsilon = \frac{C_{\upsilon} \cdot D^q}{T^m t^x s_z^y B^u z^p} K_{\upsilon}, (8)$$

здесь C_{υ},q,m,x,y,u,p - коэффициенты из [6, стр. 286 табл. 39];

 s_z - подача на зуб фрезы, мм/зуб;

В - ширина фрезерования, мм;

z - число зубьев фрезы;

D - диаметр фрезы, мм;

t - глубина фрезерования, мм;

 K_{υ} - коэффициент, состоящий из $K_{\upsilon} = K_{M\upsilon}K_{\Pi\upsilon}K_{M\upsilon}$, (9)

где $K_{M \upsilon}$ - коэффициент, учитывающий качество обрабатываемого материала из

[6, стр. 261 табл. 1.];

 $K_{\Pi \upsilon}$ - коэффициент, учитывающий состояние поверхностного слоя заготовки по

[6, стр. 263 табл. 5.];

 $K_{H \upsilon}$ - коэффициент, учитывающий материал инструмента.

Назначаем из [6, стр. 286 табл. 38]:

$$s_z = 0.12 \text{mm} / \text{3y6}$$
 , $t = 0.3 \text{mm}$, $D = 8 \text{mm}$, $B = 8 \text{mm}$

Назначим коэффициенты, необходимые для расчётов:

$$C_{\upsilon} = 12 \; , \; q = 0.3 \; , \; m = 0.26 \; , \; x = 0.3 \; , \; y = 0.25 \; , \; p = 0 \; , \; u = 0$$

Из [6, стр. 261 табл. 1.]:

$$K_{M\nu} = K_{\Gamma} \left(\frac{750}{\sigma_B}\right)^{n_{\nu}}, (10)$$

для фрезерования $n_U = 0.9$. Тогда подставляя в (10):

$$K_{M_U} = K_T \left(\frac{750}{\sigma_B}\right)^{n_U} = 1.0 \left(\frac{750}{690}\right)^{0.9} = 1.078$$
.

 $K_{\Pi \upsilon}$ = 1.0 для заготовки без корки и $K_{M \upsilon}$ = 1.0 для P6M5. Подставим в формулу (9):

$$K_{U} = K_{MD}K_{\Pi D}K_{MD} = 1.078 \cdot 1.0 \cdot 1.0 = 1.078$$

Все параметры для расчёта скорости резания при фрезеровании найдены, подставим в (8):

$$\upsilon = \frac{C_{\upsilon} \cdot D^q}{T^m t^x s_7^y B^u z^p} K_{\upsilon} = \frac{12 \cdot 8^{0.3}}{60^{0.26} \cdot 0.3^{0.3} \cdot 0.12^{0.25} \cdot 8^0 \cdot 2^0} 1.078 = \frac{24.14}{2.89 \cdot 0.69 \cdot 0.59 \cdot 1 \cdot 1} = 20.52 \text{M/MuH}$$

Число оборотов на шпинделе станка при данной скорости должно быть:

$$n = \frac{1000 \cdot \upsilon}{\pi \cdot D} = \frac{1000 \cdot 20.52}{3.14 \cdot 8} = 820 \text{muh}^{-1}.$$

При величине напуска на фрезерование шпоночного паза в размер глубины, количество проходов будет составлять 14. На последнем проходе будет сниматься припуск на величину в 0.1мм.

Сила резания при фрезеровании рассчитывается по формуле из [6, стр. 282]:

$$P_{z} = \frac{10C_{p}t^{x}s_{z}^{y}B^{u}z}{D^{q}n^{w}}, (11)$$

где C_p, x, y, u, q, w - коэффициент и показатели степеней из [6, стр. 291 табл. 41].

Остальные данные принимаются без изменений из предыдущих расчётов. Назначаем:

$$C_p = 68.2, x = 0.86, y = 0.72, u = 1.0, q = 0.86, w = 0.$$

Подставим в формулу (11):

$$P_z = \frac{10C_p t^x s_z^y B^u z}{D^q n^w} = \frac{10 \cdot 68.2 \cdot 0.3^{0.86} \cdot 0.12^{0.72} \cdot 8^{1.0} \cdot 2}{8^{0.86} \cdot 820^0} = \frac{682 \cdot 0.36 \cdot 0.22 \cdot 16}{5.98} = 145H.$$

Крутящий момент на шпинделе рассчитывается по [6, стр. 290]:

$$M_{\kappa p} = \frac{P_z \cdot D}{2 \cdot 100} = \frac{145 \cdot 8}{200} = 5.8 H \cdot M.$$

Эффективная мощность резания по формуле из [6, стр. 290]:

$$N_e = \frac{P_z \cdot \upsilon}{1020 \cdot 60} = \frac{145 \cdot 20.52}{61200} = 0.05 \kappa Bm.$$

Шпоночные пазы с двух сторон имеют совершенно одинаковые параметры, поэтому производиться расчёт для одного шпоночного паза, а для второго принимаются точно такие же параметры режимов резания.

7.3 Расчёт режимов резания при шлифовании

Для того, чтобы начать расчёты первым делом необходимо установить характеристики инструмента — шлифовального круга. Назначаем круг ПП 350x50x160 15A 50 C2 7 K50 м/сА 1 кл ГОСТ 2424—83 и дадим расшифровку всем обозначениям:

- 750 диаметр круга, мм; (выбирается максимально возможный по станку);
- 50 высота круга, мм; (выбирается максимально возможный по станку);
- 160 диаметр крепёжного отверстия, мм; (выбирается максимально возможный по станку);
- 15A материал абразива (в данном случае это Нормальный Электрокорунд);
 - 50 зернистость шлифовального материла;
- С2 степень твёрдости абразивного инструмента (в данном случаеСредняя твёрдость);
 - К керамическая связка;

50 – максимально допустимая скорость вращения круга, м/с;

А – класс точности;

1 – класс уравновешенности.

Основные параметры резания при шлифовании:

Скорость вращательного движения заготовки v_3 , м/мин;

Скорость вращения шлифовального круга υ_{κ} , м/с;

Глубина шлифования t, мм, - слой материала, снимаемый периферией или торцем круга в результате поперечной подачи на каждый ход;

Продольная подача s, мм/об заготовки, - перемещение шлифовального круга за один оборот обрабатываемой заготовки при круглом шлифовании периферией круга;

Радиальная подача s_p , мм/обкруга - перемещение шлифовального круга за один оборот круга при врезном шлифовании.

По требованиям, предъявленным конструктором к изделию, на чертеже имеются участки, которые необходимо обработать шлифованием. Маршрут обработки включает себя на заключительной операции шлифование. На операции 035 на переходах 2 и 3 производиться наружное шлифование цилиндрических ступенчатыхповерхностей вала. Из расчётов диаметральных припусков на обработку известно, что величина напуска на шлифование одинакова для всех поверхностей, что значительно упрощает расчеты. Поэтому в данном пункте производим расчёт эффективной мощности для наибольшего диаметра, с целью проверки обеспечения посчитанной мощности назначенным станком. Необходимо применять в качестве СОЖ 3% Укринол-1 по ТУ 38-101197-76 при шлифовании.

На основании вышеизложенного о шлифовании цилиндрических поверхностей вала производим расчеты, руководствуясь справочником [6, стр. 300-303 табл. 55, 56]:

По предварительным расчётамприпуск составляет $2z_{D42}^c=0.268\,\text{мм}$, то есть $z_{D42}^c=0.134\,\text{мм}$ на сторону. Принимаем, что t=0.025мм, d=38мм, $\upsilon_3=15\text{м/mu}$, $\upsilon_K=30\text{м/c}$, $s=0{,}024ii$ /îá.

Частота вращения круга:

$$n = \frac{60 \cdot 1000 \cdot v_K}{\pi \cdot D_V} = 750 \text{MuH}^{-1}.$$

Частота вращения заготовки на диаметре d = 35*мм*:

$$n = \frac{1000 \cdot v_3}{\pi \cdot d} = 135 \text{MuH}^{-1}$$
.

Частота вращения заготовки на диаметре d = 32*мм*:

$$n = \frac{1000 \cdot v_3}{\pi \cdot d} = 150 \text{MuH}^{-1}$$
.

Частота вращения заготовки на диаметре $d = 30_{MM}$:

$$n = \frac{1000 \cdot v_3}{\pi \cdot d} = 160 \text{мин}^{-1}$$

Тогда слой металла будет сниматься в 6 проходов, причём на последнем проходе снимаем t = 0.009мм, и т. к. необходимо получить шероховатость Ra=0.8мкм, то после шлифовании производиться выхаживание, то есть шлифование без поперечной подачи в конечный размер. На участках где значение шероховатости Ra=3.2мкм выхаживание делать не нужно.

Мощность резания при шлифовании периферией круга с продольной подачей:

$$N = C_N v_3^r t^x s^y d^q, KBm$$
 (12)

где C_N , r, x, y, q - коэффициент и показатели степени из [6, стр. 303 табл.56]. Принимаем C_N = 2.2 - подача на каждый ход, т.к. с одной стороны не обеспечивается свободный отвод шлифовального круга; r = 0.5, x = 0.5, y = 0.55, в справочнике нет данных по показателю степени q, поэтому принимаем q = 0.

Подставим в формулу (12):

$$N = C_N \upsilon_3^r t^x s^y d^q = 2.2 \cdot 15^{0.5} \cdot 0.025^{0.5} \cdot 0.024^{0.55} \cdot 38^0 = 8.52 \cdot 0.16 \cdot 5.74 \cdot 1 = 6.1 KBm$$

Как видно расчётов по формуле (12) влияние обрабатываемого диаметра для данного типа шлифования не имеет значения. Мощность необходимая для шлифования будет обеспечиваться станком.

Так же шлифованию подлежат торцы на диаметре $d = 38_{MM}$ для обеспечения требуемого значения торцевого биения (см. Необходимо с одного торца снять $z^{c^*}_{49} = 1.113 \, \text{мм}$, поэтому шлифование будет врезания шлифовального осуществляться методом торцем дляобеспечение нужной фаски. Второй торец обрабатывается аналогично. Метод врезного шлифования позволяет достичь необходимых параметров шероховатости, однако требуется жёсткое закрепление заготовки. Врезное шлифование будет производиться на высоту h = 6.5 мм, чтобы избежать касания с уже обработанной цилиндрической поверхностью и не произвести удаление радиуса канавки.

По рекомендациям [7, стр. 347 табл. 164] назначим следующие параметры для врезного шлифования торцевой поверхности:

скорость вращения заготовки $\upsilon_{\scriptscriptstyle 3}$ = 12 м/ мин ,

ширина торцевой поверхности $B_{\mathcal{I}} = 6.5$ мм , тогда

продольная подача на оборот заготовки $S_B = 0.0075 \, \text{мм}$.

Необходимая частота вращения детали:

$$n = \frac{1000 \cdot \upsilon_3}{\pi \cdot d} = 90 \text{MuH}^{-1}$$
.

Скорость вращения шлифовального круга остаётся та же, что и при наружном шлифовании цилиндрических поверхностей вала $\upsilon_{\kappa} = 30 \text{м/c}$, то есть частота вращения тоже $n = 750 \text{ мин}^{-1}$.

7.4Расчёт режима разрезания при отрезании ленточной пилой

По данной технологии изготовления вала переднего исходная заготовка получается из горячекатаного прутка отрезанием на ленточно - отрезном станке. Расчёт режимов производиться по [6, стр. 292-293 табл. 43-44]:

Для ленточных пил при обрабатываемом материале с $\sigma_B > 600 \, M\Pi a$:

- подача $s_M = 45 \, \text{мм} / \text{мин}$
- скорость резания $\upsilon_p = 10$ м/ мин.

7.5Расчёт режимов резания при сверлении центровых отверстий

На операциях 010 переход 4 и 020 переход 2 после подрезки торцев производиться сверление центровых отверстий центровочным сверлом, после чего отверстия по очереди выполняют функции опоры и базы на токарных, фрезерной и шлифовальной операциях. Материал центровочного сверла быстрорежущая сталь P6M5. Стойкость сверла T = 60*мин*.

Расчёт режимов резания при сверлении производиться по [6, стр. 276-281 табл. 25, 28 и 31].

Основные параметры при сверлении:

глубина резания $t = 0.5 D_{oms}$, мм;

подача в направлении резания (сверления) з, мм/об;

скорость резания
$$\upsilon = \frac{C_{\upsilon} \cdot D_{ome}^{\ \ q}}{T^m s^y} K_{\upsilon}$$
, м/мин (13),

здесь C_{υ},q,m,y - коэффициент и показатели степени из [6, стр. 278 табл. 28].

 $K_{\scriptscriptstyle \mathcal{U}}$ - поправочный коэффициент, $K_{\scriptscriptstyle \mathcal{U}} = K_{M\scriptscriptstyle \mathcal{U}} K_{H\scriptscriptstyle \mathcal{U}} K_{l\scriptscriptstyle \mathcal{U}}$, в котором

 K_{M_U} - коэффициент на обрабатываемый материал, $K_{M_U} = 1.078$;

 $K_{H_{D}}$ - коэффициент на инструментальный материал $K_{H_{D}}$ = 1.0;

 $K_{l\upsilon}$ - коэффициент, учитывающий глубину резания $K_{l\upsilon}$ = 1.0 .

Подача при сверлении зависит от диаметра сверла, а в данном случае $D_{oms} = 4_{\it MM} \, \, {\rm для} \, \, {\rm Cтали45} \, \, {\rm c} \, \, {\rm HB} \, \, 156\text{-}197, \, {\rm тo} \, \, {\rm подача} \, \, s = 0.15_{\it MM}/oб \, .$

Назначаем коэффициенты $C_{\upsilon}=7.0$, q=0.40, m=0.20, y=0.70. С учётом этих коэффициентов:

$$\upsilon = \frac{C_{\upsilon} \cdot D_{ome}^{\ \ q}}{T^m s^y} = \frac{7.0 \cdot 4^{0.40}}{60^{0.20} \cdot 0.15^{0.70}} \cdot 1.078 = \frac{12.19}{0.6} \cdot 1.078 = 21.86 \text{м/мин}.$$

Так как сверло будет закреплено неподвижно, то вращение необходимо задавать валу, поэтому необходимо рассчитать частоту вращения заготовки:

$$n = \frac{1000 \cdot \upsilon_3}{\pi \cdot d} = \frac{1000 \cdot 21.86}{3.14 \cdot 30} = 230 \text{MuH}^{-1}.$$

Крутящий момент осевая сила при сверлении по рекомендациям из [6, стр. 277]:

$$M_{\kappa p} = 10C_M D^q s^y K_p, H \cdot M \ (14)$$

здесь C_M , q, y - коэффициент и показатели степени из [6, стр. 281 табл. 32]:

 K_p - коэффициент, учитывающий условие обработки, в данном случае зависит от материала заготовки $K_p = 0.94$.

Назначаем коэффициенты и показатель для степени:

 $C_M = 0.0345$, q = 2.0, y = 0.8. Теперь можно подставить в формулу (14):

$$M_{\kappa p} = 10 C_M D^q s^y K_p = 10 \cdot 0.0345 \cdot 4^{2.0} \cdot 0.15^{0.8} \cdot 0.94 = 1.14 H \cdot \text{M}.$$

Осевая сила при сверлении по рекомендациям из [6, стр. 277]:

$$P_0 = 10C_p D^q s^y K_p, H(15)$$

здесь C_P, q, y - коэффициент и показатели степени из [6, стр. 281 табл. 32]:

 K_p - коэффициент, учитывающий условие обработки, в данном случае зависит от материала заготовки $K_p = 0.94$.

Назначаем коэффициенты и показатель для степени: $C_P = 68$, q = 1.0, y = 0.7. Теперь можно подставить в формулу (15):

$$P_0 = 10C_p D^q s^y K_p = 10 \cdot 68 \cdot 4^{1.0} \cdot 0.15^{0.7} \cdot 0.94 = 677.6H$$
.

Тогда мощность резания из [6, стр. 280]:

$$N_e = \frac{M_{\kappa p} \cdot n}{9750} = \frac{1.14 \cdot 230}{9750} = 0.03 \, KBm$$
.

8. Нормирование операций.

Техническое нормирование устанавливает технически обоснованную норму расхода производственных ресурсов - рабочего времени, энергии, сырья, материалов, инструментов и т.п. Основы технологического нормирования устанавливает ГОСТ 3.1109-82. Главными целями нормирования являются:

- грамотно разработанный технологический процесс;
- себестоимость изготовления детали должна быть минимальна;
- трудоемкость изготовления детали должна быть минимальна.

Нормирование осуществляется методами технического нормирования и опытно-статического нормирования.

Норма времени, которое дается на обработку детали или каких-то поверхностей детали на данной технологической операции называется нормой штучного времени и складывается из:

- основного (машинного) или технологического времени;
- вспомогательного времени;
- времени обслуживания рабочего места;
- времени перерывов на отдых и физиологические потребности.

Основное или технологическое время, это время, в течение которого производится снятие стружки, т. е. происходит изменение формы, размеров и внешнего вида детали. Если этот процесс совершается только станком без непосредственного участия рабочего, то это время будет машинно-автоматическим; если же процесс снятия стружки совершается станком при непосредственном управлении инструментом или перемещении детали рукой рабочего, то это время будет машинно-ручным. В основное время входит

время, затрачиваемое на врезание и перебег (подход и выход) режущего инструмента, на обратные ходы (у строгальных, долбежных и других станков), на проход инструмента при пробных стружках; поэтому при подсчете основного времени расчетная длина обработки принимается с учетом всех этих приемов.

Во вспомогательное время входит:

- время управления станком; пуск, останов, перемена скорости, подачи
 и т. п.;
 - время на перемещение инструмента;
- время на установку; закрепление и снятие приспособления, инструмента и детали во время работы;
- время на приемы измерения детали: взять инструмент, установить, измерить, отложить инструмент и т. п.

Вспомогательное время может быть ручным, машинным или машинноручным.

Время на обслуживание рабочего места подразделяется на техническое и организационное. Время технического обслуживания рабочего места затрачивается рабочим на уход за рабочим местом в процессе данной работы и включает в себя:

- время на наладку и регулировку станка в процессе работы;
- время на смену затупившегося инструмента;
- время на правку инструмента оселком (резца) или алмазом (шлифовального круга) в процессе работы;
 - время на удаление стружки в процессе работы.

Время организационного обслуживания рабочего места затрачивается рабочим на уход за рабочим местом в течение смены и включает в себя:

- время на раскладку инструмента в начале смены и уборку его по окончании смены;
 - время на чистку и смазку станка;
 - время на осмотр и опробование станка.

Время перерывов на отдых и физиологические потребности берется в процентах от операционного времени (операционное время это сумма основного и вспомогательного времени).

Основное время определяем по формуле:

$$t_o = \frac{L \times i}{n \times s}$$
, MUH.

где L – расчётная длина обработки, мм;

і – число рабочих ходов;

n – частота вращения шпинделя, об/мин;

s – подача, мм/об (мм/мин).

Расчётная длина обработки:

$$L = l + l_{e} + l_{cx} + l_{no}$$

Где I – размер детали на данном переходе, мм;

 l_{B} – величина врезания инструмента, мм;

 $l_{\rm cx}$ – величина схода инструмента, мм;

 $l_{\text{пд}}$ – величина подвода инструмента, мм.

Принимаем: $l_{cx} = l_{пд} = 1$ мм.

Величина врезания инструмента:

$$l_{\scriptscriptstyle \theta} = \frac{t}{tg\varphi},$$

где t – глубина резания, мм;

ф – угол в плане.

Тогда окончательная формула для определения основного времени:

$$t_o = \frac{(l + \frac{t}{tg\varphi} + l_{cx} + l_{no}) \times i}{n \times s}.$$

Любой технологический процесс по изготовлению изделия или его сборки на производстве занимает определённое время. В данном разделе рассчитывается основное (технологическое) время по данным источника [8, стр. 610-626].

8.1Расчёт основного времени на токарных операциях

Для токарных работ см. рис 18 при точении наружной поверхности до упорарасчёт производиться по формуле:

$$T_0 = \frac{L}{n \cdot S_0} i, (16)$$

где T_0 - основное время на операцию (переход), мин;

L - расчётная длина рабочего хода инструмента, мм;

n - частота вращения шпинделя, мин $^{-1}$;

 S_0 - подача на оборот шпинделя, мм/об;

i - число проходов инструмента.

Причём

$$L = l + l_1 + l_2$$
, (17)

здесь l - длина обрабатываемой поверхности, мм;

 l_1 - величина врезания инструмента, мм;

 l_2 - величина пробега инструмента, мм.

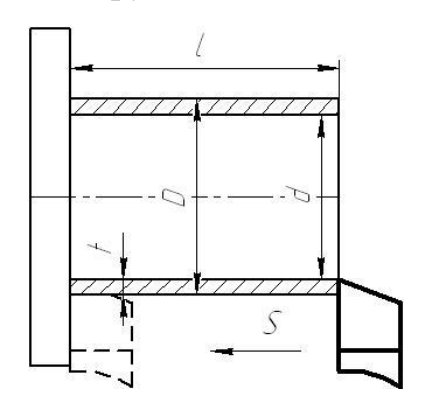


Рисунок 18 Обтачивание цилиндрической поверхности до уступа

При обработке фасок и протачивании канавок рис. 19 а) и б) соответственно:

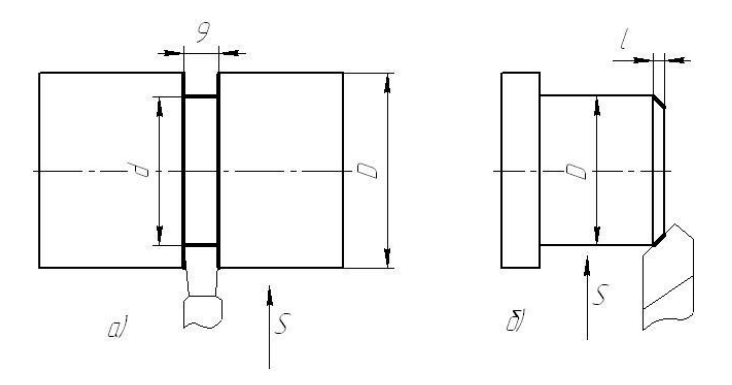


Рисунок 19 а) Точение канавок б) Точение фаски

При подрезании торца расчетная схема для определения основного времени на рис. 20:

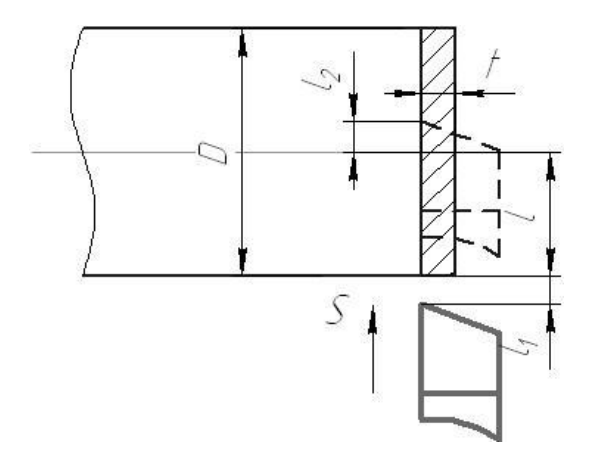


Рисунок 20Подрезка торца

Первая токарная операция с ЧПУ:

Операция 010 переход 2 подрезка торца:

$$L = l + l_1 + l_2 = 22 + 5 + 1 = 28 \text{ MM}$$
.

Подставим в формулу (16) значения из пункта 7.1.3:

$$T_0 = \frac{L}{n \cdot S_0} i = \frac{28}{1085 \cdot 0.3} 1 = 0.1$$
 мин.

Операция 010 переход 3 черновое точение до ступени:

$$L = l + l_1 + l_2 = 350 + 5 + 0 = 400$$
 мм.

Подставим в формулу (16) значения из пункта 7.1.1:

$$T_0 = \frac{L}{n \cdot S_0} i = \frac{400}{1380 \cdot 0.8} 1 = 0.36 \,\text{мин} .$$

Операция 010 переход 6 черновое точение до ступени:

$$L = l + l_1 + l_2 = 246,5 + 5 + 0 = 247 \text{ MM}$$

Подставим в формулу (16) значения из пункта 7.1.1:

$$T_0 = \frac{L}{n \cdot S_0} i = \frac{247}{2030 \cdot 0.5} 1 = 0.24 \,\text{мин} .$$

Операция 010 переход 7 черновое точение до ступени:

$$L = l + l_1 + l_2 = 117 + 5 + 0 = 122 \text{ MM}$$

Подставим в формулу (16) значения из пункта 7.1.1:

$$T_0 = \frac{L}{n \cdot S_0} i = \frac{122}{2030 \cdot 0.5} 1 = 0.12 \,\text{мин} .$$

Операция 010 переход 8 чистовое точение по контуру:

$$L = l + l_1 + l_2 = 22 + 5 + 0 = 27 \,\text{MM}$$

Подставим в формулу (16) значения из пункта 7.1.2 значение среднего числа оборотов:

$$T_0 = \frac{L}{n \cdot S_0} i = \frac{27}{3596 \cdot 0.12} 1 = 0.06 \,\text{мин} .$$

Операция 010 переход 12отрезная:

$$L = l + l_1 + l_2 = 0 + 5 + 0 = 5$$
MM

Подставим в формулу (16) значения из пункта 7.1.2 значение среднего числа оборотов:

$$T_0 = \frac{L}{n \cdot S_0} i = \frac{5}{3596 \cdot 0,12} 1 = 0,012 \text{ мин}.$$

Операция 010 переход 11 прорезка канавок:

$$L = l + l_1 + l_2 = 0.5 + 5 + 0 = 5.5$$
mm

Подставим в формулу (16) значения из пункта 7.1.3 с учётом того, что 3 места под канавки:

$$T_0 = \frac{L}{n \cdot S_0} i = \frac{5.5}{3860 \cdot 0.12} 3 = 0.03 \,\text{мин} .$$

Вторая токарная операция с ЧПУ:

Операция 020 переход 2 подрезка торца:

$$L = l + l_1 + l_2 = 22 + 5 + 1 = 28 MM$$
.

Подставим в формулу (16) значения из пункта 7.1.3:

$$T_0 = \frac{L}{n \cdot S_0} i = \frac{28}{1085 \cdot 0.3} 1 = 0.1 i e i$$
.

Операция 020 переход 4 черновое точение на проход:

$$L = l + l_1 + l_2 = 310 + 5 + 0 = 315$$
 мм .

Подставим в формулу (16) значения из пункта 7.1.1:

$$T_0 = \frac{L}{n \cdot S_0} i = \frac{315}{1530 \cdot 0.9} 1 = 0.22 \,\text{мин} .$$

Операция 020 переход 5 черновое точение до ступени:

$$L = l + l_1 + l_2 = 62 + 5 + 0 = 67 \,\text{MM}$$

Подставим в формулу (16) значения из пункта 7.1.1:

$$T_0 = \frac{L}{n \cdot S_0} i = \frac{67}{1440 \cdot 0.8} 1 = 0.04$$
 мин .

Операция 020 переход 6 черновое точение до ступени:

$$L = l + l_1 + l_2 = 46 + 5 + 0 = 51$$
mm

Подставим в формулу (16) значения из пункта 7.1.1:

$$T_0 = \frac{L}{n \cdot S_0} i = \frac{51}{2030 \cdot 0.5} 1 = 0.05$$
 мин .

Операция 020 переход 7 черновое точение до ступени:

$$L = l + l_1 + l_2 = 14 + 5 + 0 = 19$$
 mm

Подставим в формулу (16) значения из пункта 7.1.1:

$$T_0 = \frac{L}{n \cdot S_0} i = \frac{14}{2435 \cdot 0.5} 1 = 0.01$$
 мин.

Операция 020 переход 8-10 прорезка канавок:

$$L = l + l_1 + l_2 = 0.5 + 5 + 0 = 5.5$$
mm

Подставим в формулу (16) значения из пункта 7.1.3 с учётом того, что 3 места под канавки:

$$T_0 = \frac{L}{n \cdot S_0} i = \frac{5.5}{4270 \cdot 0.12} 3 = 0.03 \,\text{мин} .$$

8.2Расчёт основного времени на фрезерной операции

Для фрезерных работ при фрезеровании шпоночного паза при маятниковой подаче рис. 25 основное время рассчитывается по формуле:

$$T_0 = \frac{L}{S_M} i, (18)$$

где T_0 - основное время на операцию (переход), мин;

L - расчётная длина рабочего хода инструмента, мм;

 S_M - минутная подача, мм/мин;

і - число проходов инструмента.

Причём

$$L = l + l_1 + l_2$$
, (19)

здесь l - длина обрабатываемой поверхности, мм;

 l_1 - величина врезания инструмента, мм;

 l_2 - величина пробега инструмента, мм.

В литературе [8, стр. 623 табл. 7] не имеется данных по назначению длины врезания шпоночной фрезы с $d_{\phi pes} = 8_{MM}$. Поэтому принимаем $l_1 = 4_{MM}$, как

ближайшее значение диаметра шпоночной фрезы с $d_{\phi pes} = 12$ мм. Минутная подача из пункта $7.2\,S_M = S_z nz = 0.12 \cdot 820 \cdot 2 = 196.8$ мм / мин .

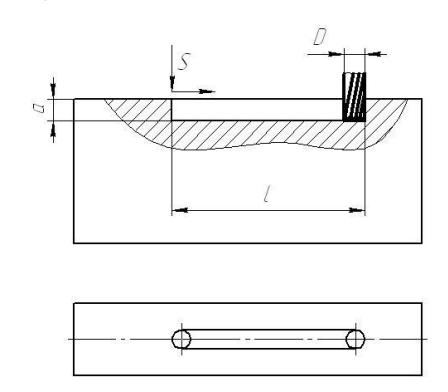


Рисунок 21 Фрезерование шпоночных пазов при маятниковой подаче

Фрезерная операция:

Операция 020 переход 1 фрезерование первого шпоночного паза:

$$L = l + l_1 + l_2 = 36 + 4 + 0 = 40$$
 мм.

Подставим в формулу (18):

$$T_0 = \frac{L}{S_M}i = \frac{40}{196,8}14 = 2,84 \,\text{мин} .$$

Операция 020 переход 3 фрезерование второго шпоночного паза:

$$L = l + l_1 + l_2 = 36 + 4 + 0 = 40$$
 mm.

Подставим в формулу (18):

$$T_0 = \frac{L}{S_M}i = \frac{40}{196.8}14 = 2,84 \,\text{мин} .$$

8.3 Расчёт основного времени на круглошлифовальной операции

На наружном круглом шлифовании методом продольной подачи в упор рис 26, расчёт основного времени ведётся по формуле:

$$T_0 = \frac{L}{S_B B_\kappa n_{\dot{\alpha}}} i K, (20)$$

где T_0 - основное время на операцию (переход), мин;

L - расчётная длина рабочего хода инструмента, мм;

 n_{∂} - частота вращения детали, мин⁻¹;

 S_B - продольная или поперечная подача на двойной ход изделия в долях ширины шлифовального круга;

 $B_{\scriptscriptstyle K}$ - высота шлифовального круга, мм;

K - коэффициент, учитывающий выхаживание и доводку, K = 1.4.

i - число проходов инструмента, $i = \frac{a}{S_{2x}}$;

 S_{2x} - подача на двойной ход, мм/дв. ход;

а - величина снимаемого припуска, мм.

При
$$a = 0.134$$
мм из пункта 7.3 и $S_{2x} = 0.024$ $i = \frac{a}{S_{2x}} = \frac{0.134}{0.024} = 6$.

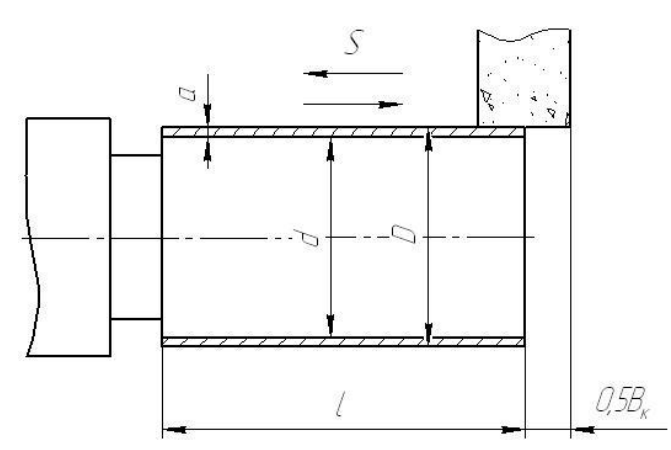


Рисунок 22 Наружное круглое шлифование методом продольной подачи

Операция 035 переход 2 шлифование поверхности на d=38мм подставим в (20):

$$T_0 = \frac{L}{S_R B_{\nu} n_{\phi}} iK = \frac{90}{0,012 \cdot 80 \cdot 160} 6 \cdot 1,4 = 9,51 \text{ мин}.$$

После переустановки значение основного времени будет тоже на данном диаметре.

Операция 035 переход 2 шлифование поверхности на d=44.1мм подставим в (20):

$$T_0 = \frac{L}{S_R B_\kappa n_\partial} iK = \frac{100}{0,012 \cdot 80 \cdot 150} 6 \cdot 1,4 = 10.75 \,\text{мин} .$$

Операция 035 переход 3 шлифование поверхности на d=38*мм* подставим в (20):

$$T_0 = \frac{L}{S_B B_{\nu} n_{\partial}} iK = \frac{82}{0,012 \cdot 80 \cdot 135} 6 \cdot 1,4 = 8,35 \,\text{мин} .$$

При врезном шлифовании торцев для образования фаски рис. 23 формула расчёта основного времени имеет вид:

$$T_0 = \frac{L}{n_{\partial} S_o}$$
, (21)

где S_o - подача на оборот шпинделя, мм/об.

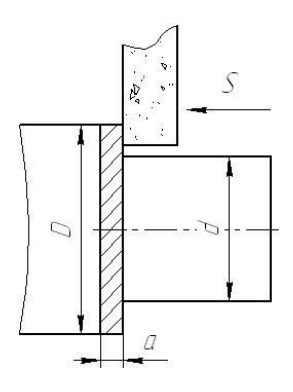


Рисунок 23 Врезное шлифование торца

Операция 035 переход 3 шлифование торца с припуском $z^{c}_{52} = 1.113 \text{мм} = L \, ;$

$$T_0 = \frac{L}{n_\partial S_o} = \frac{1.113}{90 \cdot 0.0075} = 1.65$$
 мин .

Операция 035 переход 3 шлифование торца с припуском $z^{c}_{51} = 0{,}048{\text{мм}} = L \, ;$

$$T_0 = \frac{L}{n_0 S_0} = \frac{0.048}{90 \cdot 0.0075} = 0.07 \,\text{мин} .$$

8.4 Расчёт основного времени на сверлении центровых отверстий

Сверление центровых отверстий производиться на первой и второй токарных операциях с ЧПУ. Размеры центрового отверстия по ГОСТ 14034-74.

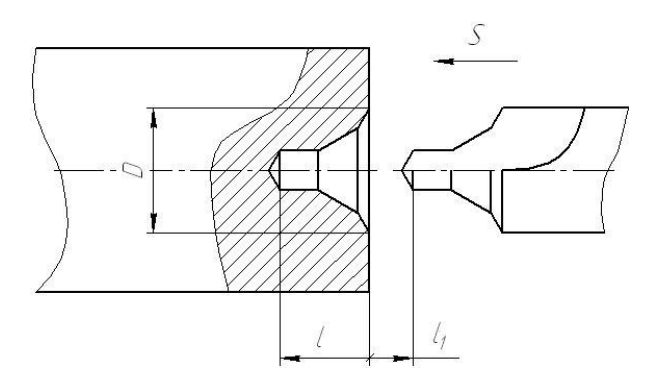


Рисунок 24 Сверление центрового отверстия

Формула для расчёта основного времени при сверлении центровых отверстий рис. 24:

$$T_0 = \frac{L}{n S_o}$$
, (22)

где n - частота вращения заготовки, мин⁻¹.

$$L = l + l_1 + l_2 = 8.9 + 2 + 0 = 10.9$$
 mm

Операция 010 переход 4:

$$T_0 = \frac{L}{n S_0} = \frac{10.9}{230 \cdot 0.15} = 0.32$$
мин.

Операция 020 переход 3:

$$T_0 = \frac{L}{n S_o} = \frac{10.9}{230 \cdot 0.15} = 0.32$$
 мин

8.5 Расчёт основного времени на отрезной операции

Отрезание заготовки производиться ленточной пилой, у которой нет обратного хода, следовательно формула для расчёта основного времени имеет вид:

$$T_0 = \frac{L}{S_a}$$
, (23)

где L - толщина заготовки, мм.

Подставим в формулу 23 значения из 7.4:

$$T_0 = \frac{L}{S_o} = \frac{52}{45} \approx 1,15$$
 мин .

9. Конструкторская часть

Для фрезерования шпоночного паза было спроектировано прижимное приспособление. Заготовка типа вал, устанавливается в нижнюю призму, сверху прижимается призматической губкой (5). Высота между призмами регулируется опорой (4). Для зажима заготовки типа вал, затягиваем гайку (3) до тех пор, пока деталь не будет вращаться вокруг своей оси.

Приспособление состоит из следующих элементов:

- 1 Корпус приспособления
- 2 Пружина
- 3 Гайка
- 4 Регулируемая опора
- 5 Призматическая губка
- 6- болты т-образной головкой.

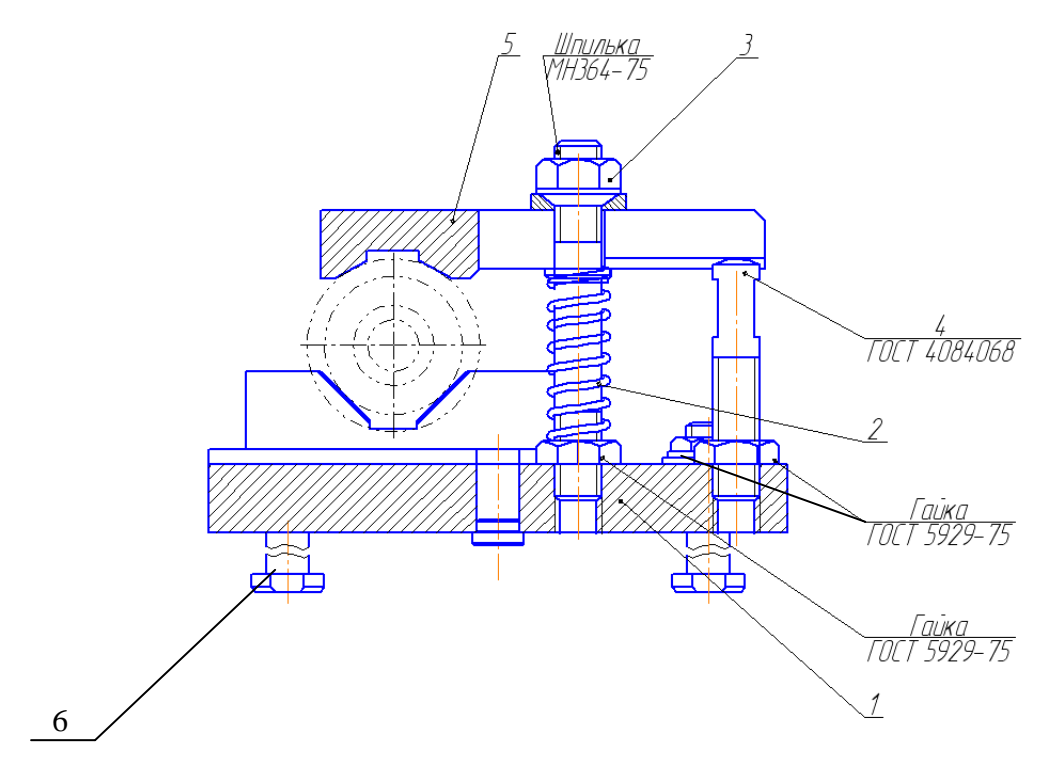


Рисунок 25. Приспособления для зажима вала на фрезерной операции по фрезерованию шпоночного паза.

Заготовка будет базироваться в приспособлении на два наружных диаметра и упором в торец. Следовательно, установочными элементами в данном приспособлении будут являться призмы.

Нижняя призма крепиться к корпусу (1) как показано на рисунке 26.

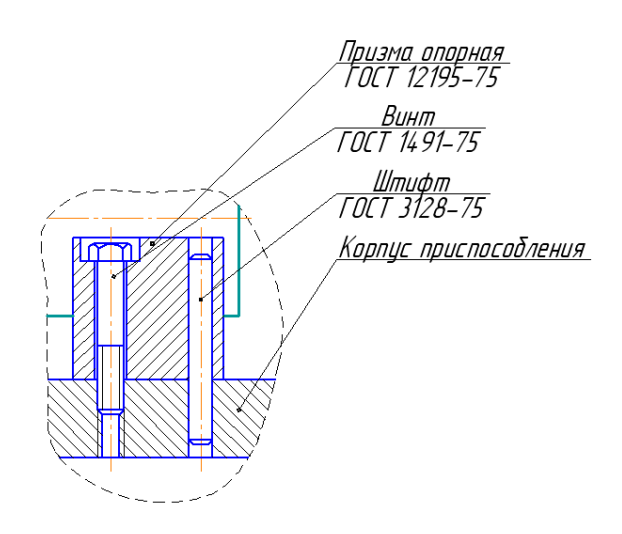


Рисунок 26. Крепление призмы нижней к корпусу (1)

Для закрепления приспособления на столе фрезерного станкав основании его корпуса предусматриваются проушины, которые заводятся крепежные болты. Головки болтов удерживаются в Т-образных пазах стола, сами пазы выглядят так, как показано на рисунке 27.

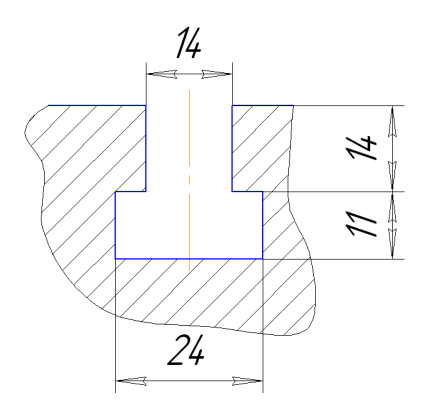


Рисунок 27. Т- пазы на столе станка для закрепления различных приспособлений

10. Экономический раздел

Целью выполнения данного раздела является сравнительная оценка экономической эффективности изготовления щита подшипникового четырьмя различными способами.

Экономическая эффективность — соотношение между получаемыми результатами производства — продукцией и материальными услугами, с одной стороны, и затратами труда и средств производства — с другой.

Себестоимость продукции — денежное выражение текущих затрат на производство и реализацию продукции. Себестоимость продукции — часть стоимости, включающая затраты на потребление средств производства и оплату труда.

Исходные данные:

1. программа выпуска:	$Q_{выn}$ =1500шт./год;
2. период оборота:	8 час;
3. режим работы, смен, <i>S</i> :	2;
4. продолжительность смены, T_{cm} :	8 час;
5. регламентированные перерывы T_{pec} :	60 мин./смену;
6. технологически неизбежные потери продукции, $\alpha_{_{\text{пп}}}$:	3%;
7. вес детали:	0,69 кг;
8. цена материала за кг (круг 52 35ХГСА)	95 руб./кг;
9. средний коэффициент использования материала	50%;
10. цена отходов от стоимости материалов	10%
11. тип производства:	мелкосерийный;
12. стоимость эелектроэнергии за 1 кВт/ч	1,5 руб

10.1 Калькуляция данных, общих для всех технологических процессов

Определяем номинальный фонд времени работы оборудования:

$$T_{\text{HOM}} = (\mathcal{A}_{\text{2}} - \mathcal{A}_{\text{Bbix}} - \mathcal{A}_{np}) \cdot S \cdot T_{\text{cM}} - \mathcal{A}_{npe\partial} \cdot T_{cokp}, \text{ vac / 200};$$

где: \mathcal{I}_{2} – число рабочих дней в планируемом периоде;

 \mathcal{L}_{np} - число праздничных дней;

S — число рабочих смен в сутки;

 $T_{c_{M}}$ – длительность рабочей смены, час;

 \mathcal{L}_{nped} — число предпраздничных дней;

 $T_{co\kappa p}$ — продолжительность нерабочего времени в предпраздничные дни, час.

$$\begin{split} T_{\text{\tiny HOM}} = & \left(\mathcal{A}_{\text{\tiny 2}} - \mathcal{A}_{\text{\tiny BbX}} - \mathcal{A}_{\text{\tiny np}} \right) \cdot S \cdot T_{\text{\tiny CM}} - \mathcal{A}_{\text{\tiny nped}} \cdot T_{\text{\tiny cokp}} = \\ = & \left(365 - 104 - 12 \right) \cdot 1 \cdot 8 - 12 \cdot 1 = 1980 \ \text{\tiny Vac/200} \end{split}$$

Определяем программу запуска:

$$Q_{3an} = \frac{Q_{6bin} \cdot 100}{100 - \alpha_{nn}}, \ um./200;$$

где:

 α_{nn} ,% - технологически неизбежные потери.

$$Q_{3an} = \frac{Q_{6bin} \cdot 100}{100 - \alpha_{nn}} = \frac{1500 \cdot 100}{100 - 3} = 1546 \text{ } um./200.$$

Расчет стоимости материала:

Цена материала одного изделия составляет:

$$C_{M} = \frac{m}{K_{u}} \cdot \mathcal{U}_{M} \; ;$$

где

m – масса одного изделия;

 K_u – средний коэффициент использования материала;

 $U_{_{M}}$ – стоимость материала, руб./кг.

Тогда цена материала:

$$C_{M} = \frac{0.69}{0.4} \cdot 95 = 163,875 \ py\delta.$$

Реализуемые отходы определятся зависимостью:

$$C_{omx} = (\frac{m}{K_{u}} - m) \cdot \mathcal{L}_{omx},$$

где U_{omx} –цена отходов.

Цена отходов на одно изделие:

$$C_{omx} = (\frac{0.69}{0.4} - 0.69) \cdot 9.5 = 9.83 \, py \delta.$$

Затраты на основные материалы за вычетом отходов на единицу изделия составят:

$$C_{M,OCH} = C_{M} - C_{OMX} = 163,875 - 9,83 = 154,045 \ py6$$

10.2 Выбор ресурсосберегающего технологического процесса

Современная техника и технология позволяют изготавливать одно и то же изделие различными методами. Технологический процесс представляет собой строго определенную совокупность выполняемых в заданной последовательности технологических операций. Одна и та же операция может выполняться многими способами и на различном оборудовании.

10.2.1 Предлагаемый технологический процесс

Операции первого технологического процесса изготовления щита подшипникового, с указанием штучно-калькуляционного времени(T_{III-K}), разряда работы, стоимости работы (в соответствии с тарифной сеткой завода) представлены в таблице 9.1.

Таблица 9.1

No	Наименование	Т _{Ш-К} , мин.	Разряд	Основная заработная
оп.	операции		работы	плата (3 _{ОСН}), руб.
015	Прутковый автомат	5,51	3	7,83
020	Токарная с ЧПУ	6,22	4	8,74
025	Фрезерная с ЧПУ	0,43	4	1,73
035	Шлифовальная	9,5	5	10.78
040	Шлифовальная	2	5	1,43
	Прочие	50		38,75
ИТО	ΓΟ	•		69,26

Основная заработная плата (3_{OCH}) приведена с учетом премии (40%) и районного коэффициента (30%)

Дополнительная заработная плата:

Дополнительная заработная плата, не связанная с производством – оплата труда полагающаяся по закону за не проработанное время, составляет 9% от основной заработной платы.

Дополнительная заработная плата на единицу изделия составит:

$$3_{\partial on} = 3_{och} \cdot K_{\partial on} = 69,26 \cdot 0,09 = 6,24 \text{ pyb.}$$

Отчисления на социальные цели

Отчисления на социальные цели на одно изделие определятся следующей зависимостью:

$$C_{cou} = (3_{och} + 3_{\partial on}) \cdot K_{cou}$$

где K_{cou} — коэффициент единого социального налога (K_{cou} = 27,2%).

Отчисления на социальные цели на одно изделие составят:

$$C_{cou} = (69,26 + 6,24) \cdot 0,272 = 20,53 \, py 6.$$

Прямые затраты:

$$C_n = C_{M.och} + 3_{och} + 3_{ooh} + C_{cou} = 154,045 + 69,26 + 6,24 + 20,53 = 250,075$$
.

Общепроизводственные расходы:

Общепроизводственные расходы составляют 300% от основной заработной платы. Сюда входят затраты на заработную плату вспомогательного персонала и прочие:

$$C_{np} = 3_{och} \cdot 300\% = 69,26 \cdot 3 = 207,78 \ py 6.$$

Состав общепроизводственных расходов:

$$C_{\mathit{np}} = C_{\mathit{TII.obu.}} + A_{\mathit{i}} + \mathcal{Y}_{\mathit{i}} + C_{\mathit{npucn1}} + C_{\mathit{npucn2}} \,,$$

где $C_{\mathit{TII.oбщ.}}$ – производственные расходы, общие для всех четырех ТП;

 A_i — затраты на амортизацию оборудования для і-го ТП;

 Θ_i — затраты на электроэнергию для і-го ТП;

 $C_{\it npucn1}$ и $C_{\it npucn2}$ – затраты на приспособление 1 и 2 соответственно.

Общая производственная себестоимость:

$$C_{o.np} = C_n + C_{np.} = 250,075 + 207,78 = 457,855$$
 py6.

Калькуляционная стоимость щита подшипникового первого технологического процесса сведена в таблицу 9.2.

Таблица 9.2

п/п	Наименование	руб.
1.	Материалы	154,045
2.	Основная заработная плата	69,26
3.	Дополнительная заработная плата	6,24
4.	Отчисления на социальное страхование	20,53
5.	Прямые затраты	250,075
6.	Общепроизводственные расходы	207,78
7.	Производственная себестоимость	457,855

10.2.2 Исходный технологический процесс

Операции первого технологического процесса изготовления щита подшипникового, с указанием штучно-калькуляционного времени(T_{III-K}), разряда работы, стоимости работы (в соответствии с тарифной сеткой завода) представлены в таблице 9.1.

Таблица 9.2

No	Наименование	Т мин	Разряд	Основная заработная
оп.	операции	Т _{Ш-К} , мин.	работы	плата (З _{ОСН}), руб.
005	Отрезной	1,63	2	2,83
010	Токарная с ЧПУ	7,28	4	9,41
020	Токарная с ЧПУ	2,43	4	4,74
030	Фрезерная с ЧПУ	0,43	4	1,73
035	Шлифовальная	9,5	5	10.78
040	Шлифовальная	2	5	1,43
	Прочие	60		38,75
ИТО	ГО	1		79,67

Основная заработная плата (3_{OCH}) приведена с учетом премии (40%) и районного коэффициента (30%)

Дополнительная заработная плата:

Дополнительная заработная плата, не связанная с производством – оплата труда полагающаяся по закону за не проработанное время, составляет 9% от основной заработной платы.

Дополнительная заработная плата на единицу изделия составит:

$$3_{\partial on} = 3_{och} \cdot K_{\partial on} = 79,67 \cdot 0,09 = 7,17 \ py 6.$$

Отчисления на социальные цели

Отчисления на социальные цели на одно изделие определятся следующей зависимостью:

$$C_{cou} = (3_{och} + 3_{\partial on}) \cdot K_{cou}$$

где K_{cou} — коэффициент единого социального налога (K_{cou} = 27,2%).

Отчисления на социальные цели на одно изделие составят:

$$C_{cou} = (79,67 + 7,17) \cdot 0,272 = 23,62 \text{ py6}.$$

Прямые затраты:

$$C_n = C_{M,och} + 3_{och} + 3_{ooh} + C_{cou} = 154,045 + 79,67 + 7,17 + 23,62 = 264,5$$
.

Общепроизводственные расходы.

Общепроизводственные расходы составляют 300% от основной 4заработной платы. Сюда входят затраты на заработную плату вспомогательного персонала и прочие:

$$C_{np} = 3_{och} \cdot 300\% = 79,67 \cdot 3 = 329 py 6.$$

Состав общепроизводственных расходов:

$$C_{\mathit{np}} = C_{\mathit{TII.obuj.}} + A_{\mathit{i}} + \varTheta_{\mathit{i}} + C_{\mathit{npucn1}} + C_{\mathit{npucn2}} \,,$$

где $C_{\mathit{TII.oбщ.}}$ – производственные расходы, общие для всех четырех ТП;

 A_i — затраты на амортизацию оборудования для і-го ТП;

 Θ_i – затраты на электроэнергию для і-го ТП;

 $C_{\it npucn1}$ и $C_{\it npucn2}$ – затраты на приспособление 1 и 2 соответственно.

Общая производственная себестоимость:

$$C_{o.np} = C_n + C_{np.} = 264,5 + 329 = 593,5 \ py6.$$

Калькуляционная стоимость щита подшипникового первого технологического процесса сведена в таблицу 9.2.

Таблица 9.2

п/п	Наименование	руб.
1.	Материалы	154,045
2.	Основная заработная плата	79,26
3.	Дополнительная заработная плата	7,17
4.	Отчисления на социальное страхование	23,62
5.	Прямые затраты	264,5
6.	Общепроизводственные расходы	329
7.	Производственная себестоимость	593,5

10.3 Сравнение вариантов затрат при изменении технологического процесса

Сравнение вариантов затрат при изменении технологического процесса производства щита подшипникового (1548 шт.) приведены в таблице 9.13.

Таблица 9.13

п/п	Статьи затрат	Первый ТП	Второй ТП
1.	Материалы	154,045	154,045
2.	Основная заработная плата	69,26	79,26
3.	Дополнительная заработная плата	6,24	7,17
4.	Отчисления на социальное		
	страхование	20,53	23,62
5.	Прямые затраты	250,075	264,5
6.	Общепроизводственные расходы	207,78	329
7	Производственная себестоимость	457,855	593,5

10.4 Расчет экономического эффекта

Рассчитаем экономический эффект:

$$\Im \vartheta = C_{o.np} 1 - C_{o.np} 2.,$$

где $C_{\it o.np}$ 1 — производственная себестоимость первого (существующего) ТП;

 $C_{\it o.np}\,2\,$ — производственная себестоимость четвертого (предлагаемого) ТП.

Тогда:

$$99 = 593,5 - 457,855 = 135,65$$
py6.

$$99 = 135,65 \times 1548 = 209986,2py6.$$

Положим затраты на внедрение нового техпроцесса $C_{\mbox{\tiny gH}}=100000\,$ руб , тогда период окупаемости определится как:

$$T_{ok} = \frac{C_{gh}}{99} = \frac{100000}{209986,2} = 0.620 \partial a$$

Срок окупаемости нового технологического процесса составляет приблизительно шесть месяцев. Далее бюджет экономиться на 209 тысяч 986 рублей две копейки.

11. Производственная и экологическая безопасность

В данном разделе ВКР инженера рассмотрены вопросы, связанные с организацией рабочего места на механическом участке по производству изделия «Вал», промышленного предприятия ОАО «ТЭТЗ» в соответствии с нормами производственной санитарии, техники производственной безопасности и охраны окружающей среды.

11.1 Общие положения

Охрана труда — система сохранения жизни и здоровья работников в процессе трудовой деятельности, включающая в себя правовые, социально-экономические, организационно-технические, санитарно-гигиенические, лечебно-профилактические, реабилитационные и иные мероприятия.

Условия труда — совокупность факторов, производственной среды и трудового процесса, оказывающих влияние на работоспособность и здоровье работника.

Вредный производственный фактор — производственный фактор, воздействие которого на работника может привести к его заболеванию.

Опасный производственный фактор – производственный фактор, воздействие которого на работника может привести к его травме.

Безопасные условия труда — условия труда, при которых воздействие на работающих вредных или опасных производственных факторов исключено либо уровни их воздействия не превышают установленные нормативы.

Рабочее место – место, в котором работник должен находиться или в которое ему необходимо прибыть в связи с его работой и которое прямо или косвенно находится под контролем работодателя. [11]

11.2 Анализ опасных и вредных производственных факторов

Согласно ГОСТ 12.0.003-74 «ССБТ Опасные и вредные производственные факторы» при изготовлении щита подшипникового рабочие подвергается следующим опасным и вредным производственным факторам:

- физические;
- химические;
- психофизические.

11.2.1 Физические факторы

Опасность поражения электрическим током

Одним из наиболее опасным производственным фактором является поражение электрическим током от сети, необходимым для питания различного оборудования.

Основными причинами, приводящими к поражению электрическим током, являются:

случайное прикосновение к токоведущим частям, находящимся под напряжением;

- появление на корпусе устройств сетевого напряжения в результате повреждения изоляции из-за многократных изгибов соединительного провода;
- появления напряжения на отключенных токоведущих частях,
 вследствие неверного включения устройств.

Повышенный уровень шума на рабочем месте и повышенный уровень вибрации

При выполнении работ на токарных и фрезерных станках раздражающее действие на человека оказывает шум в виде скрипа и свиста, обусловленный трением инструмента об обрабатываемые материалы. Длительное воздействие шума большой интенсивности приводит к патологическому состоянию слухового органа, к его утомлению.

Утомление может постепенно перейти в тугоухость и глухоту, обнаруживаемые через несколько лет работы. Интенсивный шум вызывает изменения сердечно-сосудистой системы, сопровождаемые нарушением тонуса и ритма сердечных сокращений, изменяется артериальное кровяное давление. Шум приводит к нарушению нормальной функции желудка. Особенно страдает центральная нервная система.

Вибрация приводит тело или его структурные единицы в колебательное движение. Вибрации частотой 35 – 250 Гц и выше развивают вибрационную болезнь со спазмом (сужением) кровеносных сосудов конечностей.

Недостаток освещения

При работе на станках недостаточная освещенность рабочего места и производственного помещения в целом приводит к ослаблению зрения и общей утомляемости рабочего. [11]

Повышенный травматизм

При работе на токарных, фрезерных станках, используемых в данном технологическом процессе, возможен захват одежды рабочего вращающимися частями станков. Следствием этого может быть тяжелая травма, и даже смертельный исход.

Попадание одежды и рук в пространство между вращающимися частями станка при удалении стружки приводит к травмам рук.

В результате отлета стружки в сторону рабочего места при фрезеровании и точении деталей возможна травма глаз и открытых частей тела.

При обработке используется СОЖ (смазывающая охлаждающая жидкость). При попадании масла на обувь рабочего или пол во время работы на станке возможны вывихи, переломы и повреждения кожного покрова в результате падения.

В результате отлета стружки в сторону рабочего места при фрезеровании и точении деталей возможна травма глаз и открытых частей тела.

11.2.2 Химические факторы

При работе с СОЖ рабочий подвергается также и химическим опасным и вредным производственные факторы, которые согласно ГОСТ 12.0.003-74 можно классифицировать следующим образом:

- по характеру воздействия на организм человека раздражающие;
- по пути проникания в организм человека кожные покровы, органы дыхания.

11.3 Требования безопасности и мероприятия по их осуществлению

Для снижения утомляемости, вероятности травматизма необходимо создать оптимальное рабочее место. Основные требования к организации рабочего места изложены в ГОСТ 12.2.033-78 «ССБТ Рабочее место при выполнении работ стоя».

На участке, где ведутся работы, не допускается нахождение посторонних лиц.

11.3.1 Электробезопасность

Меры безопасности условно можно разделить на две группы:

- а) меры, обеспечивающие безопасность эксплуатации при нормальном состоянии электрооборудования;
- б) меры, обеспечивающие безопасность в аварийном режиме при появлении напряжения на нетоковедущих частях оборудования (корпусах, кожухах и др.).

Мерами, обеспечивающими безопасность при нормальном состоянии электрооборудования, являются недоступность и рабочая изоляция токоведущих частей, защитное разделение сетей и малые напряжения. К дополнительным мерам, устраняющим опасность при появлении напряжения на нетоковедущих частях, относятся защитное заземление, зануление, защитное отключение, выравнивание потенциалов и двойная изоляция.

Согласно требованиям электробезопасности (ГОСТ-12.1.019-79 «ССБТ Электробезопасность») всё электрооборудование и приборы должны

находиться на специально отведенных местах, и заземлены. Наличие защитного заземления обязательно. При устройстве заземления используются искусственные заземлители, в качестве которых применяются стальные трубы или штыри. В качестве заземляющих проводников применяются стальные полосы, провода, а так же медные оголенные провода. Соединения заземляющих проводников с контуром заземления должны выполняться с помощью болтов или на сварке.

Защитное заземление

Защитное заземление— это преднамеренное электрическое соединение с землей или ее эквивалентом металлических нетоковедущих частей, которые могут оказаться под напряжением. Защитное действие заземления основано на снижении напряжения прикосновения при переходе напряжения на нетоковедущие части, что достигается уменьшением потенциала корпуса относительно земли, как за счет малого сопротивления заземления, так и за счет повышения потенциала примыкающей к оборудованию поверхности земли.

Целью расчета защитного заземления является определение числа, размера и сопротивления заземляющих элементов. [12]

Расчет заземления.

1) Определим удельное электрическое сопротивление грунта с учетом климатических коэффициента:

$$\rho_{\text{pacy}} = \rho_{u_{3M}} \cdot \psi \,, \tag{10.1}$$

где $\rho_{u_{3M}}$ – удельное сопротивление грунта (суглинок), $\rho_{u_{3M}} = 10^2 \, OM \cdot M$;

 ψ — климатический коэффициент, для суглинка ψ = 1,5 .

$$\rho_{\text{pac}_{4}} = 1.5 \cdot 10^{2} = 1500 \text{M} \cdot \text{M}$$
.

- 2) Для данного объекта нельзя указать сопротивление естественного сопротивления. В расчетах будем принимать, что его нет, т.е. $R_e = \infty$.
- 3) Определим сопротивление искусственного заземлителя. Учтем, что искусственные и естественные заземлители соединены параллельно и общее их сопротивление не превышает сопротивления заземляющего устройства $R_{_3} = 4O\!M_{_1}, \, \text{выбранного как наименьшее}.$

$$\frac{1}{R_{_{3}}} = \frac{1}{R_{_{u}}} + \frac{1}{R_{_{e}}} \,, \tag{10.2}$$

где R_u — сопротивление искусственного заземлителя.

T.K.
$$R_e = \infty$$
, TO $R_u = R_3 = 4OM$.

4) Сопротивление одиночного вертикального заземлителя:

$$R_{cm.od} = \frac{\rho_{pacu}}{2\pi l} \left(\ln \frac{2l}{d} + \frac{1}{2} \ln \frac{4H + l}{5H - l} \right), \tag{10.3}$$

где l – длина стержня, l = 2.5 M;

d – диаметр стержня, $d = 3.8 \cdot 10^{-2} M$;

H — расстояние от поверхности грунта до середины стержня, H = 1,75 M .

$$R_{cm.oo} = \frac{150}{2\pi \cdot 2.5} \left(\ln \frac{2 \cdot 2.5}{3.8 \cdot 10^{-2}} + \frac{1}{2} \ln \frac{4 \cdot 1.75 + 2.5}{5 \cdot 1.75 - 2.5} \right) = 48.6 Om.$$

5) Пусть необходимо 20 вертикальных заземлителей, расположенных на расстоянии a=3 M друг от друга, тогда длина соединительной полосы будет равна:

 $l_n = n \cdot a = 20 \cdot 3 = 60 \, \textit{м} \,, \quad \text{при} \quad \text{этом} \quad \text{коэффициенты} \quad \text{использования}$ заземлителей из труб или уголков $\, \eta_{\it cm} = 0,\! 5 \,. \,$

6) Рассчитаем сопротивление соединительной полосы:

$$r_n = \frac{\rho_{pac^u}}{2\pi \cdot l} \ln \frac{2l^2}{b \cdot H},\tag{10.4}$$

где b – ширина полосы, $b = 4 \cdot 10^{-2} M$;

H – глубина залегания полосы, H = 0.5 M.

$$r_n = \frac{150}{2\pi \cdot 60} \ln \frac{2 \cdot 60^2}{4 \cdot 10^{-2} \cdot 0.5} = 5.1 O m$$
, с учетом коэффициента

использования соединительной полосы $\eta_n = 0.27$:

$$R_n = \frac{r_n}{\eta_n} = \frac{5,1}{0,27} = 19 \, OM$$
.

7) Требуемое сопротивление растеканию вертикальных стержней:

$$R_{cm} = \frac{R_n R_u}{R_n + R_u} = \frac{19 \cdot 4}{19 + 4} = 3.30 M$$
.

8) Учитывая коэффициент использования вертикальных заземлителей, окончательно определяют их число:

$$n = \frac{R_{cm.od}}{\eta_{cm}R_{cm}} = \frac{48.6}{0.5 \cdot 3.3} = 29.4 \approx 30 \text{ (штук)}.$$

Т.е. для организации эффективного заземления необходимо использовать 30 стержней.

11.3.2 Шум и вибрация

В производственном процессе рабочие сталкивается, в основном, с широкополосными шумами – это шумы с непрерывным спектром шириной более одной октавы (при работе на фрезерных станках);

Согласно ГОСТ 12.1.003-83 «Шум. Общие требования безопасности» допустимые уровни звукового давления в октавных полосах частот, уровни звука и эквивалентные уровни звука на рабочих местах следует принимать: для широкополосного постоянного и непостоянного (кроме импульсного) шума – по таблице 10.1.

Таблица 10.1 – Допустимые уровни шума

Рабочее место	Уровни звукового давления, дБ, в								Уровень
	октавных полосах со								звука и
	среднегеометрическими частотами в Гц.								эквивалентны
	6	12	25	50	100	200	400	800	й уровень
	3	5	0	0	0	0	0	0	звука, дБА
Постоянные									
рабочие места и	9	92	86	83	80	78	76	74	85
рабочие зоны в									
производственны									
х помещениях и									
на территории									
предприятий.									
	ĺ								

Снижение уровня шума и вибрации

Мероприятия по устранению повышенного уровня шума:

- правильная организация труда и отдыха;

- ликвидация шума в источнике его возникновения путем своевременного устранения неисправности технологического оборудования;
- применение звукопоглощающих материалов в конструкциях шумящих механизмов и оборудования;
- облицовка помещений (потолка и стен в небольших помещениях)
 звукоизолирующими и звукопоглощающими материалами;
- применение индивидуальных средств защиты органов слуха наушников, вкладышей, шлемов (ГОСТ 12.4.011-89 ССБТ).

11.3.3 Освещенность

Значение освещения в процессе жизнедеятельности и, особенно в производственной деятельности, велико. При неудовлетворительном освещении зрительная способность глаз снижается, и могут появиться такие заболевания, как близорукость, резь в глазах, катаракта, профессиональное заболевание. Правильно выполненная система освещения имеет большое значение производственного В снижении травматизма, уменьшая потенциальную опасность многих производственных факторов; создает нормальные условия для работы органам зрения и повышает общую работоспособность организма.

При проектировании и расчете освещения, в первую очередь, руководствуются СНиП 23-05-95 «Естественное и искусственное освещение».

Параметры цеха:

– длина a = 60 M;

– ширина b = 20 M;

– высота h = 10 M.

Площадь помещения:

$$S = 60 \cdot 20 = 1200 \text{ m}^2$$

Высота рабочей поверхности $h_p = 1 M$.

В цехе производятся работы средней точности (минимальная величина различия составляет от 0,5 до 1 мм).

Рекомендуемая освещенность помещения, при среднем контрасте с тёмным фоном, составляет $E_o = 200\, \mbox{л}\kappa$, учитывая коэффициент запаса (загрязнение светильника) K=1,5, получаем освещенность в помещении

$$E = E_o \cdot K = 200 \cdot 1,5 = 300 \, \pi \kappa$$
.

Требуется создать освещенность $E = 300 \, \text{Л}\kappa$.

Коэффициент отражения стен Rc=70%, потолка Rn=50%.

Коэффициент запаса k = 1,5, коэффициент неравномерности Z = 1,1

Рассчитываем систему общего люминесцентного освещения.

Выбираем светильники типа ОД, $\lambda = 1,4$.

Рассчитаем h — высоту светильника над рабочей поверхностью по формуле:

$$h = H - h_p - h_c,$$

где h_c – расстояние светильников от перекрытия (свес).

Приняв $h_c = 4 \, M$, получим:

$$h=10-4-1=5M$$
,

$$L = 1.4 \cdot 5 = 7M$$

где L – расстояние между соседними светильниками или рядами.

$$L/3 = 2.3M$$

Размещаем светильники в три ряда. В каждом ряду можно установить 27 светильника типа ОД мощностью 40 Вт (с длиной 1,23 м), при этом разрывы между светильниками в ряду составят 50 см. Учитывая, что в каждом светильнике установлено две лампы, общее число ламп в помещении n=162.

Находим индекс помещения по формуле:

$$i = \frac{S}{h(a+b)},$$

тогда:

$$i = \frac{1200}{5(60+20)} = 3.$$

При этом коэффициент использования светового потока:

$$\eta = 0.54$$
.

Определяем потребный световой поток ламп в каждом из рядов, по формуле:

$$\Phi = \frac{E_H \cdot S \cdot K \cdot Z}{n \cdot \eta},$$

тогда:

$$\Phi = \frac{300 \cdot 1200 \cdot 1,5 \cdot 1,1}{162 \cdot 0.54} = 6790 \, \text{J/m}$$

Выбираем ближайшую стандартную лампу – ЛБ80 на 5220 Лм. Делаем проверку выполнения условия:

$$-10\% \leq \frac{\Phi_{\text{л.станд}} - \Phi_{\text{л.расч}}}{\Phi_{\text{л.станд}}} \cdot 100\% \leq +20\%$$

Получаем:

$$-10\% \le -0.3\% \le +20\%$$

11.3.4 Химические факторы опасности

При работе с СОЖ следует соблюдать меры предосторожности и правила безопасности в соответствии с требованиями ГОСТ 12.1.007-76.

А именно мероприятия по обеспечению безопасности труда при контакте с вредными веществами должны предусматривать:

- замену вредных веществ в производстве наименее вредными;
- применение средств индивидуальной защиты работающих;
- специальную подготовку и инструктаж обслуживающего персонала;
- проведение предварительных и периодических медицинских осмотров лиц, имеющих контакт с вредными веществами;
- разработку медицинских противопоказаний для работы с конкретными вредными веществами, инструкций по оказанию доврачебной и неотложной медицинской помощи пострадавшим при отравлении.

11.3.5 Мероприятия по снижению производственного травматизма

В связи с опасностью травматизма при использовании подъемно транспортных механизмов необходимо проводить обязательную аттестацию работающих работы на на право данных механизмах соответствующих документов. Кроме того, необходим контроль над тем, чтобы люди, не имеющие допуска, не работали на подъемно транспортных C механизмах. технической стороны данной проблемы необходимо проводить контрольные испытания подъемно транспортного оборудования с целью проверки их пригодности к использованию. Испытания должны проводиться один раз в полгода, а сведения о результатах испытаний должны заноситься в специальный журнал. С целью обеспечения безопасности при транспортировке деталей с помощью электрокара необходимо, чтобы водители при въезде на участок подавали предупредительные сигналы и снижали скорость до 5 км/ч. Проезд для электрокаров должен быть установленной ширины с запасом на случай непредвиденных ситуаций и не должен быть загроможден.

При работе на токарных станках во избежание попадания стружки в глаза необходимо установить защитные заграждения или выдать защитные очки рабочему.

Для того чтобы предотвратить захват волос вращающимися частями станков или режущим инструментом необходимо выдавать рабочим специальные береты или косынки.

11.4 Безопасность в чрезвычайных ситуациях

По категории производства по пожарной опасности наше производство относится к категории Γ .

Ответственным руководителем работ по ликвидации аварий является главный инженер предприятия. Непосредственное руководство тушением пожаров возложено на старшего начальника пожарной охраны, который должен выполнять задачи поставленные ответственным руководителем работ по ликвидации аварии.

Начальник цеха, в котором произошла авария, является ответственным исполнителем работ по ликвидации аварий.

Начальник смены, в которой произошла авария, лично или через ответственных подчинённых немедленно вызывает газоспасательную или пожарную часть, а также извещает об аварии диспетчера (дежурного) предприятия.

В обязанности мастеров и аппаратчиков цеха, в котором произошла авария, входит немедленное сообщение диспетчеру предприятия и принятие мер для вывода людей из рабочих помещений и ликвидации аварии.

При необходимости, для предотвращения осложнений аварии, эти лица отключают аппараты данного технологического процесса.

(сирена) все работающие, сигнале об аварии участвующих в ликвидации аварии в данном цехе (отделении, участке), обязаны немедленно использовать средства индивидуальной защиты противогаз) рабочее (например, надеть фильтрующий И покинуть помещение, двигаясь по заранее установленному маршруту к эвакуационным выходам.

Умение пользоваться индивидуальными защитными средствами и знание правил поведения при авариях и пожарах проверяются во время учебных тревог и учебно-тренировочных занятий, проводимых по графикам, разрабатываемым отделом техники безопасности и утверждённым главным инженером предприятия.

Пожарная безопасность обеспечивается системой организационных мероприятий, системой предотвращения пожара и системой пожарной защиты согласно ГОСТ 12.1.004-91[10,стр.153]. Систему пожарной защиты организуют так, чтобы была обеспечена безопасность людей даже в случае возникновения аварийной обстановки.

Для разработки противопожарных мероприятий и для контроля за их выполнением на предприятии создана пожарно-техническая комиссия, в состав которой входят начальник добровольной пожарной дружины, главный механик и энергетик, главный технолог, инженер по технике безопасности и другие лица по усмотрению руководителя предприятия.

Причины пожаров в производственном помещении участка могут быть следующими:

- 1 .Пользование открытым огнем.
- 2 . Курение в неприспособленных для этого местах.
- 3. Возгорание промасленной использованной ветоши.
- 4.Появление искры при авариях в электроустановках (при КЗ).

Мероприятия по предотвращению пожара.

Так как помещение по степени пожаров взрывоопасности оотноситсякатегории Г необходимо предусмотреть ряд профилактических мероприятий технического, экс-плантационного, организационного плана.

К техническим мерам относятся:

- Соблюдение пожарных норм при проектировании и сооружении зданий;
- Устройств о отопления и вентиляции;
- Выбор и монтаж оборудования;
- Наличие плана эвакуации.

К организационным мерам относятся:

- Обучение производственного персонала правилам противопожарной безопасности;
- Изучение инструкций, плакатов;
- Наличие плана эвакуации.

Необходимо учитывать ряд мер, направленных на обеспечение тушения пожара:

- Обеспечить подъезды к зданию;
- Обесточить электрические кабеля;
- Наличие пожарных щитов и ящиков с песком в коридорах;
- Наличие гидрантов с пожарными рукавами;
- Тепловая сигнализация;

В местах, определенных пожарной охраной, должны быть размещены пожарные пункты со следующим набором пожарного оборудования:

- багров железных —2шт.

- огнетушитель ОХП-10 —2 шт.

- ведер —2_{ШТ}

Затем разрабатываются мероприятия по повышению устойчивости и подготовке объекта к восстановлению после ЧС. К таким мероприятиям относятся правильная планировка наземных и подземных зданий и сооружений основного и вспомогательного производства, складских помещений и зданий административно-бытового назначения; внутренняя планировка помещений; расстановка сил и состояние пунктов управления, и надежность узлов связи; безопасное хранение горючих и токсичных веществ и т.д.

В случае возникновения очага возгорания эвакуация людей и оборудования должна производится по специальным эвакуационным путям, обозначенные на планах эвакуации в случае пожара, которые должны быть вывешены в наиболее видных местах. Эвакуационными выходами служат двери и ворота, ведущие из помещения наружу. [12]

В соответствии со СНиП II—2—80 все производства делят на категории по пожарной, взрывной и взрывопожарной опасности. Цех, в котором изготавливается сверло-зенкер, относится к категории Д, так как в нашем производстве обрабатываются негорючие вещества и материалы в холодном состоянии.

11.5 Пожарная и взрывная безопасность

Пожары на машиностроительных предприятиях представляют большую опасность для работников И могут причинить огромный Вопросы обеспечения материальный ущерб. пожарной безопасности производственных зданий и сооружений имеют большое значение и регламентируются государственными постановлениями и указами.

Пожаром называется неконтролируемое горение вне специального очага, наносящего материальный ущерб. Согласно ГОСТ 12. 1.004 – 91 ССБТ [5] понятие пожарная безопасность означает состояние объекта, при котором с установленной вероятностью исключается возможность возникновения и развития пожара и воздействия на людей опасных факторов пожара, а также обеспечивается защита материальных ценностей.

Возникновение пожара при работе с электронной аппаратурой может быть по причинам как электрического, так и неэлектрического характера.

Причины возникновения пожара неэлектрического характера [15]:

- а) халатное неосторожное обращение с огнем (курение, оставленные без присмотра нагревательные приборы, использование открытого огня);
 - б) самовоспламенение и самовозгорание веществ.

Причины возникновения пожара электрического характера: короткое замыкание, перегрузки по току, искрение и электрические дуги, статическое электричество и т. п.

Для устранения причин возникновения пожаров в помещении цеха должны проводиться следующие мероприятия:

a) сотрудники предприятия должны пройти противопожарный инструктаж;

- б) сотрудники обязаны знать расположение средств пожаротушения и уметь ими пользоваться;
- в) необходимо обеспечить правильный тепловой и электрический режим работы оборудования;
- г) пожарный инвентарь и первичные средства пожаротушения должны содержаться в исправном состоянии и находиться на видном и легко доступном месте.

11.6 Охрана окружающей среды

В современных условиях одной из важнейших задач является защита окружающей среды. Выбросы промышленных предприятий, энергетических систем и транспорта в атмосферу, водоемы и недра земли на данном этапе развития достигли таких размеров, что в ряде крупных промышленных центров, уровни загрязнении существенно превышают допустимые санитарные нормы.

Проблема охраны окружающей среды очень важна так как при производственном процессе происходит выброс вредных веществ в атмосферный воздух.

Основными загрязняющими веществами, выбрасываемыми предприятием в атмосферный воздух, являются взвешенные вещества, хлористый барий, щелочь, масло и др. Для предприятия разработаны и утверждены нормативы предельно допустимых выбросов вредных веществ в атмосферу.

Основными источниками загрязнения атмосферного воздуха являются термический цех, механические цехи, ремонтно-хозяйственный цех, транспортный.

Из производственных цехов вредные вещества удаляются:

-местными отсосами,

-крышными вентиляторами.

При производстве инструмента в инструментальном цехе образуются В производственные отходы. утилизируемые отходы входят: металлическая стружка и кусковые отходы, отходы оболочковых форм, макулатура, отходы абразивных кругов, отработанное масло, отходы люминесцентных ламп. К не утилизируемым относятся отходы термических солей, отходы автопокрышек, отходы СОЖ и моющих промасленной растворов, отходы ветоши И опилок, шлам металлоабразивный, шлам станции нейтрализации.

Работа по сбору, хранению и вывозу отходов проводится по технологической инструкции «Учёт, сбор , хранение и транспортирование промышленных отходов I-IV классов токсичности.

Заключение

В результате проделанной работы был спроектирован и рассчитан технологический процесс изготовления вала переднего. Достигнуты все требуемые по чертежу параметры качества поверхностного слоя и взаимного расположения поверхностей, также поставленные цели по созданию нового технологического процесса.

В процессе проделанной работы был произведен, следующее:

- обоснованный выбор заготовки;
- расчет припусков на обработку;
- размерный анализ технологического процесса;
- выбор оборудования, инструмента;
- расчет режимов резания, сил резания и потребной мощности оборудования;
 - расчет основного времени;
 - разработка расчетно-технологических карт;
 - расчет и анализ по охране труда;
 - -экономическая часть.

При рассмотрении и проведения экономических расчетов был произведен сравнительный анализ междудвумя технологическими процесса, который показал целесообразность применения нового технологического процесса, с точки зрения экономической эффективности, предлагаемого технологического процесса по сравнению с исходным технологическим процессом.

Результаты данной ВКР могут быть применены на производстве с целью совершенствования технологического процесса изготовления детали – вала

Список использованной литературы

- 1. Основы размерного анализа технологических процессов изготовления деталей: учебное пособие / В. Ф. Скворцов. Томск: Издательство Томского политехнического университета, 2006. 99 с.
- 2. Горбацевич А. Ф., Шкред В. А. Курсовое проектирование по технологии машиностроения: Учебное пособие для вузов. 5-е издание, стереотипное. Перепечатка с четвёртого издания 1983 г. М.: ООО ИД «Альянс», 2007. 256 с.
- Маталин А. А. Технология машиностроения: Учебник для машиностроительных вузов по специальности «Технология машиностроения, металлорежущие станки и инструменты». Л.: Машиностроение, Ленингр. от-ние, 1985. 496 с., ил.
- 4. Интернет ресурс: http://www.1stanok.ru/ станочное оборудование и станки металлорежущие.
- 5. Интернет ресурс: http://www.gig-ant.com металлорежущие станки и оборудование.
- 6. Справочник технолога-машиностроителя. В 2-х т. С74 Т. 2/Под ред. А. Г. Косиловой и Р. К. Мещерякова. 4-е изд., перераб. и доп.- М.: Машиностроение, 1985. 496 с., ил.
- 7. Прогрессивные режущие инструменты и режимы резания металлов: Справочник/В. И. Баранчиков, А. В. Жаринов, Н. Д. Юдина и др.: Под общ. ред. В. И. Баранчикова. М.: Машиностроение, 1990. 400 с.: ил.
- 8. Обработка металлов резанием: Справочник технолога / А. А. Панов, В. В. Аникин, Н. Г. Бойм и др.; Под общ.ред. А. А. Панова. 2-е изд., перераб. и доп. М.: Машиностроение, 2004. 784 с.: ил.
- 10. Общемашиностроительные укрупненные нормы времени. Металлообрабатывающие станки в мелко- и среднесерийном производстве. М.: Машиностроение, 1977 295 с.

- 11. Еремин В.Г., Сафронов В.В. и др. Обеспечение безопасности жизнедеятельности в машиностроение. -М .: Машиностроение, 2002.
- 12.Охрана труда в машиностроении: Учебник для машиностроительных вузов. Под ред. Е.Я. Юдина и С.В. Белова. -М.: Машиностроение, 1983